

สำนักหอสมุดกลาง พระจอมเกล้าลาดกระบัง

แหล่งจ่ายไฟฟ้าแรงดันสูงแบบสวิตซิ่ง

HIGH VOLTAGE SWITCHING POWERSUPPLY



โดย
นายวิริยะ ชัยสุข
นายอำนาจ ถิรนนทนากกร

เลขหมู่.....
เลขทะเบียน..... 61836
วัน,เดือน,ปี..... 21 ก.ค. 2549

b..... 11603823
i.....

ปริญญานิพนธ์นี้เป็นส่วนหนึ่งของการศึกษาตามหลักสูตรปริญญาวิศวกรรมศาสตรบัณฑิต
ภาควิชาอิเล็กทรอนิกส์
สถาบันเทคโนโลยีพระจอมเกล้าเจ้าคุณทหารลาดกระบัง
ปีการศึกษา 2547

เอกสารนี้เป็นเอกสารที่สงวนไว้สำหรับการใช้งานเพื่อการศึกษาเท่านั้น ไม่อนุญาตให้นำไปใช้ประโยชน์ด้านการค้า
ไม่ว่ากรณีใดๆ ทั้งสิ้น อีกทั้งห้ามมิให้ดัดแปลงเนื้อหา และต้องอ้างอิงถึงเจ้าของเอกสารทุกครั้งที่มีการนำไปใช้

แหล่งจ่ายไฟฟ้าแรงดันสูงแบบสวิตซิ่ง
HIGH VOLTAGE SWITCHING POWERSUPPLY



ปริญญาานิพนธ์สำหรับวิศวกรรมศาสตรบัณฑิต
ภาควิชาอิเล็กทรอนิกส์
คณะวิศวกรรมศาสตร์
สถาบันเทคโนโลยีพระจอมเกล้าเจ้าคุณทหารลาดกระบัง
ปีการศึกษา 2547

เอกสารนี้เป็นเอกสารที่สงวนไว้สำหรับการใช้งานเพื่อการศึกษาเท่านั้น ไม่อนุญาตให้นำไปใช้ประโยชน์ด้านการค้า
ไม่ว่ากรณีใดๆ ทั้งสิ้น อีกทั้งห้ามมิให้ดัดแปลงเนื้อหา และต้องอ้างอิงถึงเจ้าของเอกสารทุกครั้งที่มีการนำไปใช้

ปริญญานิพนธ์ ปีการศึกษา 2547

ภาควิชาอิเล็กทรอนิกส์

คณะวิศวกรรมศาสตร์ สถาบันเทคโนโลยีพระจอมเกล้าเจ้าคุณทหารลาดกระบัง

ผู้จัดทำ

1. นายวิริยะ ชังสุข
2. นายอำนาจ ถิรนนทนากกร



เอกสารนี้เป็นเอกสารที่สงวนไว้สำหรับการใช้งานเพื่อการศึกษาเท่านั้น ไม่อนุญาตให้นำไปใช้ประโยชน์ด้านการค้า
ไม่ว่ากรณีใดๆ ทั้งสิ้น อีกทั้งห้ามมิให้ดัดแปลงเนื้อหา และต้องอ้างอิงถึงเจ้าของเอกสารทุกครั้งที่มีการนำไปใช้

แหล่งจ่ายไฟฟ้าแรงดันสูงแบบสวิตชิง

HIGH VOLTAGE SWITCHING POWERSUPPLY

นายวิริยะ ยั่งสุข รหัสประจำตัว 45015292

นายอำนาจ ถิรนนทนการ รหัสประจำตัว 45015305

โครงการนี้ได้รับการตรวจสอบแล้ว พร้อมทั้งจะทำการสอบได้



เอกสารนี้เป็นเอกสารที่สงวนไว้สำหรับการใช้งานเพื่อการศึกษาเท่านั้น ไม่อนุญาตให้นำไปใช้ประโยชน์ด้านการค้า
ไม่ว่ากรณีใดๆ ทั้งสิ้น อีกทั้งห้ามมิให้ดัดแปลงเนื้อหา และต้องอ้างอิงถึงเจ้าของเอกสารทุกครั้งที่มีการนำไปใช้

แหล่งจ่ายไฟฟ้าแรงดันสูงแบบสวิตชิง

วิริยะ ชังสุข

อำนวยการ ธรินันทนากร

รศ. สมศักดิ์ เชียร์ศิริกุล อาจารย์ที่ปรึกษา

ปีการศึกษา 2547

บทคัดย่อ

บทความนี้เป็นการนำเสนอ การออกแบบและการทำงาน ของวงจรแหล่งจ่ายไฟฟ้าแรงดันสูงแบบสวิตชิง โดยการทำงานขั้นแรกจะเปลี่ยนไฟฟ้ากระแสสลับ 220 โวลต์ ความถี่ 50 เฮิร์ต มาเป็นไฟฟ้ากระแสตรง 311 โวลต์ โดยวงจรเรียงกระแสและวงจรกรองกระแส ต่อมานำไฟฟ้ากระแสตรงที่ได้มาเปลี่ยนเป็นพัลส์ โดยใช้ทรานซิสเตอร์ของวงจรคอนเวอร์เตอร์ที่ต่อในลักษณะฮาร์ฟบริดจ์คอนเวอร์เตอร์ โดยจะใช้ไอซี TL 494 เป็นตัวควบคุมความถี่และคาบเวลาในการทำงานของตัวทรานซิสเตอร์ และในส่วนของเอาต์พุตจะต่อวงจรในลักษณะของวงจรเอาต์พุตเรโซแนนซ์ โดยแรงดันเอาต์พุตที่ได้จะเปลี่ยนแปลงไปตามค่าความถี่เรโซแนนซ์ที่ปรับเปลี่ยน โดยโครงการแหล่งจ่ายไฟฟ้าแรงดันสูงนี้จะนำไปประยุกต์ใช้กับการกำเนิดก๊าซ ไอโซน

HIGH VOLTAGE SWITCHING POWERSUPPLY

Mr. Wiriya Yangsuk

Mr. Amnaj Thiranantanagorn

Associate Professor Somsak Cheersirikul (Advisor)

Education Year 2004

ABSTRACT

This paper presents the design and testing of a high voltage switching powersupply. Initially the rectifier and filter circuit transform an alternating voltage 220 volt 50 Hz to 311 volt DC. The direct current will then be converted to high frequency pulse by transistor as a part of half bridge converter. TL494 is used to control switching for the entire frequency and pulse width range. Output voltage composes of a resonance circuit and the output voltage varies with the adjusted resonance frequency. This project high voltage switching powersupply will be used for generator Ozon.

กิตติกรรมประกาศ

ขอขอบคุณ รศ.สมศักดิ์ เชียร์ศิริกุล อาจารย์ที่ปรึกษาปริญญาโทที่ให้คำแนะนำ ปรึกษา และเสนอแนะแนวทางการศึกษา แนวทางแก้ไขปัญหา และข้อบกพร่องต่าง ๆ อีกทั้งยังให้ความเอื้อเฟื้อวัสดุอุปกรณ์ต่าง ๆ

ขอขอบพระคุณบิดา มารดา ที่ได้สนับสนุนด้านทุนทรัพย์และให้กำลังใจทางการศึกษา ตลอดมาจนถึงปัจจุบัน

ขอบคุณเพื่อนๆ ทุกคนที่คอยให้ความช่วยเหลือให้คำแนะนำ และกำลังใจ กำลังกาย เสมอมา



เอกสารนี้เป็นเอกสารที่สงวนไว้สำหรับการใช้งานเพื่อการศึกษาเท่านั้น ไม่อนุญาตให้นำไปใช้ประโยชน์ด้านการค้า
ไม่ว่ากรณีใดๆ ทั้งสิ้น อีกทั้งห้ามมิให้ดัดแปลงเนื้อหา และต้องอ้างอิงถึงเจ้าของเอกสารทุกครั้งที่มีการนำไปใช้

สารบัญ

	หน้า
บทที่ 1 บทนำ	1
บทที่ 2 หลักการทำงานโดยรวมของสวิตชิงเพาเวอร์ซ์พพลาย	2
2.1 การทำงานของสวิตชิงเพาเวอร์ซ์พพลายทำงาน	2
2.2 ข้อกำหนดคุณสมบัติของสวิตชิงเพาเวอร์ซ์พพลาย	4
2.3 สวิตชิงเพาเวอร์ซ์พพลายเมื่อเปรียบเทียบกับลิเนียร์เพาเวอร์ซ์พพลาย	7
บทที่ 3 ฮาล์ฟบริดจ์คอนเวอร์เตอร์	9
3.1 พื้นฐานการทำงานของฮาล์ฟบริดจ์คอนเวอร์เตอร์	9
3.2 ตัวเก็บประจุล้อยิ่ง C_b เพื่อป้องกันไม่ให้สมมาตรฟลักซ์แม่เหล็ก	11
3.3 คอมมิวเตตติ้งไดโอด D_3 และ D_4	13
3.4 ค่าเวลาเพื่อ T_b สำหรับฮาล์ฟบริดจ์คอนเวอร์เตอร์	13
3.5 การคำนวณเพื่อการออกแบบฮาล์ฟบริดจ์คอนเวอร์เตอร์	14
บทที่ 4 วงจรควบคุมสำหรับสวิตชิงเพาเวอร์ซ์พพลาย	16
4.1 วงจรควบคุมในโหมดควบคุมแรงดัน	16
4.2 ไอซี เบอร์ TL 494 สำหรับโหมดควบคุมแรงดัน	17
4.3 วงจรเพาเวอร์ซ์สวิตชิง	21
4.4 วงจรแปลงแรงดันไฟกระแสสลับ เป็นไฟกระแสตรง	21
4.5 วงจรแปลงแรงดันไฟกระแสตรง เป็นไฟกระแสตรง	22
4.6 วงจรเรกติไฟร์และฟิลเตอร์	22
บทที่ 5 ไดโอดและหม้อแปลงในสวิตชิงเพาเวอร์ซ์พพลาย	23
5.1 กำลังสูญเสียในรูปความร้อนของไดโอด	23
5.2 ชนิดและการเลือกใช้ไดโอด	25
5.3 สนับเบอร์สำหรับขอตักไดโอด	27
5.4 การระบายความร้อน	29
5.5 หม้อแปลงสวิตชิง	29
บทที่ 6 การเกิดก๊าซไอโซนเบื้องต้น	37
6.1 แหล่งที่มา	37
6.2 การสังเคราะห์ก๊าซไอโซน	38

เอกสารนี้เป็นเอกสารที่สงวนไว้สำหรับการใช้งานเพื่อการศึกษาเท่านั้น ไม่อนุญาตให้นำไปใช้ประโยชน์ด้านการค้า
ไม่ว่ากรณีใดๆ ทั้งสิ้น อีกทั้งห้ามมิให้ตัดแปลงเนื้อหา และต้องอ้างอิงถึงเจ้าของเอกสารทุกครั้งที่มีการนำไปใช้

บทที่ 7 หลักการทำงานและผลการทดลอง	40
7.1 หลักการทำงาน	40
7.2 การออกแบบ	41
7.3 การทดลอง	43
บทที่ 8 บทสรุป	49
8.1 สรุปและวิจารณ์ผลการทดลอง	49
8.2 ปัญหาที่เกิด	49
ภาคผนวก	
บรรณานุกรม	



บทที่ 1

บทนำ

โครงการแหล่งจ่ายไฟฟ้าแรงดันสูงแบบสวิตชิงนี้ ทำขึ้นเนื่องมาจากความจำเป็นของวงจรอิเล็กทรอนิกส์ ที่ต้องมีแหล่งจ่ายไฟเป็นภาคจ่ายกำลัง โดยทั่วไปแล้วแหล่งจ่ายไฟที่นิยมใช้จะแบ่งได้เป็น แหล่งจ่ายไฟตรงแบบเชิงเส้น และแหล่งจ่ายไฟแบบสวิตชิง

ซึ่งในแหล่งจ่ายไฟตรงแบบเชิงเส้น เป็นแหล่งจ่ายที่ง่ายต่อการออกแบบ และอุปกรณ์ที่ใช้มีราคาไม่แพง แต่จะมีข้อด้อยคือถ้าต้องการแหล่งจ่ายไฟที่มีกำลังไฟฟ้าสูง ขนาดของภาคจ่ายไฟจะมีขนาดใหญ่และน้ำหนักมาก เนื่องจากใช้หม้อแปลงความถี่ต่ำซึ่งมีขนาดใหญ่และข้อด้อยอีกประการก็คือ มีประสิทธิภาพต่ำเนื่องจากมีกำลังไฟฟ้าสูญเสียสูง

ในแหล่งจ่ายไฟแบบสวิตชิง จะใช้การเปลี่ยนระดับแรงดันจากระดับหนึ่งไปเป็นอีกระดับหนึ่ง ด้วยวงจรคอนเวอร์เตอร์ ซึ่งจะใช้อุปกรณ์สารกึ่งตัวนำทำหน้าที่เป็นสวิตซ์ตัดต่อ โดยอุปกรณ์ต่างๆ เหล่านี้ไม่จำเป็นต้องใช้ในย่านแอกทิฟ จึงทำให้กำลังงานสูญเสียที่เกิดขึ้นต่ำมาก และการเพิ่มความเร็วในการใช้สวิตซ์ จะเป็นการเพิ่มขนาดของแรงดันและกระแสซึ่งอุปกรณ์ไฟฟ้าที่มีความต้องการกำลังไฟฟ้าสูงๆ มักจะออกแบบภาคจ่ายไฟเป็นแบบสวิตชิง

จากจุดเด่นของภาคจ่ายไฟแบบสวิตชิง จึงทำให้โครงการนี้เกิดขึ้นเพื่อใช้ในการศึกษาและออกแบบแหล่งจ่ายไฟฟ้าแรงดันสูง ที่จะนำไปประยุกต์ใช้งานในด้านต่างๆ ซึ่งโครงการนี้ออกแบบเพื่อนำมาประยุกต์ในการกำเนิดก๊าซไอโซน

บทที่ 2

หลักการทํางานโดยรวมของสวิตชิงเพาเวอร์ซัพพลาย

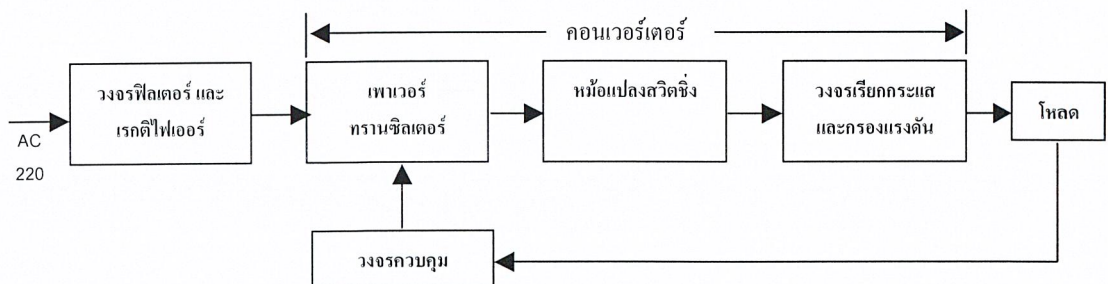
สวิตชิงเพาเวอร์ซัพพลายเป็นแหล่งจ่ายไฟตรงคงค่าแรงดันแบบหนึ่ง และสามารถเปลี่ยนแรงดันไฟสลับที่ 110 โวลต์ หรือ 220 โวลต์ ให้เป็นแรงดันไฟตรงค่าต่ำ เพื่อใช้ในงานอิเล็กทรอนิกส์ได้เช่นเดียวกับแหล่งจ่ายไฟตรงแบบเชิงเส้น หรือที่เรียกว่าลีเนียร์เพาเวอร์ซัพพลาย เพาเวอร์ซัพพลายทั้งสองแบบจำเป็นต้องใช้หม้อแปลงในการลดทอนแรงดันที่ 220 โวลต์ ลงมาเป็นแรงดันไฟค่าต่ำเช่นเดียวกัน แต่มีข้อแตกต่างอยู่ที่ขนาดและน้ำหนักของหม้อแปลงโดยที่หม้อแปลงของลิเนียร์เพาเวอร์ซัพพลายจะมีขนาดใหญ่และมีน้ำหนักมากเมื่อเปรียบเทียบกับหม้อแปลงของสวิตชิงเพาเวอร์ซัพพลาย การพัฒนาของลิเนียร์เพาเวอร์ซัพพลายจึงมีขีดจำกัดอยู่ที่การใช้หม้อแปลงขนาดใหญ่และมีน้ำหนักมาก รวมถึงประสิทธิภาพที่ได้ค่อนข้างต่ำ

ในขณะเดียวกันสวิตชิงเพาเวอร์ซัพพลายซึ่งมีขนาดของหม้อแปลงเล็ก และมีประสิทธิภาพสูงน้ำหนักเบา เริ่มเข้ามามีบทบาทเป็นอย่างมาก ในเครื่องใช้อิเล็กทรอนิกส์ที่มีขนาดเล็กซึ่งต้องการแหล่งจ่ายไฟที่ให้กำลังงานได้สูงและมีขนาดเล็กด้วย เช่น เครื่องคอมพิวเตอร์ เครื่องโทรสาร หรือเครื่องรับโทรทัศน์ เป็นต้น แนวโน้มในการสวิตชิงเพาเวอร์ซัพพลายมาใช้ในเครื่องอิเล็กทรอนิกส์ทุกประเภทจึงเป็นไปได้สูง การศึกษาหลักการทํางานและการออกแบบสวิตชิงเพาเวอร์ซัพพลายจึงเป็นสิ่งจำเป็นที่ไม่อาจหลีกเลี่ยงได้สำหรับผู้เกี่ยวข้องกับการงานอิเล็กทรอนิกส์ทุกประเภท

2.1 การทํางานของสวิตชิงเพาเวอร์ซัพพลายทํางาน

สวิตชิงเพาเวอร์ซัพพลาย มีองค์ประกอบที่ไม่ซับซ้อนเกินไป และจะมีองค์ประกอบพื้นฐานที่คล้ายคลึงกันสำหรับสวิตชิงเพาเวอร์ซัพพลายทั่วไป ดังแสดงในรูปที่ 2.1

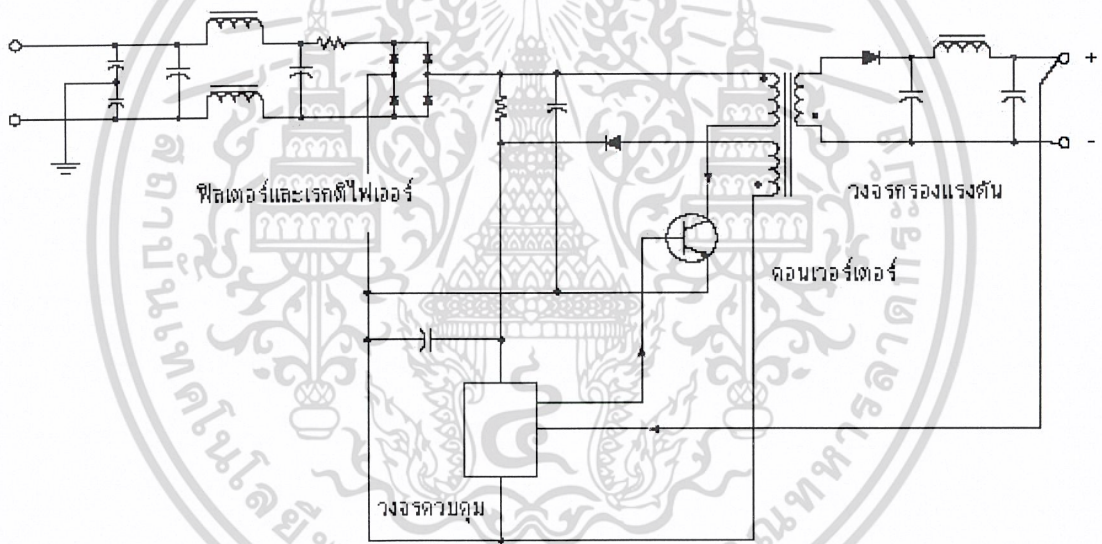
หัวใจสำคัญของสวิตชิงเพาเวอร์ซัพพลายจะอยู่ที่คอนเวอร์เตอร์ เนื่องจากจะเป็นทั้งตัวลดทอนแรงดันและคงค่าแรงดันที่เอาต์พุตด้วย ส่วนองค์ประกอบต่างๆ จะทํางานเป็นลำดับดังนี้



รูปที่ 2.1 แสดงองค์ประกอบพื้นฐานของสวิตชิงเพาเวอร์ซัพพลายทั่ว

เอกสารนี้เป็นเอกสารที่สงวนไว้สำหรับการใช้งานเพื่อการศึกษาเท่านั้น ไม่อนุญาตให้นำไปใช้ประโยชน์ด้านการค้า ไม่ว่ากรณีใดๆ ทั้งสิ้น อีกทั้งห้ามมิให้ดัดแปลงเนื้อหา และต้องอ้างอิงถึงเจ้าของเอกสารทุกครั้งที่มีการนำไปใช้

แรงดันไฟสลับ 220 โวลต์ จะผ่านเข้ามาทางวงจร RFI ฟิวเตอร์ เพื่อกรองสัญญาณรบกวน และจะถูกเปลี่ยนเป็นแรงดันไฟตรงค่าสูงด้วยวงจรเรกติไฟเออร์ เพาเวอร์คอนเวอร์เตอร์โดยเพาเวอร์ทรานซิสเตอร์จะตัดต่อแรงดันออกเป็นช่วง ๆ ด้วยความถี่สูงประมาณ 20 – 200 กิโลเฮิร์ตซ์ จากนั้นจะผ่านเข้าไปในยังหม้อแปลงสวิตชิงเพื่อลดทอนแรงดันให้มีค่าต่ำลง ที่เอาต์พุตของหม้อแปลงจะมีวงจรเรียงกระแสและ วงจรกรองแรงดันให้เรียบเสียก่อนจึงสามารถจ่ายกระแสให้โหลดได้ การคงค่าแรงดันจะทำได้โดยการป้อนกลับค่าแรงดันที่เอาต์พุตมายังวงจรควบคุม เพื่อควบคุมการทำงานของเพาเวอร์ทรานซิสเตอร์ให้มีช่วงเวลานำกระแสมากขึ้นหรือน้อยลงตามการเปลี่ยนแปลงของแรงดันที่เอาต์พุตซึ่งจะมีผลทำให้แรงดันเอาต์พุตคงที่ได้ รูปที่ 2.2 จะแสดงวงจรซึ่งแบ่งส่วนตามองค์ประกอบหลักในรูปที่ 2.1 เพื่อเป็นตัวอย่าง



รูปที่ 2.2 แสดงลักษณะการจัดวงจรตามองค์ประกอบหลักในรูปที่ 2.1

องค์ประกอบต่างๆ ในรูปที่ 2.1 นับเป็นองค์ประกอบหลักในการทำงานของสวิตชิงเพาเวอร์ซัพพลาย ดังนั้นสำหรับผู้ที่ต้องการออกแบบสวิตชิงเพาเวอร์ซัพพลายจึงจำเป็นที่จะต้องศึกษาการจัดวงจรและการทำงาน ขององค์ประกอบเหล่านี้ให้ดี ซึ่งจะได้กล่าวไว้โดยละเอียดต่อไป

2.2 ข้อกำหนดคุณสมบัติของสวิตซ์เพาเวอร์ซัพพลาย

การออกแบบสวิตซ์เพาเวอร์ซัพพลายนั้นจำเป็นต้องกำหนดหรือทราบข้อกำหนดคุณสมบัติของสวิตซ์เพาเวอร์ซัพพลายที่จะสร้างขึ้นเสียก่อน เพื่อเป็นการพิจารณาเลือกวงจรและส่วนประกอบต่างๆ ที่จะใช้ในสวิตซ์เพาเวอร์ซัพพลายได้อย่างเหมาะสม สวิตซ์เพาเวอร์ซัพพลายจึงจะทำงานได้ตรงตามความต้องการอย่างแท้จริง ตัวอย่างข้อกำหนดคุณสมบัติของสวิตซ์เพาเวอร์ซัพพลายเป็นได้อย่างที่แสดงไว้ในตารางที่ 2.1

ตารางที่ 2.1 แสดงตัวอย่างข้อกำหนดคุณสมบัติของสวิตซ์เพาเวอร์ซัพพลายแบบหนึ่ง

Output Power	300 W
Efficiency	65% at full load
Input Voltage	94 – 132V _{AC} (nominal 115 V _{AC}) 184 – 264 V _{AC} (nominal 220 V _{AC})
Output Voltage And Current	+5V 6A (min) 30A (max) +12V 0A – 6A -12V 0A – 6A
Line Regulation	+5V 0.5% +12V 0.5% -12V 0.5%
At 50% load	
Load Regulation	+5V +/- 1% of setting voltage +12V +/- 1% of setting voltage -12V +/- 1% of setting voltage
Ripple and Noise	+5V 50mV p-p max +12V 120mV p-p max -12V 120mV p-p max
Hold up Time at low line full load	+5V 10 ms.min
RFI/EMI	Meet FCC part 15 J class B VDE 0875
Transient response	<200mV ripple at 50% load change <400 s recovery time
Isolation	Input to ground 2 KV rms. Output to ground 500 V rms.
Switching Frequency	100 KHz

เอกสารนี้เป็นเอกสารที่สงวนไว้สำหรับการใช้งานเพื่อการศึกษาเท่านั้น ไม่อนุญาตให้นำไปใช้ประโยชน์ด้านการค้า
ไม่ว่ากรณีใดๆ ทั้งสิ้น อีกทั้งห้ามมิให้ดัดแปลงเนื้อหา และต้องอ้างอิงถึงเจ้าของเอกสารทุกครั้งที่มีการนำไปใช้

กำลังงานขาออก (Output Power)

กำลังงานขาออก คือ ความสามารถในการจ่ายกำลังงานให้กับโหลดของสวิตชิ่งเพาเวอร์ซัพพลาย โดยคิดจากค่าผลคูณของกระแสและแรงดันรวมทั้งหมดที่เอาต์พุตและที่โหลดค่าสูงสุด

ประสิทธิภาพ (Efficiency)

ประสิทธิภาพ คือ ความสามารถในการส่งผ่านกำลังงานจากแหล่งจ่ายแรงดันไฟสลับ ไปยังโหลดที่เอาต์พุตของสวิตชิ่งเพาเวอร์ซัพพลาย โดยคิดจากอัตราส่วนของกำลังงานขาออกที่จ่ายให้กับโหลดต่อกำลังงานขาเข้าที่สวิตชิ่งเพาเวอร์ซัพพลายใช้ไปเป็นเปอร์เซ็นต์ ค่าประสิทธิภาพนี้จะแสดงให้เห็นถึงกำลังงานสูญเสียที่เกิดขึ้นในตัวเพาเวอร์ซัพพลาย หากประสิทธิภาพมีค่าต่ำ จะแสดงให้เห็นว่ากำลังงานสูญเสียที่เกิดขึ้นมีค่าสูง โดยทั่วไปประสิทธิภาพของสวิตชิ่งเพาเวอร์ซัพพลายจะอยู่ในระหว่าง 65 – 80%

ช่วงของแรงดันอินพุต (Input Voltage)

ช่วงของแรงดันอินพุต คือ ช่วงของแรงดันไฟสลับที่อินพุต ที่สวิตชิ่งเพาเวอร์ซัพพลายจะสามารถรับค่าแรงดันที่เอาต์พุตตามข้อกำหนดเอาไว้ได้ ปกติสวิตชิ่งเพาเวอร์ซัพพลายจะถูกออกแบบให้สามารถทำงานได้ที่แรงดันอินพุตในช่วงกว้าง เช่น ที่ 90–132 โวลต์ไฟสลับ ที่แรงดันไฟสลับปกติ 110 โวลต์ และที่ 180–260 โวลต์ ไฟสลับที่แรงดันไฟสลับปกติ 220 โวลต์ เป็นต้น

แรงดันและกระแสขาออก (Output Voltage and Current)

แรงดันและกระแสขาออก คือ ค่ากระแสและแรงดันขาออกที่มีการรักษาระดับให้คงที่ (regulated) โดยสวิตชิ่งเพาเวอร์ซัพพลาย การกำหนดค่าแรงดันและกระแสจะกำหนดจากความต้องการในการใช้งานและกำลังงานขาออกที่ทำได้ของสวิตชิ่งเพาเวอร์ซัพพลาย โดยค่าแรงดันสามารถกำหนดได้หลายค่า ตัวอย่างเช่น สวิตชิ่งเพาเวอร์ซัพพลายสำหรับเครื่องคอมพิวเตอร์ จะกำหนดค่าแรงดันไว้ที่ +/- 5 โวลต์ +/- 12 โวลต์ เป็นต้น

ไลน์เรกูเลชัน (Line Regulation)

ไลน์เรกูเลชัน คือ การเปลี่ยนแปลงของแรงดันเอาต์พุตเนื่องมาจากการเปลี่ยนแปลงของแรงดันไฟสลับที่อินพุตเป็นเปอร์เซ็นต์ เมื่อโหลดที่เอาต์พุตมีค่าคงที่

โหลดเรกูเลชัน (Load Regulation)

โหลดเรกูเลชัน คือ การเปลี่ยนแปลงของแรงดันเอาต์พุตเนื่องมาจากการเปลี่ยนแปลงของโหลดที่เอาต์พุตเป็นเปอร์เซ็นต์เมื่อแรงดันไฟสลับอินพุตมีค่าคงที่

แรงดันกระเพื่อมและนอยส์ (Ripple and Noise)

แรงดันกระเพื่อมและนอยส์ คือ แรงดันไฟสลับที่ผ่านออกมารวมได้กับแรงดันไฟตรงที่เอาต์พุต ทำให้เกิดการกระเพื่อมขึ้นที่แรงดัน ส่วนนอยส์ในที่นี้หมายถึง แรงดันพุ่ง (Spike) ที่ความถี่สูงๆ ที่ผ่านออกมาที่แรงดันไฟตรงเอาต์พุตได้เช่นกัน การวัดค่าแรงดันกระเพื่อมและนอยส์อาจวัดเป็นค่าอาร์เอ็มเอส (RMS) หรือค่ายอด (peak to peak) ก็ได้

ค่าเวลาโฮลด์อัป (Hold up Time)

ค่าเวลาโฮลด์อัป คือ ช่วงเวลาที่สวิตชิงเพาเวอร์ซัพพลายยังสามารถคงค่าแรงดันต่อไปได้อีก แม้ว่าจะหยุดจ่ายแรงดันไฟสลับอินพุต (ที่โหลดค่าสูงสุด) ปกติช่วงเวลาโฮลด์อัปนี้จะมีค่าประมาณ 20×10^{-3} ถึง 50×10^{-3} วินาที

สัญญาณรบกวนจากสวิตชิงเพาเวอร์ซัพพลาย (RFI/EMI)

สัญญาณรบกวนจากสวิตชิงเพาเวอร์ซัพพลาย คือ RFI (Radio Frequency Interference) และ EMI (Electromagnetic Interference) เป็นสัญญาณรบกวนที่สวิตชิงเพาเวอร์อาจทำให้เกิดขึ้นเนื่องจากการทำงานที่มีความถี่สูงๆ ของมัน ค่าของสัญญาณรบกวนที่เกิดขึ้นจะต้องต่ำกว่ามาตรฐานที่กำหนด เช่น มาตรฐานของ FCC หรือ VDE เป็นต้น เนื่องจากสัญญาณรบกวน RFI/EMI อาจทำให้การทำงานของอุปกรณ์ไฟฟ้าใกล้เคียงทำงานผิดพลาดได้

การตอบสนองโหลดภาวะชั่วคราว (Transient Response)

การตอบสนองโหลดภาวะชั่วคราว คือ การคืนค่าแรงดันเข้าสู่แรงดันปกติที่เอาต์พุตหลังจากมีการเปลี่ยนแปลงของโหลดอย่างทันทีทันใด ซึ่งเมื่อโหลดมีการเปลี่ยนแปลงอย่างทันทีทันใดจะเกิดลักษณะพุ่งของแรงดัน เอาต์พุตตามการเปลี่ยนแปลง การตอบสนองโหลดภาวะชั่วคราวนี้จะวัดโดยใช้ค่าเวลาคืนตัว (recovery time) และค่าแรงดันพุ่งสูงสุดที่เกิดขึ้น

การแยกจากกันทางไฟฟ้า (Isolation)

การแยกจากกันทางไฟฟ้า คือ ความสามารถในการกันแรงดันไฟสลับอินพุตออกจากไฟตรงที่เอาต์พุต ไม่ให้มีการไหลผ่านกระแสถึงกันได้เพื่อป้องกันอันตรายการถูกไฟฟ้าดูดของผู้ใช้ โดยอาจวัดเป็นค่าแรงดันสูงสุดที่ตกคร่อมระหว่างอินพุตกับเอาต์พุต โดยยังไม่มีกระแสไหลหรือเกิดเบรกดาวน์ ทั้งนี้รวมไปถึงการแยกส่วนจากกันของเส้นไฟสูงและกราวด์ของอินพุต

ความถี่การทำงานของสวิตชิงเพาเวอร์ซัพพลาย(Switching Frequency)

ความถี่การทำงานของสวิตชิงเพาเวอร์ซัพพลาย คือ ความถี่ที่กำหนดคาบเวลาการทำงานของเพาเวอร์ทรานซิสเตอร์ภายในสวิตชิงเพาเวอร์ซัพพลาย ปกติจะมีค่าอยู่ในช่วง 20-200 กิโลเฮิรตซ์ ขึ้นอยู่กับการจัดวงจรภายในและความสามารถของเพาเวอร์ทรานซิสเตอร์เป็นหลักการจะกำหนดให้คุณสมบัติแต่ละข้อเป็นเท่าใดนั้น ขึ้นอยู่กับความต้องการของผู้ใช้และข้อกำหนดมาตรฐานเป็นหลัก ดังนั้นผู้ออกแบบสวิตชิงเพาเวอร์ซัพพลายจึงควรศึกษาลักษณะความต้องการของงานและมาตรฐานต่าง ๆ ที่จำเป็นให้ตีก่อนการออกแบบ ซึ่งจะทำให้สวิตชิงเพาเวอร์ซัพพลายที่ออกแบบมา มีประสิทธิภาพสูงสุดได้ตามที่ต้องการ

2.3 สวิตชิงเพาเวอร์ซัพพลายเมื่อเปรียบเทียบกับลิเนียร์เพาเวอร์ซัพพลาย

ข้อได้เปรียบของสวิตชิงเพาเวอร์ซัพพลายก็คือ มีประสิทธิภาพสูง ขนาดเล็ก และมีน้ำหนักเบากว่าลิเนียร์เพาเวอร์ซัพพลาย ลิเนียร์เพาเวอร์ซัพพลายนั้นใช้หม้อแปลงความถี่ต่ำซึ่งขนาดใหญ่ และมีน้ำหนักมาก และขณะใช้งานจะมีแรงดันและกระแสผ่านตัวหม้อแปลงตลอดเวลาที่กำลังงานสูญเสียที่อินพุตของหม้อแปลงจะมีค่าสูง การคงค่าแรงดันของลิเนียร์เพาเวอร์ซัพพลายส่วนใหญ่จะใช้เพาเวอร์ทรานซิสเตอร์ต่ออนุกรมที่เอาต์พุต เพื่อจ่ายกระแสและคงค่าแรงดัน กำลังงานสูญเสียในรูปความร้อนจะมีค่าสูง และต้องใช้แผ่นระบายความร้อนขนาดใหญ่ซึ่งกินเนื้อที่

เมื่อเพาเวอร์ซัพพลายต้องจ่ายกำลังงานสูง ๆ จะทำให้มีขนาดใหญ่และมีน้ำหนักมาก ปกติลิเนียร์เพาเวอร์ซัพพลายจะมีประสิทธิภาพประมาณ 30% หรืออาจทำได้สูงถึง 50% ในบางกรณี ซึ่งนับได้ว่าค่อนข้างต่ำเมื่อเปรียบเทียบกับ สวิตชิงเพาเวอร์ซัพพลายซึ่งมีประสิทธิภาพในช่วง 65%-80%

สวิตชิงเพาเวอร์ซัพพลาย มีช่วงเวลาโวลต์เอ็พประมาณ $20 \cdot 10^{-3}$ ถึง $50 \cdot 10^{-3}$ วินาที ในขณะที่ลิเนียร์เพาเวอร์ซัพพลายสามารถทำได้เพียงแค่ประมาณ $2 \cdot 10^{-3}$ วินาที ซึ่งมีผลต่อการจัดหาแหล่งจ่ายไฟสำรองเพื่อป้องกันการหยุดทำงานของอุปกรณ์ที่ใช้กับเพาเวอร์ซัพพลาย เมื่อเกิดการหยุดจ่ายแรง

เอกสารนี้เป็นเอกสารที่สงวนไว้สำหรับการใช้งานเพื่อการศึกษาเท่านั้น ไม่อนุญาตให้นำไปใช้ประโยชน์ด้านการค้า ไม่ว่ากรณีใดๆ ทั้งสิ้น อีกทั้งห้ามมิให้ตัดแปลงเนื้อหา และต้องอ้างอิงถึงเจ้าของเอกสารทุกครั้งที่มีการนำไปใช้

ค้นไฟล์ลับ รวมทั้งสวิตชิงเพาเวอร์ซัพพลายสามารถทำงานได้ในช่วงแรงดันอินพุตค่อนข้างกว้างจึงยังคงสามารถทำงานได้เมื่อเกิดกรณีแรงดันตกอีกด้วย

อย่างไรก็ตาม สวิตชิงเพาเวอร์ซัพพลายจะมีเสถียรภาพในการทำงานที่ต่ำกว่า และก่อให้เกิดสัญญาณรบกวนได้สูงเมื่อเปรียบเทียบกับลิเนียร์เพาเวอร์ซัพพลาย รวมทั้งสวิตชิงเพาเวอร์ซัพพลายยังความซับซ้อนของวงจรมากกว่าและมีราคาสูง ที่กำลังงานต่ำ ๆ ลิเนียร์เพาเวอร์ซัพพลายและให้ผลดีได้เช่นกัน ดังนั้นสวิตชิงเพาเวอร์ซัพพลายจึงมักนิยมใช้กันในงานที่ต้องการกำลังงานตั้งแต่ 20 วัตต์ ขึ้นไปเท่านั้น



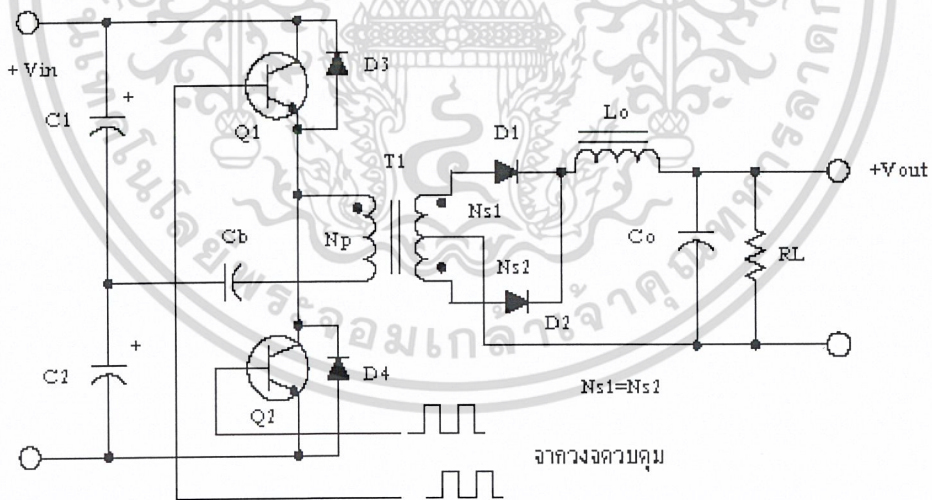
เอกสารนี้เป็นเอกสารที่สงวนไว้สำหรับการใช้งานเพื่อการศึกษาเท่านั้น ไม่อนุญาตให้นำไปใช้ประโยชน์ด้านการค้าไม่ว่ากรณีใดๆ ทั้งสิ้น อีกทั้งห้ามมิให้ดัดแปลงเนื้อหา และต้องอ้างอิงถึงเจ้าของเอกสารทุกครั้งที่มีการนำไปใช้

บทที่ 3 ฮาล์ฟบริดจ์คอนเวอร์เตอร์

อาจกล่าวได้ว่าฮาล์ฟบริดจ์คอนเวอร์เตอร์ (Half – Bridge Converter) เป็นคอนเวอร์เตอร์ในตระกูลเดียว กับฟูลคอนเวอร์เตอร์ แต่ลักษณะการจذبวงจรของฮาล์ฟบริดจ์คอนเวอร์เตอร์จะทำให้เพาเวอร์ทรานซิสเตอร์ ภายในวงจรมีแรงดันตกคร่อม ขณะหยุดนำกระแสเพียงค่าแรงดันอินพุตเท่านั้นทำให้เพาเวอร์ทรานซิสเตอร์ที่ใช้ มีราคาถูกลงและหาได้ง่ายกว่า ซึ่งจะลดข้อจำกัดต่างๆ เมื่อใช้กับระบบแรงดันไฟสูงๆ เช่น ที่แรงดันไฟสลับ 220 โวลต์ลงมา รวมทั้งฮาล์ฟบริดจ์คอนเวอร์เตอร์ยังสามารถหลีกเลี่ยงปัญหาการไม่สมมาตรฟลักซ์ในแกนเฟอร์ไรต์ของหม้อแปลงได้อีกด้วย

3.1 พื้นฐานการทำงานของฮาล์ฟบริดจ์คอนเวอร์เตอร์

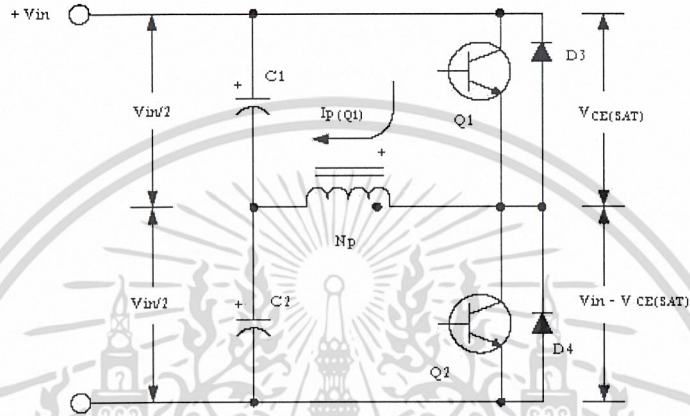
วงจรพื้นฐานของฮาล์ฟบริดจ์คอนเวอร์เตอร์แสดงไว้ในรูปที่ 3.1 การทำงานของวงจรจะเป็นดังนี้



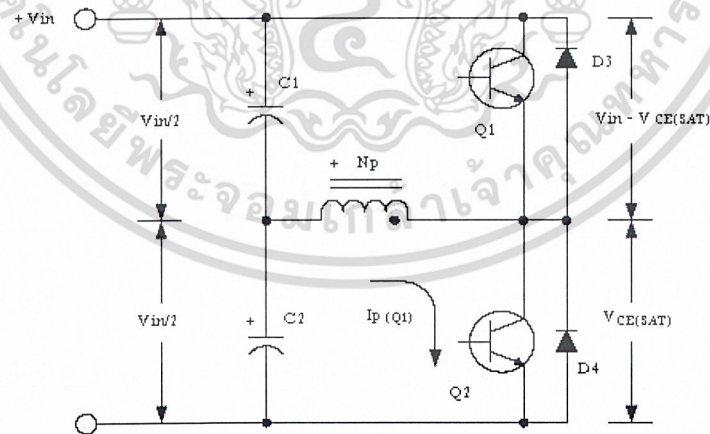
รูปที่ 3.1 แสดงวงจรพื้นฐานของฮาล์ฟบริดจ์คอนเวอร์เตอร์

เนื่องจากตัวเก็บประจุ C_1 และ C_2 กำหนดให้มีความเท่ากันต่ออนุกรมกันอยู่ทางด้านอินพุตเพื่อแบ่งครึ่งแรงดัน แรงดันตกคร่อม C_1 และ C_2 จึงมีค่าเท่ากับครึ่งหนึ่งของแรงดันที่อินพุต เพาเวอร์เอกสารนี้เป็นเอกสารที่สงวนไว้สำหรับการใช้งานเพื่อการศึกษาเท่านั้น ไม่อนุญาตให้นำไปใช้ประโยชน์ด้านการค้าไม่ว่ากรณีใดๆ ทั้งสิ้น อีกทั้งห้ามมิให้ดัดแปลงเนื้อหา และต้องอ้างอิงถึงเจ้าของเอกสารทุกครั้งที่มีการนำไปใช้

ทรานซิสเตอร์ Q_1 และ Q_2 จะสลับกันทำงานคนละครึ่งคาบเวลาเช่นเดียวกับพุก – พูลคอนเวอร์เตอร์ และเพื่อให้ง่ายแก่การพิจารณาการทำงาน ของวงจร เราจะพิจารณาในกรณีที่ไม่มีตัวเก็บประจุ C_0 ต่ออยู่ในวงจรเสียก่อน โดยให้ปลายของขดไฟพอร์มารี N_p ที่ต่ออยู่กับ C_0 นั้นต่อโดยตรงเข้ากับจุดต่อระหว่างตัวเก็บประจุ C_1 และ C_2 ดังรูปที่ 3.2



รูปที่ 3.2 (ก) ขณะที่ Q_1 นำกระแส Q_2 จะมีแรงดันตกคร่อมเท่ากับ $V_{in} - V_{ce(sat)}$ แรงดันตกคร่อม N_p เท่ากับ $V_{in}/2 - V_{ce(sat)}$



รูปที่ 3.2 (ข) ขณะที่ Q_2 นำกระแส Q_1 จะมีแรงดันตกคร่อมเท่ากับ $V_{in} - V_{ce(sat)}$ เช่นเดียวกันและมีแรงดันตกคร่อม N_p $V_{in}/2 - V_{ce(sat)}$

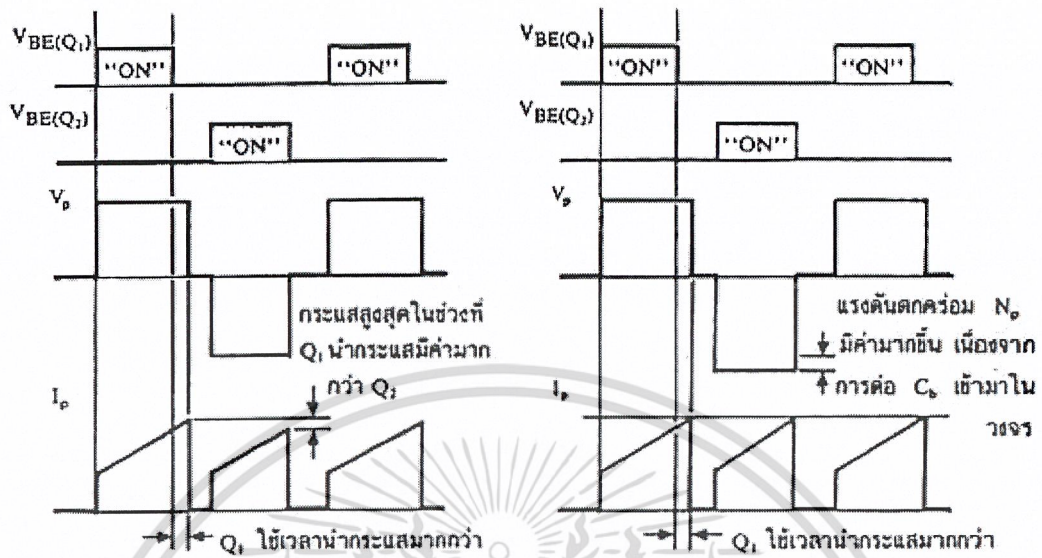
เอกสารนี้เป็นเอกสารที่สงวนไว้สำหรับการใช้งานเพื่อการศึกษาเท่านั้น ไม่อนุญาตให้นำไปใช้ประโยชน์ด้านการค้า ไม่ว่าจะกรณีใดๆ ทั้งสิ้น อีกทั้งห้ามมิให้ดัดแปลงเนื้อหา และต้องอ้างอิงถึงเจ้าของเอกสารทุกครั้งที่มีการนำไปใช้

เมื่อ Q_1 เริ่มนำกระแส และ Q_2 ไม่นำกระแส แรงดันตกคร่อม Q_2 จะมีค่าเท่ากับ $V_{in} - V_{ce(sat)}$ ส่วนแรงดันตกคร่อมของไทรมารี N_p จะมีค่าเท่ากับ หรือมีค่าเท่ากับ $V_{in}/2 - V_{ce(sat)}$ นั่นเอง ในทำนองเดียวกัน เมื่อ Q_2 นำกระแสและ Q_1 ไม่นำกระแส แรงดันตกคร่อม Q_1 จะมีค่าเท่ากับ $V_{in} - V_{ce(sat)}$ เช่นเดียวกัน แรงดันที่ตกคร่อมที่ขดไทรมารี N_p ก็ยังคงมีค่าเท่ากับ $V_{in}/2 - V_{ce(sat)}$ เนื่องจาก $V_{ce(sat)}$ มีค่าประมาณ 0.5 – 1 โวลต์ ดังนั้นจะเห็นได้ว่าแรงดันตกคร่อม Q_1 และ Q_2 ขณะหยุดนำกระแสจะมีค่าเพียงแรงดันอิมพัลส์เท่านั้น ผลของการทำงานของ Q_1 และ Q_2 ที่ด้านเซคันดารีจะมีลักษณะเดียวกับพวช – พูลคอนเวอร์เตอร์

3.2 ตัวเก็บประจุล๊อคกิ้ง C_b เพื่อป้องกันการไม่สมมาตรฟลักซ์แม่เหล็ก

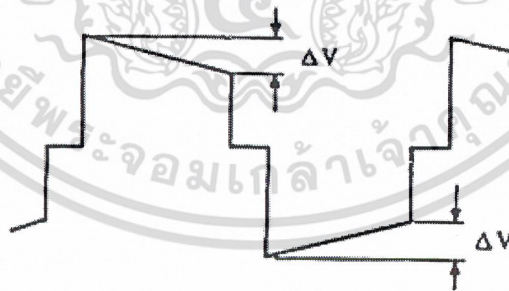
ตัวเก็บประจุล๊อคกิ้ง (Blocking Capacitor) C_b ที่ต่อเพิ่มเข้ามาในวงจรนั้น มีหน้าที่หลักคือป้องกันการเกิดไม่สมมาตรฟลักซ์ขึ้นในแกนเฟอร์ไรต์ขณะวงจรทำงาน เพราะในทางปฏิบัติการต่อตัวเก็บประจุ C_1 และ C_2 เพื่อให้แรงดันที่ตกคร่อมตัวเก็บประจุทั้งสองมีค่าเท่ากันจริงๆ นั้นทำได้ยากรวมทั้งการไม่แมตซ์กันของเพาเวอร์ทรานซิสเตอร์ Q_1 และ Q_2 อาจก่อให้เกิดปัญหาการไม่สมมาตรฟลักซ์ได้ทั้งสิ้น

การต่อตัวเก็บประจุล๊อคกิ้ง C_b คั่นเข้ามาในวงจร จะทำให้ C_b มีการเก็บประจุและคายประจุสลับกันไปตามทิศทางของกระแสที่ไหลในขดไทรมารี N_p ถ้าผลของการเกิดประจุสะสมทำให้ Q_1 และ Q_2 มีช่วงเวลานำกระแสไม่เท่ากัน ก็จะทำให้การเก็บประจุและคายประจุของ C_b ใช้เวลาไม่เท่ากันด้วยเป็นผลทำให้มีประจุเหลือค้างใน C_b และทำให้เกิดค่าแรงดันตกคร่อมใน C_b นั่นคือหากเพาเวอร์ทรานซิสเตอร์ตัวใดมีค่าช่วงเวลานำกระแสมากกว่า ในกรณีนี้ค่ากระแสสูงสุดจะมีค่ามากขึ้นตามเวลาที่เพิ่มขึ้นด้วย อย่างไรก็ตามก็จะทำให้มีประจุเหลือค้างใน C_b ดังนั้นเมื่อเพาเวอร์ทรานซิสเตอร์อีกตัวเริ่มนำกระแส แรงดันตกค้างใน C_b จะช่วยเพิ่มค่าแรงดันตกคร่อมขดไทรมารีให้มีค่ามากขึ้น ค่าของกระแสสูงสุดก็จะมีค่าเท่ากันได้และไม่เกิดการไม่สมมาตรฟลักซ์ขึ้น (ดูรูปที่ 3.3 ที่ประกอบ) ส่วนการทำงานของ C_b ในกรณีที่แรงดันตกคร่อม C_1 และ C_2 มีค่าไม่เท่ากันนั้น ก็จะเป็นไปในทำนองเดียวกัน



รูปที่ 3.3 (ก) แสดงลักษณะของการไม่สมมาตรฟลักซ์
เก็บเนื่องจาก Q1 ใช้เวลานานกว่า Q2

รูปที่ 3.3 (ข) แสดงผลของการต่อตัว
ประจุลึกลับ Cb เข้ามาในวงจร
ลดความไม่สมมาตรฟลักซ์



รูปที่ 3.4 แสดงลักษณะของการเกิดความลาด (Droop) ขึ้นบนแรงดันที่ตกคร่อมขดไฟโรมารี่เมื่อต่อ
ตัวเก็บประจุลึกลับ Cb คั่นเข้ามาในวงจร

อย่างไรก็ตาม การต่อตัวเก็บประจุลึกลับ C_c คั่นเข้าไปในวงจร จะทำให้แรงดันที่ตกคร่อมขดไฟโรมารี่มีค่าลดลงตามเวลาหรือเกิดความลาด (Droop) ขึ้นบนแรงดัน เนื่องจากแรงดันส่วนหนึ่งได้ตกคร่อม C_c นั้นเอง (ดูรูปที่ 3.4) และจะมีผลต่อแรงดันทางด้านเซคันดารีทำให้เกิดการ

เอกสารนี้เป็นเอกสารที่สงวนไว้สำหรับการใช้งานเพื่อการศึกษาเท่านั้น ไม่อนุญาตให้นำไปใช้ประโยชน์ด้านการค้า
ไม่ว่ากรณีใดๆ ทั้งสิ้น อีกทั้งห้ามมิให้ดัดแปลงเนื้อหา และต้องอ้างอิงถึงเจ้าของเอกสารทุกครั้งที่มีการนำไปใช้

กระแสของแรงดันที่เอาต์พุตซึ่งไม่เป็นที่ต้องการเช่นกัน ดังนั้นจึงจำเป็นต้องกำหนดค่า C_b ให้มีค่าเหมาะสมเพื่อให้เกิดความลาดบนแรงดันที่ขดไฟโพรมารี่ต่ำสุด การกำหนดค่าของ C_b อาจทำได้ดังนี้

$$C_b = \frac{I_{p(pk)}(0.4T)}{\Delta V} \quad \dots\dots(3.1)$$

โดย $I_{p(pk)}$ คือ ค่ากระแสสูงสุดที่ขดไฟโพรมารี่

ΔV คือ ค่าของความลาดแรงดันสูงสุดที่ยอมรับได้(ไม่เกิน20%ของ)

T คือ ค่าคาบเวลาการทำงานของคอนเวอร์เตอร์

3.3 คอมมิวเตตติ้งไดโอด D_3 และ D_4

จากวงจรในรูปที่ 3.2 จะเห็นได้ว่ามีไดโอด D_3 และ D_4 ต่อคร่อมเพาเวอร์ทรานซิสเตอร์ Q_1 อยู่ไดโอดทั้งสองตัวนี้เรียกว่า คอมมิวเตตติ้งไดโอด (Commutating Diode) มีหน้าที่สองประการคือ

1. ป้องกันการเกิดแรงดันสไปค์ในขณะที่เพาเวอร์ทรานซิสเตอร์เริ่มหยุดนำกระแสเนื่องจากค่าความเหนี่ยวนำแฝงในหม้อแปลง โดยพลังงานที่สะสมอยู่ในตัวเหนี่ยวนำแฝงนี้จะถูกถ่ายเทออกไปยังภาคอินพุตด้วยคอมมิวเตตติ้งไดโอด จึงไม่ทำให้เกิดแรงสไปค์เมื่อเพาเวอร์ทรานซิสเตอร์เริ่มหยุดนำกระแส

2. ในขณะที่เพาเวอร์ทรานซิสเตอร์ Q_1 เริ่มหยุดนำกระแส ขดไฟโพรมารี่ จะมีการกลับขั้วแรงดันเกิดขึ้น ถ้าไม่มีคอมมิวเตตติ้งไดโอด Q_2 จะได้รับแรงดันตกคร่อมที่คอลเลกเตอร์เป็นลบ ในขณะที่ Q_1 ก็จะมีแรงดันตกคร่อมมากกว่าค่า $V_m/2$ ในกรณีนี้ไดโอด D_4 จะอยู่ในลักษณะไบแอสตรงจากแรงดันของขดไฟโพรมารี่และลดค่าแรงดันนี้ลงไป ในทำนองเดียวกับเมื่อ Q_2 เริ่มหยุดนำกระแสไดโอด D_3 จะทำหน้าที่เช่นเดียวกันเป็นการป้องกันเพาเวอร์ทรานซิสเตอร์

ไดโอดที่นำมาใช้เป็นคอมมิวเตตติ้งไดโอด ต้องเป็นชนิดฟอสตริคัฟเวอรี และต้องทนแรงดันย้อนกลับไปได้อย่างน้อย 2 เท่าของแรงดันตกคร่อมเพาเวอร์ทรานซิสเตอร์ขณะหยุดนำกระแส

3.4 ค่าเวลาเมื่อ T_D สำหรับฮาล์ฟบริดจ์คอนเวอร์เตอร์

ค่าเวลาเมื่อ T_D เพื่อจำกัดช่วงเวลานำกระแสสูงสุด $T_{ON(max)}$ ของเพาเวอร์ทรานซิสเตอร์ Q_1 และ Q_2 เป็นสิ่งสำคัญมากในวงจรฮาล์ฟบริดจ์คอนเวอร์เตอร์ จะเห็นว่าการต่อกันอยู่ในวงจรของ Q_1 และ Q_2 นั้นถ้าหาก Q_1 และ Q_2 นำกระแสพร้อม ๆ กัน จะเกิดการลัดวงจรของแรงดันอินพุตทันทีซึ่งเป็นอันตรายต่อเพาเวอร์ทรานซิสเตอร์และอุปกรณ์อื่น ๆ ในวงจรได้ ดังนั้นช่วงเวลานำกระแสสูง

สุดของ Q_1 และ Q_2 จะต้องถูกจำกัดด้วยค่าเวลาเพื่อ เช่นเดียวกับพฤษภาคม – พูลคอนเวอร์เตอร์ โดยอาจกำหนดไว้ที่ 20 เปอร์เซ็นต์ ของครึ่งหนึ่งของคาบเวลาดังนั้น

$$T_{ON(max)} = 0.4T \quad \dots\dots(3.2)$$

3.5 การคำนวณเพื่อการออกแบบฮาล์ฟบริดจ์คอนเวอร์เตอร์

3.5.1 แรงดันเอาต์พุต

แรงดันเอาต์พุตนั้นสามารถหาได้จากสมการของพฤษภาคม – พูลคอนเวอร์เตอร์

$$V_{out} = \frac{(N_s)}{(N_p)} (V_{in} - V_{CE(sat)}) \frac{t_{ON}}{(T/2)} - V_D$$

เนื่องจากวงจรทำงานในลักษณะเดียวกัน แต่ในกรณีฮาล์ฟบริดจ์คอนเวอร์เตอร์แรงดันตกคร่อมขดไพรมารี N_p จะมีค่าเท่ากับ $V_{in}/2 - V_{CE(sat)}$ ดังนั้นแรงดันเอาต์พุตจึงเป็น

$$V_{out} = \frac{(N_s)}{(N_p)} (V_{in}/2 - V_{CE(sat)}) \frac{t_{on}}{(T/2)} - V_D \quad \dots\dots\dots(3.3)$$

3.5.2 กระแสสูงสุดที่ไหลผ่าน Q1 และ Q2

การคำนวณค่าสูงสุด สามารถทำได้ตามสมการของพฤษภาคม – พูลคอนเวอร์เตอร์

$$I_{P(PK)} = \frac{P_o T}{2\eta V_{in(min)} t_{on(max)}} + \frac{(V_{in(min)} - V_{CE(sat)})}{L_p} t_{on(max)}$$

แต่เนื่องจากแรงดันที่ตกคร่อมขดไพรมารีมีค่าเพียงครึ่งหนึ่งของแรงดันอินพุต ดังนั้น

$$I_{P(PK)} = \frac{P_{out} t}{2\eta V_{in(min)} t_{on(max)}} + \frac{(V_{in(min)}/2 - V_{CE(sat)}) t_{on(max)}}{L_p} \quad \dots\dots\dots(3.4)$$

ถ้ากระแสเหนี่ยวนำแม่เหล็กมีค่าน้อย ๆ จะเห็นได้ว่ากระแสสูงสุดด้านไพรมารีของวงจรฮาล์ฟบริดจ์คอนเวอร์เตอร์มีค่าเป็น 2 เท่า ของวงจรพฤษภาคม – พูลคอนเวอร์เตอร์ ที่กำลังขาออกเท่ากัน

เอกสารนี้เป็นเอกสารที่สงวนไว้สำหรับการใช้งานเพื่อการศึกษาเท่านั้น ไม่อนุญาตให้นำไปใช้ประโยชน์ด้านการค้า ไม่ว่ากรณีใดๆ ทั้งสิ้น อีกทั้งห้ามมิให้ดัดแปลงเนื้อหา และต้องอ้างอิงถึงเจ้าของเอกสารทุกครั้งที่มีการนำไปใช้

(แต่ฮาล์ฟบริดจ์คอนเวอร์เตอร์มีแรงดันตกคร่อมเพาเวอร์ทรานซิสเตอร์เพียงแรงดันอินพุต ซึ่งเป็นข้อได้เปรียบ)

3.5.3 อัตราส่วนจำนวนรอบ N_p/N_s และจำนวนรอบ N_p และ N_s

ค่าอัตราส่วนจำนวนรอบ N_p/N_s หาได้จากสมการที่ (3.4) ดังนี้

$$\frac{N_p}{N_s} = \frac{(V_{m(\min)} / 2 - V_{CE(sat)}) t_{ON(\max)}}{(V_{out} + V_D) (T / 2)}$$

เนื่องจากขดลวดไพรมารี N_p ของฮาล์ฟบริดจ์คอนเวอร์เตอร์มีเพียงขดเดียว ค่าจำนวนรอบของ N_p จะหาได้จาก

$$N_p = \frac{(V_{m(\min)} / 2 - V_{CE(sat)}) t_{ON(\max)} * 10^5}{\Delta B_{\max} * Ae} \quad \dots\dots(3.5)$$

3.5.4 เอาต์พุตโวลต์ L_0 และตัวเก็บประจุที่เอาต์พุต C_0

ค่าของเอาต์พุตโวลต์ L_0 และตัวเก็บประจุที่เอาต์พุต C_0 สามารถทำได้เช่นเดียวกับพวง - พูลคอนเวอร์เตอร์เนื่องจากวงจรทางด้านเอาต์พุตเหมือนกัน

บทที่ 4

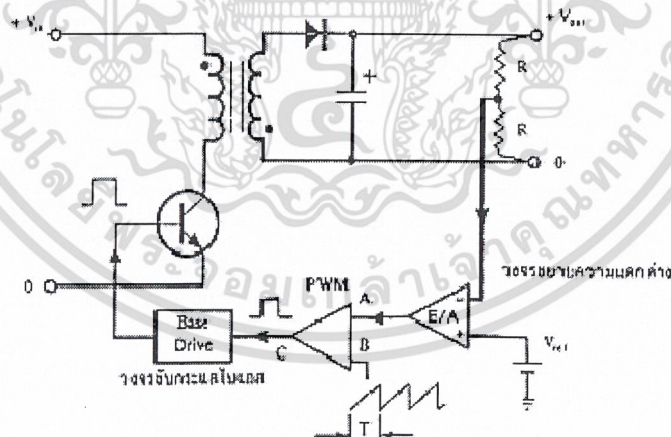
วงจรควบคุมสำหรับสวิตชิงเพาเวอร์ซัพพลาย

(Mode Control For Switching Power Supply)

เนื่องจากคอนเวอร์เตอร์เกือบทุกแบบ จะคงค่าแรงดันเอาต์พุตได้ด้วยการควบคุมช่วงเวลานำกระแส (t_{ON}) ของเพาเวอร์ทรานซิสเตอร์ ดังนั้นวงจรควบคุมการทำงานของคอนเวอร์เตอร์โดยทั่วไปจึงมักนิยมใช้เทคนิคพัลส์วิดท์มอดูเลชัน (Pulse Width Modulation) หรือ ใช้ PWM เพื่อควบคุมช่วงเวลานำกระแสของเพาเวอร์ทรานซิสเตอร์ในคอนเวอร์เตอร์ สามารถทำได้ใน สองลักษณะการทำงานของวงจรควบคุมคือ โหมดควบคุมจากแรงดันและโหมดควบคุมจากกระแส ซึ่งจากโครงการนี้เราจะเน้นหนักในโหมดของการควบคุมแรงดัน

4.1 วงจรควบคุมในโหมดควบคุมจากแรงดัน (Voltage Mode Control)

การทำงานของวงจรควบคุมในโหมดนี้ จะอาศัยการตรวจจับการเปลี่ยนแปลงค่าของแรงดันที่เอาต์พุตมาควบคุมช่วงเวลานำกระแสของเพาเวอร์ทรานซิสเตอร์ เพื่อการคงค่าแรงดันเอาต์พุตเป็นหลัก วงจรพื้นฐานของวงจรควบคุมในโหมดควบคุมจากแรงดันจะเป็นดังรูปที่ 4.1

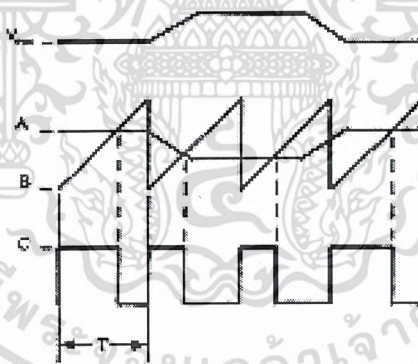


รูปที่ 4.1 แสดงวงจรพื้นฐานสำหรับการควบคุมคอนเวอร์เตอร์ในโหมดควบคุมจากแรงดัน

จากรูปที่ 4.1 วงจรควบคุมจะอาศัยการป้อนกลับค่าแรงดันที่เอาต์พุตและเปรียบเทียบกับแรงดันอ้างอิง V_{OUT} ของวงจร เพื่อตรวจจับการเปลี่ยนแปลงของแรงดันที่เอาต์พุต ค่าความแตกต่างที่ได้จะถูกขยายโดยวงจรขยายความแตกต่าง E/A ก่อนที่จะส่งไปยังวงจร PWM โดยค่าแรงดันที่ได้จากวงจรขยายความแตกต่าง E/A ที่ตำแหน่ง A จะถูกเปรียบเทียบกับแรงดันรูปฟันเลื่อยที่ตำแหน่งเอกสารนี้เป็นเอกสารที่สงวนไว้สำหรับการใช้งานเพื่อการศึกษาเท่านั้น ไม่อนุญาตให้นำไปใช้ประโยชน์ด้านการค้าไม่ว่ากรณีใดๆ ทั้งสิ้น อีกทั้งห้ามมิให้ดัดแปลงเนื้อหา และต้องอ้างอิงถึงเจ้าของเอกสารทุกครั้งที่มีการนำไปใช้

B ของ PWM อีกครั้งหนึ่ง เอาต์พุตที่ได้จากวงจร PWM จะมีลักษณะเป็นพัลส์สี่เหลี่ยม ซึ่งมีความยาวคาบที่เท่ากับคาบเวลาของแรงดันรูปฟันเลื่อยและมีความกว้างของพัลส์ซึ่งเปลี่ยนแปลงไปตามผลมอดูเลชันของค่าแรงดันที่ตำแหน่ง A และ B ค่าความกว้างของพัลส์นี้เองที่จะเป็นตัวกำหนดช่วงเวลานำกระแสของเพาเวอร์ทรานซิสเตอร์ในวงจรคอนเวอร์เตอร์

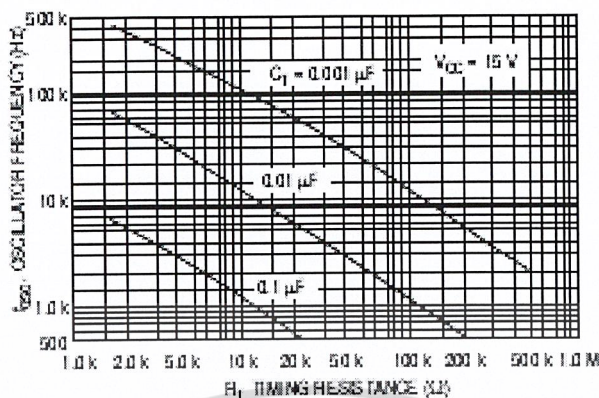
เนื่องจากค่าแรงดันป้อนกลับจะถูกส่งมายังวงจรขยายความแตกต่าง E/A ที่ขาอินเวอร์ตติง ผลต่างของแรงดันเอาต์พุตและแรงดันอ้างอิงที่จุด A จึงมีลักษณะกลับเฟสอยู่ 180° กล่าวคือ เมื่อแรงดันเอาต์พุตมีค่ามากขึ้น แรงดันที่จุด A จะมีค่าลดลง ความกว้างพัลส์ที่เอาต์พุตของวงจร PWM จึงมีค่าลดลงด้วย และช่วงเวลานำกระแสของเพาเวอร์ทรานซิสเตอร์ t_{ON} ก็จะมีค่าลดลง ถ้าแรงดันเอาต์พุตมีค่าลดลง แรงดันที่จุด A จะมีค่าเพิ่มขึ้น ความกว้างพัลส์ที่เอาต์พุตของวงจร PWM จึงมีค่าเพิ่มขึ้น t_{ON} ก็จะมีค่าเพิ่มขึ้น ทำให้คอนเวอร์เตอร์สามารถคงค่าแรงดันเอาต์พุตเอาไว้ได้ ลักษณะรูปคลื่นแรงดันขณะวงจรทำงานจะเป็นดังรูปที่ 4.2 ตัวอย่าง ไอซีที่ใช้ควบคุมคอนเวอร์เตอร์ในโหมดควบคุมจากแรงดัน ได้แก่ เบอร์ MC 34060, MC 34166 และ TL 494 เป็นต้น



รูปที่ 4.2 แสดงลักษณะของความกว้างเอาต์พุตพัลส์ของ PWM ซึ่งเป็นผลมาจากการมอดูเลชันสัญญาณป้อนกลับและสัญญาณฟันเลื่อยตามรูปที่ 4.1

4.2 ไอซีเบอร์ TL 494 สำหรับโหมดควบคุมจากแรงดัน

ไอซีเบอร์ TL 494 เป็น ไอซีที่ออกแบบมาเพื่อใช้ควบคุมการทำงานของคอนเวอร์เตอร์ โดยทำงานด้วยโหมดควบคุมจากแรงดัน ซึ่งจะได้นำมาเป็นตัวอย่างการทำงานสำหรับวงจรควบคุมด้วย

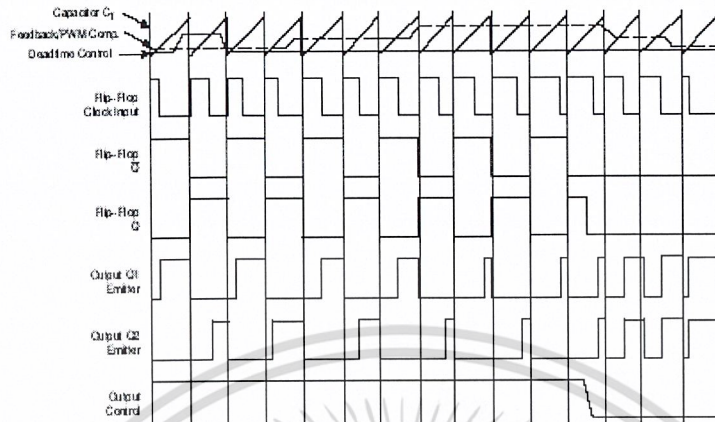


รูปที่ 4.4 แสดงความสัมพันธ์ของค่า R_T , C_T ในการกำหนดความถี่

4.2.1 การทำงานของไอซีในการคงค่าแรงดันของคอนเวอร์เตอร์

ความกว้างเอาต์พุตพัลส์ของไอซี จะได้จากการเปรียบเทียบสัญญาณฟันเลื่อยที่ขา 5 กับแรงดันที่ได้จากวงจรขยายความแตกต่าง (Error Amp) ทั้ง 2 ตัวที่ PWM Comparator ส่วน NOR เกทที่ควบคุมทรานซิสเตอร์ที่เอาต์พุต Q_1 และ Q_2 จะทำงานก็ต่อเมื่อขา C_x ของ Flip – Flop อยู่ในสถานะ “Low” เท่านั้นซึ่ง C_x จะเป็น “Low” ได้ก็ต่อเมื่อแรงดันของสัญญาณฟันเลื่อยมีค่ามากกว่าแรงดันที่มาจาก Error Amp ทั้งสองตัว นั่นคือแรงดันป้อนกลับจากเอาต์พุตของคอนเวอร์เตอร์หากมีค่าสูงขึ้น ความกว้างเอาต์พุตพัลส์ของไอซีจะเพิ่มขึ้น

ความกว้างเอาต์พุตพัลส์ของไอซีนีสามารถกำหนดให้มีค่ามากที่สุดหรือมีค่าเท่ากับศูนย์ได้ ด้วยการเปลี่ยนแปลงแรงดันที่ขา 3 จาก 0.5 โวลต์ จนถึง 3.5 โวลต์ ส่วน Error Amp ทั้งสองตัวจะมีช่วงของอินพุตคอมมอนโหมด ตั้งแต่ -0.3 ถึง $(V_{cc} - 2)$ และสามารถใช้ตรวจจับแรงดันหรือกระแสที่เอาต์พุตของคอนเวอร์เตอร์ได้ Error Amp ทั้ง 2 ตัวจะให้เอาต์พุตในลักษณะสถานะ “High” (Active high) โดยต่อกันอยู่ในลักษณะ OR ที่ขา non – inverting ของ PWM Comparator การต่อกันในลักษณะนี้ Error Amp ตัวที่ทำให้เกิดความกว้างเอาต์พุตพัลส์ต่ำสุด จะเป็นตัวควบคุมความกว้างเอาต์พุตพัลส์ของไอซี



รูปที่ 4.5 แสดงรูปคลื่นลักษณะการทำงานของ TL 494

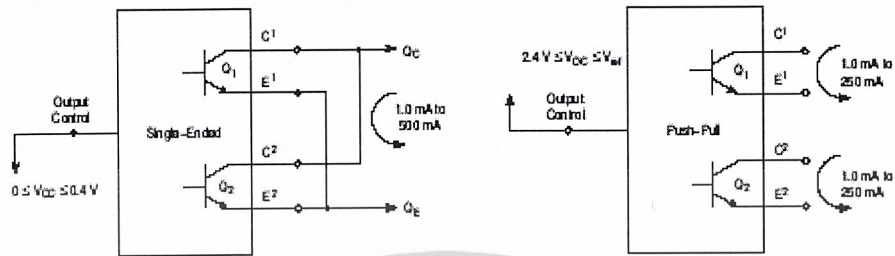
4.2.2 การกำหนดเวลาค่าเพื่อ T_D

TL 494 สามารถให้ผู้ใช้กำหนดเวลาค่าเพื่อ T_D ของวงจรเองได้ ด้วยการต่อแรงดันระหว่าง 0 ถึง 3.3 โวลต์ที่ขา 4 ของไอซี อย่างไรก็ตาม หากแรงดันที่ขา 4 มีค่าเท่ากับ 0 โวลต์ ค่าเวลาเพื่อต่ำสุดของไอซีจะไม่ต่ำกว่า 4 เปอร์เซ็นต์ ของค่าคาบเวลาการทำงานเนื่องจากมีแรงดันออฟเซต 120 มิลลิโวลต์ต่ออยู่ภายใน ดังนั้นช่วงเวลา t_{ON} สูงสุดของคอนเวอร์เตอร์ที่ได้จากไอซีจะเท่ากับ 48% ของค่าคาบเวลาเมื่อต่อขา 13 (Output Control) เข้ากับขา 14 (+5 V_{ref}) และมีค่าเท่ากับ 96% ของค่าคาบเวลา เมื่อต่อขา 13 ลงกราวด์

4.2.3 การเลือกใช้ Q_1 และ Q_2 ที่เอาต์พุตของไอซี

เอาต์พุตของไอซีสามารถทำงานได้ 2 โหมด คือ ทำงานพร้อมกัน หรือสลับกันทำงาน ซึ่งสามารถเลือกการทำงานได้ในที่ขา 13 (Output Control) โดยขณะที่ C_T ดิซชาร์จ์ เอาต์พุตของ Dead – Time Comparator จะให้พัลส์ออกมา C_k จะมีสถานะเป็น “High” และหยุดการทำงานของ Q_1 และ Q_2 ถ้ากำหนดให้ขา 13 มีสถานะเป็น “High” โดยการต่อเข้ากับขา 4 (+5 V_{ref}) Q_1 และ Q_2 จะสลับการทำงานตามจังหวะของ Flip – Flop เพื่อใช้ขับคอนเวอร์เตอร์แบบพุก – พูล ในกรณีนี้คาบเวลาการทำงานจะเป็น 2 เท่าของคาบเวลาสัญญาณฟันเลื่อยของไอซี แต่ถ้ากำหนดให้ขา 13 มีสถานะเป็น “Low” โดยการต่อลงกราวด์ (ยกเลิก Flip – Flop) Q_1 และ Q_2 จะทำงานพร้อมกันและสามารถขนาน Q_1 และ Q_2 เข้าด้วยกันได้ ถ้าต้องการให้นำกระแสได้มากขึ้น ในกรณีนี้คาบเวลาการทำงานจะ

มีค่าเท่ากับค่าคาบเวลาของสัญญาณพื่นเหลี่ยมของไอซี (ช่วงเวลานำกระแสสูงสุดเท่ากับ 96% ของคาบเวลา)

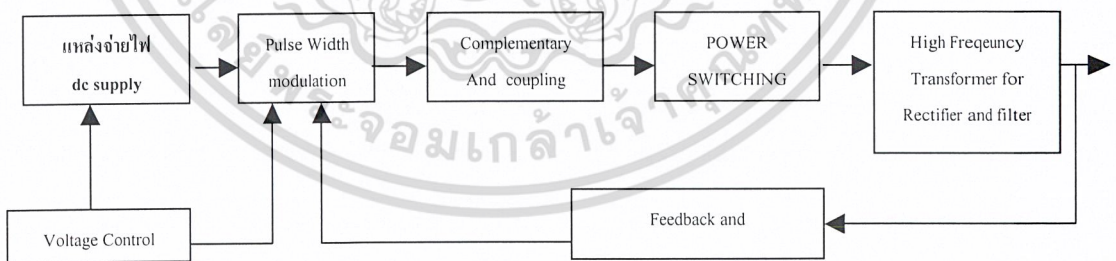


รูปที่ 4.6 แสดงลักษณะการเลือกใช้อะตัพของ TL 494

TL 494 ต้องการไฟเลี้ยงในช่วง $7 \leq V_{cc} \leq 40$ โวลต์ มีแรงดันอ้างอิงภายใน $V_{ref} = 5$ โวลต์ และสามารถจ่ายกระแสได้ถึง 10 มิลลิแอมป์เพื่อใช้กับวงจรภายนอกได้ โดยมีค่าความถูกต้อง $\pm 1.5\%$ ความคลาดเคลื่อนทางอุณหภูมิมีค่าน้อยกว่า 50 มิลลิโวลต์เมื่อทำงานในช่วง 0 ถึง 70°C

4.3) วงจรภาคเพาเวอร์สวิตติง

ลักษณะการทำงานของเพาเวอร์สวิตติง (Power switching) สามารถเขียนอธิบายการทำงานได้ด้วยบล็อกไดอะแกรม (Block diagram) ดังนี้



รูปที่ 4.7 บล็อกไดอะแกรมแสดงลักษณะการทำงานของวงจรภาคเพาเวอร์สวิตติง

4.4) วงจรแปลงแรงดันไฟกระแสสลับ(AC) เป็นไฟกระแสตรง (DC)

AC - DC Rectifier ทำหน้าที่แปลงแรงดันไฟสลับค่าหนึ่งไปเป็นแรงดันไฟตรงค่าหนึ่ง ซึ่งในที่นี้จะใช้การเรกติไฟร์ ในลักษณะการแปลงแรงดันแบบเต็มคลื่นชนิดแทปกกลาง (Full wave Center Tapped) โดยค่าแรงดันไฟตรงหาได้จากสมการที่ 4.2 ดังต่อไปนี้

$$V_{dc} = 0.636 V_p \dots\dots\dots(4.2)$$

เอกสารนี้เป็นเอกสารที่สงวนไว้สำหรับการใช้งานเพื่อการศึกษาเท่านั้น ไม่อนุญาตให้นำไปใช้ประโยชน์ด้านการค้า ไม่ว่ากรณีใดๆ ทั้งสิ้น อีกทั้งห้ามมิให้ตัดแปลงเนื้อหา และต้องอ้างอิงถึงเจ้าของเอกสารทุกครั้งที่มีการนำไปใช้

4.5) วงจรแปลงแรงดันไฟกระแสตรง (DC) เป็นไฟกระแสตรง (DC)

ทำหน้าที่แปลงแรงดันไฟตรงค่าหนึ่งๆ ไปเป็นแรงดันไฟตรงอีกค่าหนึ่ง โดยอาศัยมอสเฟตเป็นสวิตช์แรงดันไฟตรงให้มีการเปลี่ยนแปลง On และ Off ตลอดเวลา ตามสัญญาณของวงจรส่วนควบคุมส่งมา ซึ่งลักษณะดังกล่าวนี้เราเรียกว่า คอนเวอร์เตอร์ (Converter) ซึ่งเป็นลักษณะของ DC – DC Converter โดยในวงจรอาศัยการทำงานของ Power Mosfet เบอร์ IRFP 460 เป็นตัวสวิตช์ซึ่งมอสเฟตนี้จะตอบสนองต่อความถี่สูง สามารถทนแรงดันและทำงานได้ดีกว่าทรานซิสเตอร์

4.6) วงจรเรกติไฟร์ (Rectifier) และ ฟิลเตอร์ (Filter)

ทำหน้าที่แปลงสัญญาณอินพุตใดๆ ให้ได้ออกมาเป็นแรงดันไฟตรง โดยวงจรนี้ใช้เรกติไฟร์ชนิดเต็มคลื่นแบบมีแทปกลาง (Full wave center tapped) ซึ่งสุดท้ายมีเอาต์พุตโวลต์ (L_0) และตัวเก็บประจุเอาต์พุต (C_0) ทำหน้าที่กรองกระแสและแรงดันให้เรียบ ก่อนนำไปใช้งาน นั่นก็คือ วงจรกรองแบบ LC นั่นเอง

บทที่ 5

ไดโอดและหม้อแปลงในสวิตซิ่งเพาเวอร์ซัพพลาย

Diode and Transformer in Switching Power Supply

5.1 กำลังงานสูญเสียในรูปความร้อนของไดโอด

ไดโอดเป็นอุปกรณ์ตัวหนึ่งของสวิตซิ่งเพาเวอร์ซัพพลาย ที่ไม่อาจมองข้ามการเกิดกำลังงานสูญเสียในรูปความร้อนขณะมันทำงานได้ เนื่องจากต้องทำงานที่ความถี่สูง กำลังงานสูญเสียในไดโอดจะเกิดขึ้นได้ 2 ลักษณะเช่นเดียวกับเพาเวอร์ทรานซิสเตอร์ คือ กำลังงานสูญเสียขณะนำกระแส และกำลังงานสูญเสียขณะเปลี่ยนสถานะ การใช้งานไดโอดที่ความถี่ต่างๆ กำลังงานสูญเสียส่วนใหญ่จะเกิดจากกำลังงานสูญเสียขณะนำกระแส แต่ที่ความถี่สูงกำลังงานสูญเสียขณะเปลี่ยนสถานะของไดโอดจะมีค่าสูงขึ้นด้วย และมีผลต่อค่ากำลังงานสูญเสียที่เกิดขึ้นทั้ง 2 ลักษณะนั้นด้วย

ขณะที่ไดโอดนำกระแสจะมีแรงดันตกคร่อมที่รอยต่อขึ้น ทำให้เกิดแรงดันตกคร่อมไดโอดขณะนำกระแสซึ่งจะมีค่าขึ้นกับค่ากระแสที่ไหลผ่านตัวมัน โดยไดโอดในช่วงนี้จะกำลังงานสูญเสียเท่ากับ

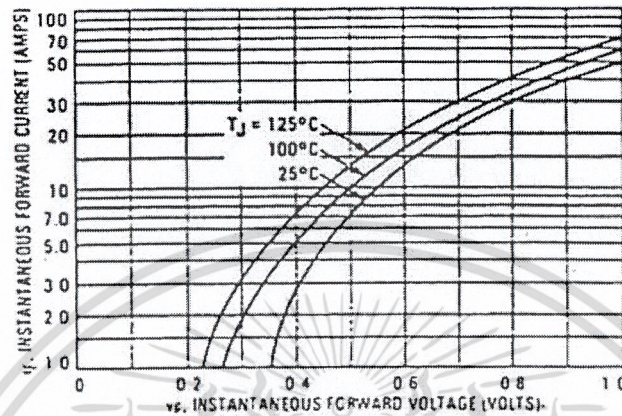
$$P_D = V_F I_F \dots\dots\dots(5.1)$$

เมื่อ P_D คือ ค่ากำลังงานสูญเสียในรูปความร้อนของไดโอดขณะนำกระแส

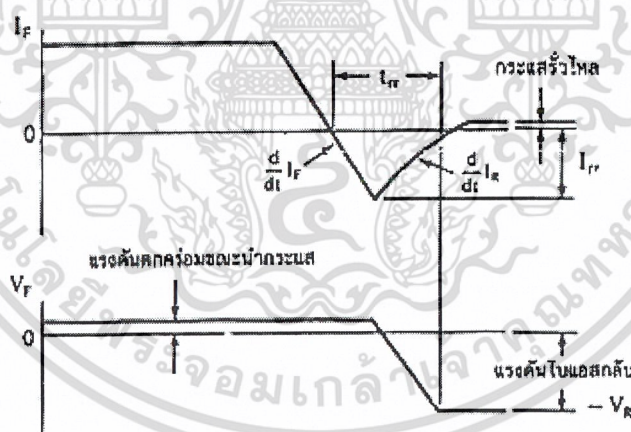
V_F คือ ค่าแรงดันตกคร่อมตัวไดโอดขณะนำกระแส

I_F คือ ค่ากระแสที่ไหลผ่านไดโอด

ไดโอดจะเกิดกำลังงานสูญเสียได้มากที่สุดขณะเปลี่ยนสถานะเมื่อเริ่มหยุดนำกระแส ซึ่งมีผลมาจากการเกิดประจุสะสมขึ้นในตัวไดโอดขณะนำกระแส โดยก่อนที่ไดโอดจะตอบสนองต่อแรงดันไบแอสกลับและไม่ให้เกิดกระแสไหลย้อนทางได้ ไดโอดจะต้องลดประจุสะสมเหล่านี้ออกไปเสียก่อน ประจุสะสมจะมีผลทำให้เกิดกระแสไหลย้อนกลับผ่านตัวไดโอดในขณะที่มีแรงดันไบแอสกลับตกคร่อมตัวมันอยู่ และไดโอดต้องใช้เวลาส่วนหนึ่งเพื่อลดประจุสะสมออกไปจึงจะสามารถหยุดกระแสไบแอสกลับได้เวลาที่ใช้ในการลดประจุนี้เรียกว่าช่วงเวลาคืนตัว (reverse recovery time) t_r ลักษณะตอบสนองต่อแรงดันและกระแสของไดโอดจะเป็นดังรูปที่ 5.1



รูปที่ 5.1 แสดงตัวอย่างค่าแรงดันตกคร่อมไดโอดขณะนำกระแส กำลังงานสูญเสียในไดโอดในช่วงนี้จะมีค่า $P_D = V_F I_F$



รูปที่ 5.2 แสดงลักษณะของกระแสและแรงดันตกคร่อมไดโอดขณะเริ่มหยุดนำกระแส

ช่วงเวลานี้เป็นตัว t_{rr} จะขึ้นกับค่าประจุสะสม ซึ่งเป็นผลโดยตรงจากการที่มีกระแสไหลผ่านไดโอดขณะถูกไบแอสตรง รวมทั้งการใช้งานไดโอดในลักษณะต่าง ๆ กันจะได้ค่า t_{rr} ที่แตกต่างกันออกไปได้ด้วย จะเห็นได้ว่าในช่วงเวลา t_{rr} นี้ ไดโอดจะมีกระแสไหลขณะที่มีแรงดันตกคร่อมสูง และจะเกิดกำลังงานสูญเสียขึ้นสูงเมื่อใช้งานไดโอดที่ความถี่สูงขึ้น

เอกสารนี้เป็นเอกสารที่สงวนไว้สำหรับการใช้งานเพื่อการศึกษาเท่านั้น ไม่อนุญาตให้นำไปใช้ประโยชน์ด้านการค้าไม่ว่ากรณีใดๆ ทั้งสิ้น อีกทั้งห้ามมิให้ดัดแปลงเนื้อหา และต้องอ้างอิงถึงเจ้าของเอกสารทุกครั้งที่มีการนำไปใช้

ลักษณะที่สำคัญอีกประการของไดโอดก็คือความนุ่มนวลในการคืนตัว(softness recovery) ที่ความถี่สูง ๆ ลักษณะการคืนตัวของไดโอดจะมีผลต่อการเกิดสัญญาณรบกวน RFI ของสวิตซ์ที่เพาเวอร์สัพพลาย ค่าความนุ่มนวลในการคืนตัวของไดโอดจะกำหนดโดยค่าความชันที่ขอบขาขึ้นของกระแสในช่วงเวลาคืนตัว dI_r / dt ไดโอดที่มีค่าความชัน dI_r / dt น้อย ๆ จะมีลักษณะการคืนตัวอย่างนุ่มนวลและให้ค่าสัญญาณรบกวน เกิดขึ้นต่ำ ๆ แต่จะมีช่วงเวลาคืนตัวมาก และเกิดกำลังงานสูญเสียได้มากด้วย

5.2 ชนิดและการเลือกใช้ไดโอด

เนื่องจากคอนเวอร์เตอร์จะมีค่าความถี่การทำงานของวงจรตั้งแต่ 20 กิโลเฮิร์ตซ์ ขึ้นไป ไดโอดที่ใช้ในคอนเวอร์เตอร์จึงจำเป็นต้องมีคุณสมบัติทั่วไปดังนี้คือ

- 1) มีแรงดันตกคร่อมขณะนำกระแสต่ำ
- 2) มีช่วงเวลาคืนตัว t_{rr} สั้น
- 3) สามารถทนกำลังงานสูง

ซิลิคอนไดโอดที่ใช้ในวงจรเรกติไฟเออร์ทั่ว ๆ ไปจะไม่สามารถนำมาใช้กับคอนเวอร์เตอร์ เนื่องจากมีค่าคืนตัวน้อยมาก กำลังงานสูญเสียในรูปความร้อนจะเกิดขึ้นสูงและมีประสิทธิภาพต่ำ ปกติไดโอดที่ใช้ในวงจรคอนเวอร์เตอร์ควรเลือกใช้จากไดโอด 3 ชนิดดังต่อไปนี้คือ

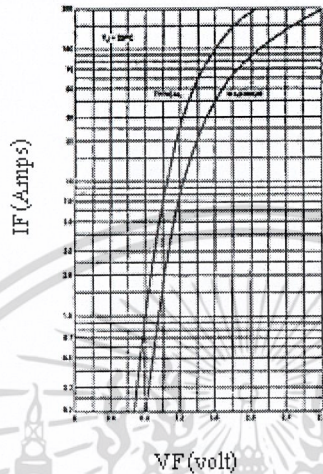
- 1) ฟาสต์ – รีคัฟเวอรีไดโอด (Fast Recovery Diode)
- 2) อุลตราฟาสต์ – รีคัฟเวอรีไดโอด (Ultra Fast Recovery Diode)
- 3) ชอตต์กี้ไดโอด (Schottky Diode)

ฟาสต์ – รีคัฟเวอรี และ อุลตราฟาสต์ – รีคัฟเวอรีไดโอด

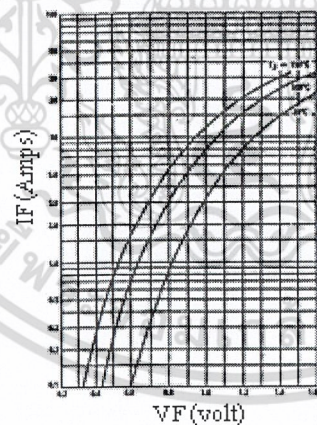
ฟาสต์-รีคัฟเวอรีไดโอดมีช่วงเวลาคืนตัว t_{rr} ประมาณ 200 ถึง 750 นาโนวินาที ซึ่งสั้นกว่าซิลิคอนไดโอดมาก และ ฟาสต์ – รีคัฟเวอรีไดโอดมีอัตราทนแรงดันไบแอสกลับได้สูงถึง 1,000 โวลต์ ส่วนอุลตราฟาสต์ – รีคัฟเวอรีไดโอดจะมีช่วงเวลาคืนตัว t_{rr} ประมาณ 25 ถึง 100 นาโนวินาที และมีอัตราทนแรงดันไบแอสกลับได้สูงถึง 1,000 โวลต์

เช่นเดียวกัน แรงดันตกคร่อมขณะนำกระแสของไดโอดทั้งสองชนิดมีค่าอยู่ในช่วงเดียวกันคือประมาณ 0.6 ถึง 1.5 โวลต์ ตัวอย่างค่าแรงดันตกคร่อมขณะนำกระแสของฟาสต์ – รีคัฟเวอรี และ อุลตราฟาสต์ – รีคัฟเวอรี แสดงไว้ในรูปที่ 5.3

เนื่องจากแรงดันตกคร่อมขณะนำกระแสของฟาสต์ – รีคัพเวอรี และ อุลตาฟาสต์ – รีคัพเวอรี ไดโอดมีค่าค่อนข้างสูง ไดโอดทั้งสองชนิดนี้จึงเหมาะกับคอนเวอร์เตอร์ที่มีค่าแรงดันเอาต์พุต ที่มีค่าแรงดันตั้งแต่ 12 โวลต์ขึ้นไป



รูปที่ 5.3 (ก) แสดงตัวอย่างค่าแรงดันตกคร่อมขณะนำกระแสของ ฟาสต์ – รีคัพเวอรี (ที่มา : Motorola)



รูปที่ 5.3 (ข) แสดงตัวอย่างค่าแรงดันตกคร่อมขณะนำกระแสของอุลตาฟาสต์ – รีคัพเวอรี ไดโอด

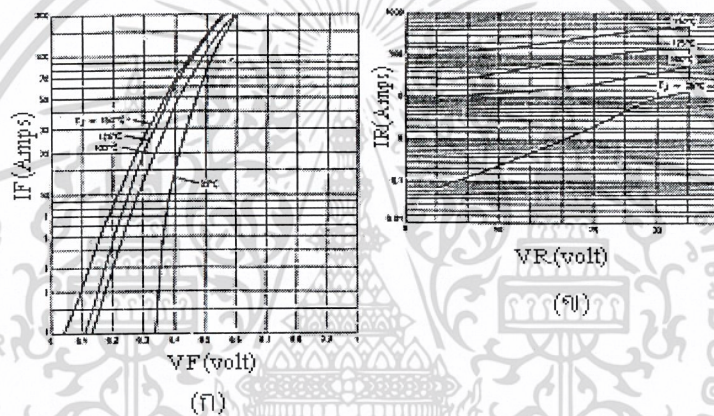
ขอตักไดโอด

ขอตักไดโอดมีค่าแรงดันตกคร่อมขณะนำกระแสค่อนข้างต่ำที่ประมาณ 0.5 โวลต์ (ดูรูปที่ 5.4 ประกอบ) จึงเหมาะสมกับคอนเวอร์เตอร์ที่มีค่าแรงดันเอาต์พุตต่ำ ๆ และนำกระแสสูง เช่น ที่ค่าแรงดันเอาต์พุตเท่ากับ 5 โวลต์ เนื่องจากลักษณะ โครงสร้างภายในที่แตกต่างจากฟาสต์ – รีคัพเวอรี และ อุลตาฟาสต์ – รีคัพเวอรี ไดโอด ขอตักไดโอดจะไม่เกิดประจุสะสมขึ้นภายในตัวมันขณะนำ

เอกสารนี้เป็นเอกสารที่สงวนไว้สำหรับการใช้งานเพื่อการศึกษาเท่านั้น ไม่อนุญาตให้นำไปใช้ประโยชน์ด้านการค้า ไม่ว่าจะกรณีใดๆ ทั้งสิ้น อีกทั้งห้ามมิให้ดัดแปลงเนื้อหา และต้องอ้างอิงถึงเจ้าของเอกสารทุกครั้งที่มีการนำไปใช้

กระแส ช่วงเวลาสั้นตัว t_r ของชอตต์กีไดโอดจึงค่าสั้นมาก โดยมีค่าน้อยกว่า 10 นาโนวินาที และอาจถือว่าชอตต์กีไดโอดไม่มีกำลังงานสูญเสียในช่วงนี้ได้

อย่างไรก็ตาม ชอตต์กีไดโอดมีข้อเสียอยู่ 2 ประการคือ ชอตต์กีไดโอดที่ผลิตได้ในปัจจุบัน มีอัตราทนแรงดันขณะไบแอสกลับได้สูงสุดที่ 100 โวลต์เท่านั้น และชอตต์กีไดโอดมีกระแสรั่วไหลสูง (ดูรูปที่ 5.4 ประกอบ) ทำให้มีกำลังงานสูญเสียขณะถูกไบแอสกลับค่อนข้างสูง และยังมีปัญหาที่เกิดขึ้นเมื่อนำชอตต์กีไดโอดมาใช้ในคอนเวอร์เตอร์อีกประการหนึ่งคือ ชอตต์กีไดโอดจะให้ทรานเซียนต์ขณะเริ่มหยุดนำกระแสสูง ซึ่งจะได้กล่าวรายละเอียดในหัวข้อถัดไป

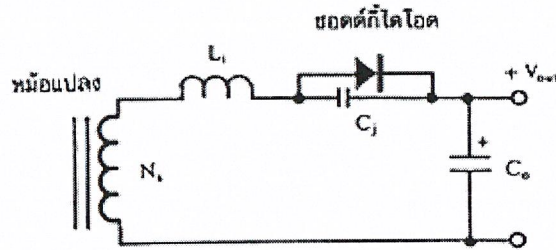


รูปที่ 5.4 (ก) แสดงตัวอย่างแรงดันตกคร่อมขณะนำกระแสของชอตต์กีไดโอด
(ข) ค่ากระแสรั่วไหลของชอตต์กีไดโอด

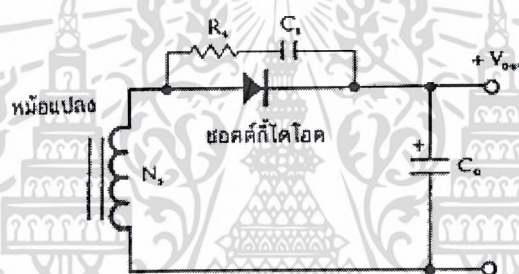
5.3 สนิบเบอร์สำหรับชอตต์กีไดโอด

เพราะว่าค่าความจุที่รอยต่อภายในตัวชอตต์กีไดโอดค่อนข้างสูง ดังนั้นการจذبจอร์ในส่วนเอาต์พุตหากขดเซคันดารีมีค่าเหนี่ยวนำแฝง ตัวเก็บประจุแฝงและตัวเหนี่ยวนำแฝงจะต่อกันอยู่ในลักษณะของวงจรดังรูปที่ 5.5 และจะทำให้เกิดทรานเซียนต์ขึ้นขณะไดโอดเริ่มหยุดนำกระแส ทรานเซียนต์ที่เกิดขึ้นอาจมีค่าสูงกว่าแรงดันสูงสุดที่ชอตต์กีไดโอดจะทนได้ ทำให้เกิดการพังเสียหายขึ้น หรือมีผลต่อความเรียบของแรงดันเอาต์พุต เพื่อลดทรานเซียนต์ จึงจำเป็นต้องต่อวงจร RC สนิบเบอร์คร่อมไดโอดขณะใช้งานไว้ด้วยการต่อวงจร RC สนิบเบอร์เพื่อลดทรานเซียนต์สามารถทำได้ดังรูปที่ 5.6

เอกสารนี้เป็นเอกสารที่สงวนไว้สำหรับการใช้งานเพื่อการศึกษาเท่านั้น ไม่อนุญาตให้นำไปใช้ประโยชน์ด้านการค้า ไม่ว่าจะกรณีใดๆ ทั้งสิ้น อีกทั้งห้ามมิให้ดัดแปลงเนื้อหา และต้องอ้างอิงถึงเจ้าของเอกสารทุกครั้งที่มีการนำไปใช้



รูปที่ 5.5 แสดงวงจรสมมูลของค่าความเหนี่ยวนำแฝงในหม้อแปลง L_s และตัวเก็บประจุที่รอยต่อ C_j ในขอตักไดโอด



รูปที่ 5.6 แสดงการต่อ RC สนับเบอร์คร่อมขอตักไดโอดขณะใช้งานเพื่อป้องกันการเกิดทรานเซียนต์จากตัวขอตักไดโอด

ค่า R_s ของวงจรสับเบอร์ที่เหมาะสมหาได้จากสมการที่ 5.2

$$R_s = \frac{N_s}{N_p} \sqrt{\frac{L_l}{C_j}} \quad \dots\dots\dots(5.2)$$

เมื่อ L_l คือ ค่าความเหนี่ยวนำแฝง(Leakage inductance)

C_j คือ ค่าความจุที่รอยต่อของขอตักไดโอด

N_p คือ จำนวนรอบของขดไพรมารีของหม้อแปลงสวิตซ์

N_s คือ จำนวนรอบของขดเซคันดารีของหม้อแปลงสวิตซ์

เอกสารนี้เป็นเอกสารที่สงวนไว้สำหรับการใช้งานเพื่อการศึกษาเท่านั้น ไม่อนุญาตให้นำไปใช้ประโยชน์ด้านการค้า ไม่ว่ากรณีใดๆ ทั้งสิ้น อีกทั้งห้ามมิให้ดัดแปลงเนื้อหา และต้องอ้างอิงถึงเจ้าของเอกสารทุกครั้งที่มีการนำไปใช้

ส่วนค่าของ C_s จะเป็นค่าเท่าใดก็ได้ในช่วงตั้งแต่ 0.01 ถึง 0.1 ไมโครฟารัด และกำลังสูญเสียในตัวต้านทาน R_s หาได้จากสมการที่ 5.3

$$P_d = \frac{1C_s (V_m N_s)^2}{2T N_p} \dots\dots\dots(5.3)$$

เมื่อ V_m คือ ค่าแรงดันที่ขดไพรมารีของหม้อแปลงสวิตชิ่ง

T คือ ค่าคาบเวลาการทำงานของคนเวอร์เตอร์

5.4 การระบายความร้อน

ขณะที่ไดโอดนำกระแสสูงๆ จะเกิดกำลังงานสูญเสียในรูปความร้อนขึ้นเนื่องจากไดโอดมีแรงดันที่ตกคร่อมที่รอยต่อ การใช้งาน ไดโอดจะต้องตัดแผ่นระบายความร้อนเพื่อระบายความร้อนให้กับไดโอดด้วย ปกติไดโอดจะมีค่าอุณหภูมิที่รอยต่อสูงสุด T_j อยู่ที่ 150°C ผู้ผลิตมักจะให้กราฟแสดงความสามารถในการนำกระแสที่อุณหภูมิตัวถังต่างๆ ของไดโอดมาในแผ่นคาต้าซิท ก่อนการใช้งานไดโอดจะต้องพิจารณาขนาดของแผ่นระบายความร้อนที่เหมาะสมให้มันด้วย เพื่อป้องกันการพังเสียหายเนื่องจากความร้อนและยืดอายุการทำงานของไดโอด

5.5 หม้อแปลงสวิตชิ่ง

ชีพพลาย ซึ่งผู้ออกแบบสวิตชิ่งเพาเวอร์จึงจำเป็นต้องศึกษารูปแบบที่เป็นไปได้ในลักษณะต่างๆ ของหม้อแปลงสวิตชิ่ง ความเหมาะสมในการใช้งาน การคำนวณขนาดแกนเฟอร์ไรต์แกนขนาดลวดทองแดงรวมทั้งการกำหนดความปลอดภัยทางไฟฟ้า เพื่อความปลอดภัยและลดกำลังงานสูญเสียในหม้อแปลงสวิตชิ่งขณะทำงานดังจะ ได้กล่าวไว้โดยละเอียดในบทนี้

5.5.1 ส่วนประกอบของหม้อแปลงสวิตชิ่ง

หม้อแปลงสวิตชิ่งมีหน้าที่หลักในการลดทอนแรงดันไฟตรงที่อินพุตคอนเวอร์เตอร์ ซึ่งอาจมีค่าสูงได้ถึง 310 โวลต์ ให้มีค่าลดลงเป็นแรงดันไฟฟ้าค่าต่ำที่เอาต์พุต และจะทำให้เกิดการแยกจากกันทางไฟฟ้าระหว่างแรงดันอินพุตและแรงดันเอาต์พุตที่ได้ ก็เพื่อป้องกันอันตรายจากการถูกไฟฟ้าดูดส่วนประกอบที่สำคัญของหม้อแปลงสวิตชิ่งมีรายละเอียดดังนี้

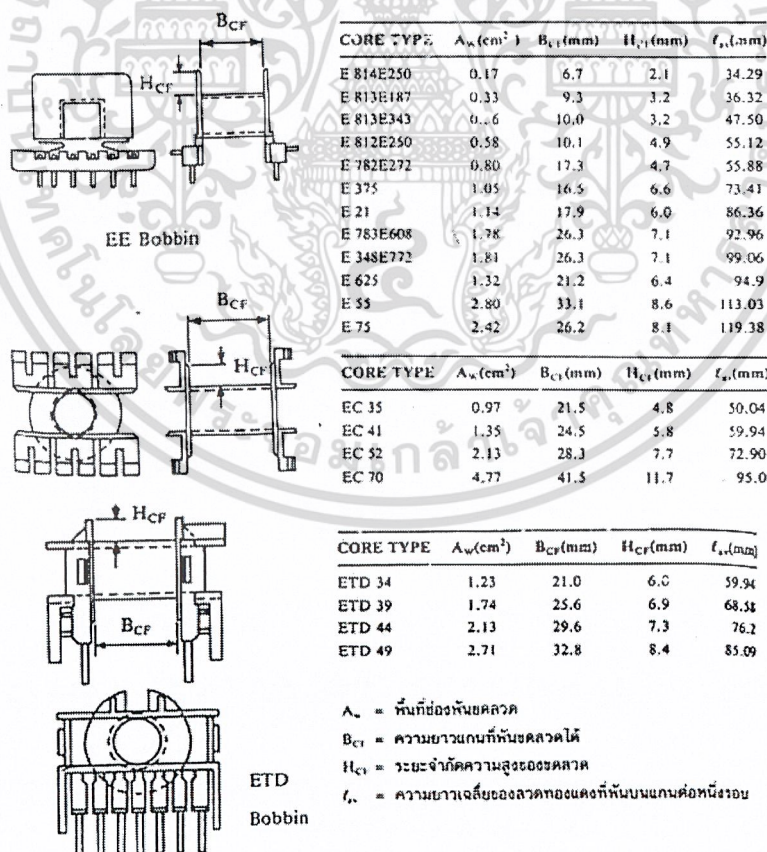
- แกนเฟอร์ไรต์ , บอบบิ้น , ลวดทองแดงอาบน้ำยา และเทปฉนวน

5.5.2 แกนเฟอร์ไรต์ (Ferite Core)

เฟอร์ไรต์เป็นวัสดุประเภทเฟอร์โรแมกเนติก (Ferromagnetic material) โดยการเหนี่ยวนำแม่เหล็กบนแกนเฟอร์ไรต์จะมีผลทำให้เกิดความหนาแน่นฟลักซ์แม่เหล็กที่ได้สูงกว่าการเหนี่ยวนำแม่เหล็กที่เกิดขึ้นบนแกนอากาศมาก เฟอร์ไรต์มีค่าจุ่มตัวฟลักซ์แม่เหล็กค่อนข้างสูงประมาณในช่วง 3,000 ถึง 4,000 เกาส์ และเกิดการสูญเสียในตัวมันต่ำที่ความถี่สูงๆ ดังนั้นหม้อแปลงสวิตชิ่งจึงนิยมใช้เป็นแกนเฟอร์ไรต์มากที่สุด

5.5.3 บอบบิ้น (Bobbin)

บอบบิ้นหรือแบบรองพันปกติจะทำจากพลาสติกชนิดทนความร้อนได้สูงและไม่ติดไฟ และบอบบิ้นจะช่วยให้การพันลวดบนแกนเฟอร์ไรต์สะดวกขึ้น และยังปกป้องปัญหาการลัดวงจรระหว่างขดลวดกับแกนเฟอร์ไรต์ได้ บอบบิ้นจะมีขนาดมาตรฐานตามมาตรฐานของแกนเฟอร์ไรต์ บอบบิ้นส่วนใหญ่จะถูกออกแบบและให้มีขาพันลวดทองแดง เพื่อความสะดวกในการพันขดลวด และบัดกรีติดกับแผ่น PCB



รูปที่ 5.7 แสดงตัวอย่างและขนาดมาตรฐานของบอบบิ้นสำหรับแกนเฟอร์ไรต์แบบ EE, EC

เอกสารนี้เป็นเอกสารที่สงวนไว้สำหรับการใช้งานเพื่อการศึกษาเท่านั้น ไม่อนุญาตให้นำไปใช้ประโยชน์ด้านการค้า ไม่ว่าจะกรณีใดๆ ทั้งสิ้น อีกทั้งห้ามมิให้ดัดแปลงเนื้อหา และต้องอ้างอิงถึงเจ้าของเอกสารทุกครั้งที่มีการนำไปใช้

5.5.4 ลวดทองแดงอาบนํ้ายา (Enamelled Copper Wire)

การพันขดลวดทั้งไพรมารีและเซคันดารีของหม้อแปลงสวิตชิ่งที่กำลังไม่สูงนัก ปกติจะใช้ลวดทองแดงอาบนํ้ายาพันบนแกนบอบบิ้นเพื่อให้ได้ตามจำนวนรอบที่ต้องการ ซึ่งขนาดของขดลวดทองแดงที่จะใช้พันนั้น ขึ้นอยู่กับค่ากระแสสูงสุดที่ผ่านขดลวด ความถี่และผลข้างเคียงอื่น

5.5.5 เทปฉนวน (Insulation Tape)

เทปฉนวนใช้พันสำหรับเป็นตัวรองระหว่างชั้นของขดลวดในหม้อแปลงสวิตชิ่ง และมีหน้าที่สำคัญในการแยกส่วนทางไฟฟ้าระหว่างขดไพรมารี และขดเซคันดารีด้วยวัสดุที่ใช้ทำเทปฉนวนอาจเป็นพวกไมลาสร (Mylar) หรือโพลีเอสเตอร์ (Polyester) ที่มีความหนาอยู่ในช่วง 0.05 – 0.1 มิลลิเมตร การเลือกใช้จะขึ้นอยู่กับการออกแบบมาและค่าความปลอดภัยที่ต้องการจากหม้อแปลงสวิตชิ่งเป็นต้น

5.5.6 แกนเฟอร์ไรต์และการเลือกใช้

5.5.6.1 ลักษณะและขนาดมาตรฐานของแกนเฟอร์ไรต์

แกนเฟอร์ไรต์สำหรับหม้อแปลงสวิตชิ่ง โดยทั่วไปจะถูกผลิตออกมาที่ขนาดและรูปทรงต่างๆ ตามมาตรฐานเดียวกัน เช่น แกนแบบ EI, EE, ETD หรือแกนแบบ POT เป็นต้น ปกติผู้ผลิตจะทำแกนเฟอร์ไรต์ออกมาในลักษณะของกลุ่มประกอบ เพื่อความสะดวกในการประกอบเข้ากับบอบบิ้นการประกอบแกนเฟอร์ไรต์บนบอบบิ้น จะทำให้ทางเดินของฟลักซ์แม่เหล็กที่เกิดขึ้นในแกนเฟอร์ไรต์มีลักษณะเป็นวงบรรจบได้ ตัวอย่างขนาดของแกนเฟอร์ไรต์แบบต่างๆ แสดงไว้ที่รูปที่ 5.9

แกนแบบ POT นั้นจะใช้กับหม้อแปลงสวิตชิ่งไม่ต้องการกำลังสูง (ไม่เกิน 125 วัตต์) และในงานที่ต้องการสัญญาณรบกวน EMI / RFI ต่ำ เนื่องจากลักษณะรูปทรงของมันสามารถป้องกันการแพร่กระจายของสัญญาณรบกวนได้ดี แต่แกนแบบ POT มีช่องสำหรับให้ขดลวดออกมาภายนอกได้ค่อนข้างเล็กจึงเป็นอุปสรรคในการพันขดลวดทองแดงขนาดใหญ่เมื่อหม้อแปลงต้องการกำลังสูงจะเป็นแกนแบบ EI, EE, ETD เนื่องจากสามารถพันขดลวดรอบแกนบอบบิ้นได้สะดวก แกนในกลุ่มนี้จะมีขนาดต่างๆ ให้เลือกใช้ได้เป็นจำนวนมาก โดยสามารถให้กำลังงานได้ตั้งแต่ 5 วัตต์ ไปจนถึง 10 กิโลวัตต์ โดยอย่างไรก็ตามสัญญาณรบกวน EMI / RFI ที่เกิดขึ้นจะมีค่ามากกว่าแกนแบบ POT

เอกสารนี้เป็นเอกสารที่สงวนไว้สำหรับการใช้งานเพื่อการศึกษาเท่านั้น ไม่อนุญาตให้นำไปใช้ประโยชน์ด้านการค้า ไม่ว่าจะกรณีใดๆ ทั้งสิ้น อีกทั้งห้ามมิให้ตัดแปลงเนื้อหา และต้องอ้างอิงถึงเจ้าของเอกสารทุกครั้งที่มีการนำไปใช้

5.5.6.2 ลักษณะสมบัติของเนื้อสารที่ใช้ทำแกนเฟอร์ไรต์

ชนิดของเนื้อสารแกนเฟอร์ไรต์ที่แตกต่างกัน จะซึ่งให้คุณสมบัติทางแม่เหล็กของแกนเฟอร์ไรต์แตกต่างกันด้วยถึงแม้จะมีขนาดเท่ากันทุกประการก็ตาม ในแผ่นข้อมูลเนื้อสารที่ให้มากับแกนเฟอร์ไรต์นั้น จะต้องมียุทธศาสตร์คุณสมบัติเนื้อสารแสดงไว้เสมอ ข้อมูลสำคัญที่ควรจะทำความเข้าใจและศึกษาไว้ก็คือ เส้นโค้งฮิสเตอร์รีซิส (Hysteresis curve) และค่าการสูญเสียในแกนเฟอร์ไรต์ (Core Loss)

CORE TYPE	A_c (cm ²)	A_w (cm ²)	V_c (cm ³)	l_c (mm)
ETD 34	0.971	1.220	7.64	78.6
ETD 39	1.250	1.740	11.50	92.2
ETD 44	1.740	2.130	18.00	103.0
ETD 49	2.110	2.710	24.20	114.0

ETD

CORE TYPE	A_c (cm ²)	A_w (cm ²)	V_c (cm ³)	l_c (mm)
EE 20/20/5	0.31	0.35	1.34	43.0
EE 30/30/7	0.59	0.78	4.00	66.9
EE 42/42/15	1.82	1.78	17.6	97.0
EE 42/42/20	2.36	1.78	23.1	97.4
EE 42/54/20	2.36	2.40	28.8	122.0
EE 42/66/20	2.36	3.40	34.5	143.0
EE 55/55/21	3.54	2.50	43.7	123.0
EE 55/55/25	4.20	2.50	52.0	123.0
EE 65/66/27	5.32	3.93	78.2	147.0

EE

CORE TYPE	A_c (cm ²)	A_w (cm ²)	V_c (cm ³)	l_c (mm)
EI 19	0.24	0.517	0.950	39.6
EI 22/19	0.41	0.44	1.630	39.3
EI 25/19	0.42	0.819	2.02	48.6
EI 28/20	0.85	0.725	4.11	48.4
EI 30/26	1.11	0.791	6.45	58.1
EI 35/29	1.21	1.36	8.18	67.6
EI 40/35	1.48	1.08	11.3	76.9
EI 50/42	2.30	1.7	21.8	94.8
EI 60/44	2.48	2.94	27.2	109.7

EI

A_c = ขนาดพื้นที่หน้าตัดแกนเฟอร์ไรต์

A_w = ขนาดพื้นที่ช่องพันขดลวดของบอบบิ้น

V_c = ปริมาตรของแกนเฟอร์ไรต์

l_c = ระยะห่างทางเดินฟลักซ์แม่เหล็กในแกนเฟอร์ไรต์

รูปที่ 5.8 แสดงตัวอย่างขนาดของแกนเฟอร์ไรต์แบบ EE, EI และ ETD

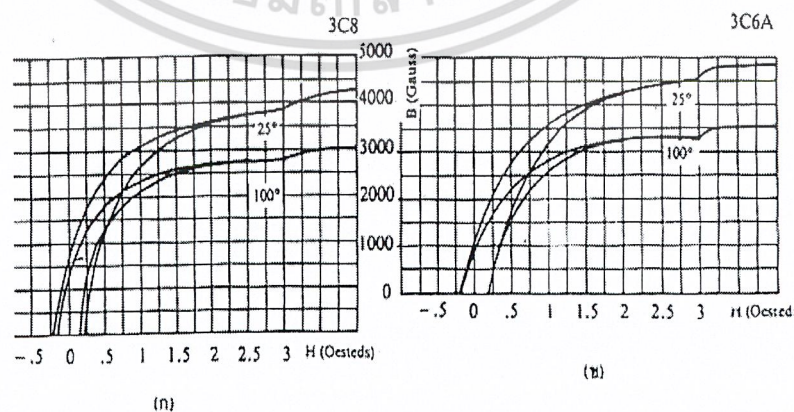
เอกสารนี้เป็นเอกสารที่สงวนไว้สำหรับการใช้งานเพื่อการศึกษาเท่านั้น ไม่อนุญาตให้นำไปใช้ประโยชน์ด้านการค้า ไม่ว่าจะกรณีใดๆ ทั้งสิ้น อีกทั้งห้ามมิให้ดัดแปลงเนื้อหา และต้องอ้างอิงถึงเจ้าของเอกสารทุกครั้งที่มีการนำไปใช้

แกนแบบ POT นั้นจะใช้กับหม้อแปลงสวิตชิงที่ไม่ต้องการกำลังสูง (ไม่เกิน 125 วัตต์) และในงานที่ต้องการสัญญาณรบกวน EMI /RFI ต่ำ เนื่องจากลักษณะรูปทรงของมันสามารถป้องกันการแพร่กระจายของสัญญาณรบกวนได้ดี แต่แกนบน POT มีช่องสำหรับให้ขดลวดลอดออกมาภายนอกได้ค่อนข้างเล็กน้อยจึงถือเป็นอุปสรรคในการพันลวดทองแดงขนาดใหญ่เมื่อหม้อแปลงต้องการกำลังสูง จะเป็นแกนแบบ EE, EI และ ETD เนื่องจากสามารถพันขดลวดรองแกนบอบขึ้นได้สะดวก แกนในกลุ่มนี้จะมีขนาดต่างๆ ให้เลือกใช้งานได้เป็นจำนวนมาก โดยสามารถให้กำลังงานได้ตั้งแต่ 5 วัตต์ไปจนถึง 10 กิโลวัตต์ อย่างไรก็ตาม สัญญาณรบกวน EMI /RFI ที่เกิดขึ้นจะมีค่ามากกว่าแกนแบบ POT ยังมีแกนเฟอร์ไรต์ในแบบอื่นๆ ที่สามารถนำมาใช้งานได้อีก เช่น แกนแบบ RM, PQ และ LP แต่ไม่ค่อยพบเห็นตามท้องตลาดทั่วไป และไม่ค่อยเป็นที่นิยมจึงจะไม่ขอกล่าวถึง

5.5.6.3 เส้นโค้งฮิสเตอร์รีซิส (Hysteresis Curve)

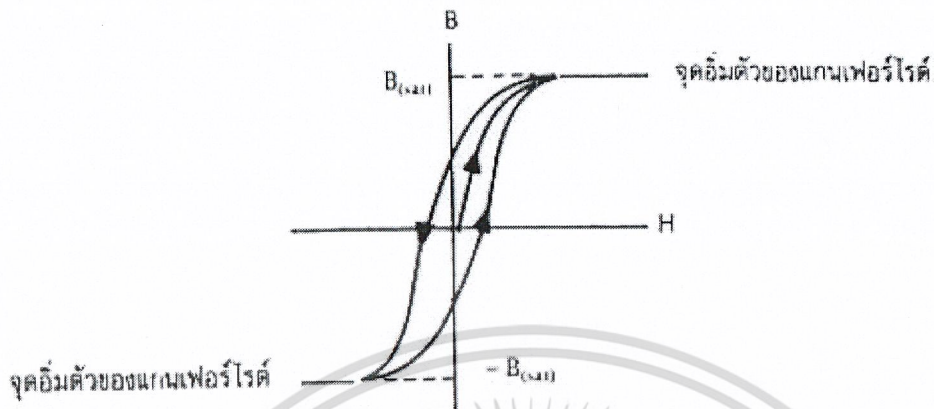
เส้นโค้งฮิสเตอร์รีซิส จะแสดงความสัมพันธ์ระหว่าง ค่าความหนาแน่นฟลักซ์แม่เหล็ก (B) ที่เกิดขึ้นในแกนเฟอร์ไรต์ กับความเข้มของสนามแม่เหล็ก (H) ที่เกิดจากการเหนี่ยวนำของขดลวดที่พันบนแกนในรูปที่ 5.9(ก) และ 5.9(ข) ลักษณะของเส้นโค้งฮิสเตอร์รีซิสของเนื้อสารชนิด 3C8 และ 3C6A ตามลำดับ ซึ่งผลิตโดยผู้ผลิตคือ FERROXCUBE จากรูปจะเห็นว่า ค่าความหนาแน่นฟลักซ์แม่เหล็ก B มีค่าเพิ่มขึ้นน้อยมาก แม้ว่าจะมีการเพิ่มขึ้นของความเข้มสนามแม่เหล็ก H ก็ตามจากจุดดังกล่าวเราจะเรียกว่าแกนเริ่มมีการอิ่มตัวของฟลักซ์แม่เหล็ก (Saturation)

โดยปกติผู้ผลิตจะแสดงกราฟของเส้นโค้งฮิสเตอร์รีซิสเพียงครั้งเดียว เนื่องจากอีกครั้งหนึ่งของเส้นโค้งฮิสเตอร์รีซิสจะมีลักษณะกลับทิศกันเท่านั้น ดังแสดงในรูปที่ 5.9



รูปที่ 5.9 แสดงเส้นโค้งฮิสเตอร์รีซิสของแกนเฟอร์ไรต์ที่เป็นเนื้อสารชนิด 3 C8 (ก) และ 3 C6A (ข)

เอกสารนี้เป็นเอกสารที่สงวนไว้สำหรับการใช้งานเพื่อการศึกษาเท่านั้น ไม่อนุญาตให้นำไปใช้ประโยชน์ด้านการค้า ไม่ว่าจะกรณีใดๆ ทั้งสิ้น อีกทั้งห้ามมิให้ตัดแปลงเนื้อหา และต้องอ้างอิงถึงเจ้าของเอกสารทุกครั้งที่มีการนำไปใช้



รูปที่ 5.10 แสดงลักษณะที่สมบูรณ์ ของเส้น โค้งฮิสเตอร์ซิสซึ่งจะมีลักษณะสมมาตรของ กราฟซีกบนและซีกล่าง ปกติผู้ผลิตจะให้กราฟในซีกบนมาเท่านั้น ดังในรูปที่ 5.9

การใช้งานแกนเฟอร์ไรต์ในหม้อแปลงสวิตช์ซึ่งจะต้องระวังไม่ทำให้แกนเฟอร์ไรต์ เกิดการ อิ่มตัวขึ้น ได้ตั้งนั้น โดยทั่วไปในการออกแบบตัวหม้อแปลงสวิตช์จึงควรกำหนด ค่าความหนา แน่นฟลักซ์แม่เหล็ก B ที่ยอมให้เกิดขึ้นได้ในแกนขณะทำงาน มีค่าไม่เกินครึ่งหนึ่งของค่าความหนา แน่นฟลักซ์แม่เหล็กสูงสุดก่อนอิ่มตัวของแกนเฟอร์ไรต์เพื่อความปลอดภัย

5.5.6.4 การกำหนดค่าความหนาแน่นฟลักซ์แม่เหล็กสูงสุดในแกนหม้อแปลง

อย่างไรก็ตาม หากค่าความหนาแน่นฟลักซ์แม่เหล็กมีค่าเพิ่มขึ้นจนถึงจุดอิ่มตัวจะทำให้แรง ดันตกคร่อมขดไพรมารีมีค่าลดลงอย่างรวดเร็ว และทำให้แรงดันอินพุตจะไปตกคร่อมที่เพาเวอร์ ทรานซิสเตอร์ขณะกำลังนำกระแสสูงๆ แทนทำให้เพาเวอร์ทรานซิสเตอร์พังเสียหายได้ และความ หนาแน่นฟลักซ์แม่เหล็กที่มีค่าสูง จะทำให้เกิดการสูญเสียภายในแกนสูงอีกด้วย ดังนั้นการกำหนด ค่าความหนาแน่นฟลักซ์แม่เหล็กสูงสุดที่ยอมให้เกิดขึ้นในแกนเฟอร์ไรต์ของหม้อแปลงขณะทำงาน จึงมีข้อที่ควรคำนึงถึง 2 ประการคือ

1. แกนเฟอร์ไรต์ต้องไม่เกิดอิ่มตัวในขณะทำงาน
2. ที่ค่าความหนาแน่นฟลักซ์แม่เหล็กสูงสุดที่เกิดขึ้นในแกนขณะทำงานจะต้องเกิดการสูญเสียในแกนเฟอร์ไรต์ต่ำสุด

เอกสารนี้เป็นเอกสารที่สงวนไว้สำหรับการใช้งานเพื่อการศึกษาเท่านั้น ไม่อนุญาตให้นำไปใช้ประโยชน์ด้านการค้า ไม่ว่ากรณีใดๆ ทั้งสิ้น อีกทั้งห้ามมิให้ดัดแปลงเนื้อหา และต้องอ้างอิงถึงเจ้าของเอกสารทุกครั้งที่มีการนำไปใช้

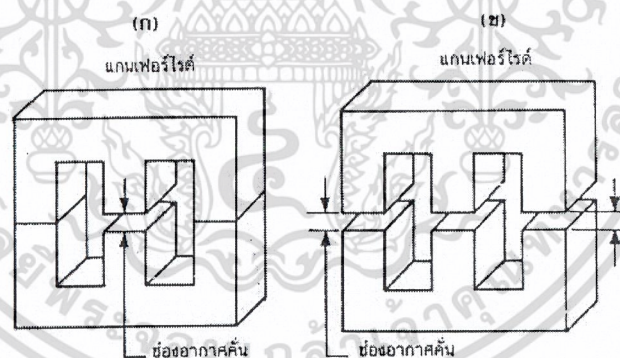
5.5.6.5 การเลือกขนาดแกนเฟอร์ไรต์ที่เหมาะสม

การใช้แกนเฟอร์ไรต์ที่มีขนาดใหญ่เกินไปสำหรับหม้อแปลงสวิตชิง จะเป็นการสิ้นเปลืองค่าใช้จ่ายโดยไม่จำเป็น ส่วนการใช้แกนเฟอร์ไรต์ที่มีขนาดเล็กเกินไป ขดลวดและแกนเฟอร์ไรต์จะร้อน กำลังงานสูงสุดที่เหมาะสมสำหรับแกนเฟอร์ไรต์ขนาดต่างๆ พิจารณาได้จากขนาดหน้าตัดของแกน (Ac) และขนาดช่องสำหรับพันขดลวดของบอบบิ้น

5.5.6.6 ช่องอากาศคั่นทางเดินแม่เหล็กในแกนเฟอร์ไรต์

การกำหนดช่องอากาศคั่นทางเดินแม่เหล็ก (Air Gap) ในแกนเฟอร์ไรต์ เป็นวิธีการอย่างหนึ่งที่ใช้ป้องกันการอิ่มตัวของแกนเฟอร์ไรต์ และช่วยให้การสะสมพลังงานของขดลวดในหม้อแปลงสวิตชิงมีค่ามากขึ้นได้ด้วย อย่างไรก็ตาม ช่องอากาศคั่นในแกนเฟอร์ไรต์จะทำให้เกิดการแพร่กระจายสัญญาณรบกวน EMI ออกมา และอาจรบกวนอุปกรณ์ภายนอกได้เช่นกัน

สำหรับแกนเฟอร์ไรต์แบบ EE, EI, ETD หรือแบบ POT สามารถกำหนดลักษณะของช่องอากาศคั่นในแกนได้ 2 ลักษณะ ดังรูปที่ 5.12 (ก) และ (ข) คือ การกำหนดช่องอากาศคั่นที่แกนกลางเดียวกัน และการคั่นแกนด้วยช่องอากาศระหว่างคู่ประกบ



รูปที่ 5.11 (ก) แสดงการกำหนดช่องอากาศคั่น l_g ที่แกนกลาง (ข) การคั่นช่องอากาศ l_g ระหว่างคู่ประกบของแกนเฟอร์ไรต์

การคั่นแกนด้วยช่องอากาศระหว่างคู่ประกบสามารถทำได้ง่ายกว่าการคั่นช่องอากาศที่แกนกลางซึ่งทำได้โดยการใช้แผ่นฉนวนที่มีความหมายเป็นครึ่งหนึ่งของระยะช่องอากาศคั่นที่ต้องการ นำมาคั่นระหว่างแกนนอนของคู่ประกบ ส่วนการกำหนดช่องอากาศคั่นที่แกนกลาง ต้องสั่งโดยตรงจากผู้ผลิตแกนเฟอร์ไรต์หรือซัดแกนกลางออกมา เพื่อให้ได้ระยะช่องอากาศคั่นตามต้องการ

เอกสารนี้เป็นเอกสารที่สงวนไว้สำหรับการใช้งานเพื่อการศึกษาเท่านั้น ไม่อนุญาตให้นำไปใช้ประโยชน์ด้านการค้า ไม่ว่ากรณีใดๆ ทั้งสิ้น อีกทั้งห้ามมิให้ตัดแปลงเนื้อหา และต้องอ้างอิงถึงเจ้าของเอกสารทุกครั้งที่มีการนำไปใช้

มีข้อสังเกตคือ การค้นช่องอากาศระหว่างคู่ประกบ ความหนาของแผ่นฉนวนกันที่ไ้จะมีค่าเพียงครึ่งหนึ่งของระยะช่องอากาศคันที่ต้องการเท่านั้น เนื่องจากช่องอากาศที่เกิดขึ้นจะกันทางเดินฟลักซ์แม่เหล็กถึงสองครั้งในแกน ดังนั้นระยะช่องว่างอากาศคันที่ได้จึงเป็นผลรวมของระยะช่องอากาศที่เกิดขึ้นทั้งหมด



เอกสารนี้เป็นเอกสารที่สงวนไว้สำหรับการใช้งานเพื่อการศึกษาเท่านั้น ไม่อนุญาตให้นำไปใช้ประโยชน์ด้านการค้าไม่ว่ากรณีใดๆ ทั้งสิ้น อีกทั้งห้ามมิให้ดัดแปลงเนื้อหา และต้องอ้างอิงถึงเจ้าของเอกสารทุกครั้งที่มีการนำไปใช้

บทที่ 6

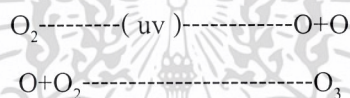
การเกิดก๊าซโอโซนเบื้องต้น

การกำเนิดโอโซน (Ozone Generation)

6.1 แหล่งที่มา

6.2.1 เกิดตามธรรมชาติ

เกิดจากการรวมตัวกันของของโมเลกุลของก๊าซออกซิเจน โดยมีรังสีอัลตราไวโอเล็ตที่มีความยาวคลื่นน้อยกว่า 242 นาโนเมตร เป็นตัวเร่งปฏิกิริยา ทำให้เกิดพลังงานที่จะดึงเอาโมเลกุลของก๊าซออกซิเจนให้แตกตัวเป็นอะตอมของออกซิเจน 2 อะตอม และเมื่ออะตอมของออกซิเจน 1 อะตอมพบกับโมเลกุลของก๊าซออกซิเจนจะเกิดการรวมตัวดังสมการ



ก๊าซโอโซนที่เกิดขึ้นนี้สามารถดูดกลืนรังสีอัลตราไวโอเล็ต แล้วแตกตัวกลายเป็นก๊าซออกซิเจนและรวมตัวกับอะตอมของออกซิเจนกลายเป็นก๊าซโอโซนได้อีก โดยมีรังสีอัลตราไวโอเล็ตเป็นตัวเร่งปฏิกิริยาซึ่งจะเกิดเช่นนี้ไปเรื่อยๆ โดยไม่มีที่สิ้นสุดแบบปฏิกิริยาลูกโซ่ก๊าซโอโซนยังสามารถเกิดได้เองในอากาศจากพายุฝนฟ้าคะนองหรือจากฟ้าแลบได้อีกด้วยกระบวนการเกิดปฏิกิริยาดังกล่าวนี้เรียกว่าขบวนการโฟโตเคมีคอล (Photochemical process) ซึ่งเป็นปฏิกิริยาที่ทำให้เกิดก๊าซโอโซนและสลายตัวพร้อมกัน และในที่สุดปฏิกิริยาของก๊าซโอโซนก็จะอยู่ในสภาวะสมดุลโดยอัตราการเกิดและการสลายตัวเท่ากัน

6.1.2 เกิดจากการกระทำของมนุษย์

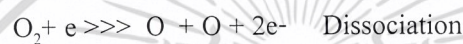
ก๊าซโอโซนถูกผลิตขึ้นมา เพื่อใช้ประโยชน์ในด้านต่างๆ เช่น การกำจัดน้ำเสียและใช้ฆ่าเชื้อ การเตรียมก๊าซโอโซนที่สะดวกที่สุดจะใช้ไฟฟ้า silent electrical discharge กระทำกับอากาศหรือก๊าซออกซิเจนซึ่งจะมีก๊าซออกซิเจนบางส่วนเท่านั้นที่กลายเป็นโอโซน ถ้าใช้อากาศจะเรียกก๊าซผสมนี้ว่า โอโซนในแอร์ (Ozonised air) ถ้าใช้ก๊าซออกซิเจนก๊าซโอโซนที่เกิดขึ้นจะปะปนอยู่กับก๊าซออกซิเจนที่เหลือเรียกว่า Ozonised oxygen เครื่องมือที่ใช้เตรียมก๊าซโอโซนด้วยวิธีนี้เรียกว่า โอโซนในเซอร์ (Ozonizer)

6.2 การสังเคราะห์ก๊าซโอโซน

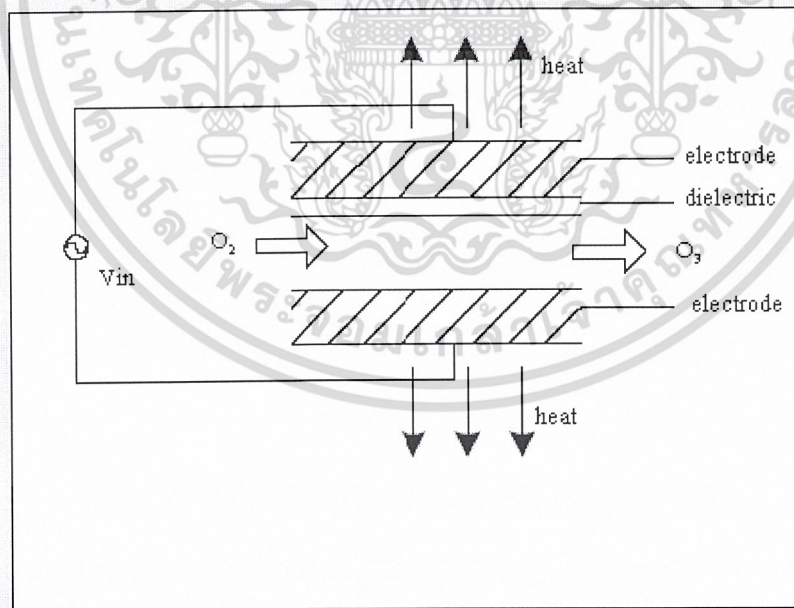
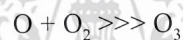
6.2.1 การสังเคราะห์ก๊าซโอโซนโดยใช้สนามไฟฟ้าของหลอดโคโรนาก๊าซโอโซน

เกิดจากปรากฏการณ์โคโรนาก๊าซออกซิเจน โดยการป้อนก๊าซออกซิเจนผ่านเข้าไปในสนามไฟฟ้าแรงสูง (High Voltage) ทำให้โมเลกุลของออกซิเจนแตกตัวเนื่องจากความเครียดของสนามไฟฟ้าแรงสูงกลายเป็นออกซิเจนอะตอมเดี่ยว และปล่อยออกซิเจนออกมา ก๊าซออกซิเจนจะถูกเปลี่ยนเป็นก๊าซโอโซนตามขั้นตอนต่อไปนี้คือ

ขั้นที่ 1 การทำให้โมเลกุลของออกซิเจนแตกตัวเป็นออกซิเจนอะตอมเดี่ยว



ขั้นที่ 2 การรวมตัวของอะตอมของออกซิเจนเป็นโมเลกุลโอโซน



รูปที่ 6.1 แสดงหลักการทำงานของเครื่องสังเคราะห์ก๊าซโอโซนที่ใช้ปรากฏการณ์โคโรนาก๊าซ ทำให้โมเลกุลของออกซิเจนแตกตัว และรวมตัวใหม่ได้เป็น โมเลกุลก๊าซ โอโซน

เอกสารนี้เป็นเอกสารที่สงวนไว้สำหรับการใช้งานเพื่อการศึกษาเท่านั้น ไม่อนุญาตให้นำไปใช้ประโยชน์ด้านการค้า ไม่ว่ากรณีใดๆ ทั้งสิ้น อีกทั้งห้ามมิให้ตัดแปลงเนื้อหา และต้องอ้างอิงถึงเจ้าของเอกสารทุกครั้งที่มีการนำไปใช้

แรงดันไฟฟ้าที่ใช้มีความสำคัญในการสังเคราะห์โอโซน โดยแรงดันไฟฟ้าที่ใช้จะมีความสัมพันธ์กับระยะห่างที่ขั้วของอิเล็กโทรด และความดันตามสมการที่ 6.1

$$V = K_1 PG \quad \dots\dots\dots(6.1)$$

เมื่อ

V = แรงดันไฟฟ้า

P = ความดันของอากาศที่ผ่านช่องระหว่างอิเล็กโทรดกับไดอิเล็กตริก

G = ระยะระหว่างอิเล็กโทรดกับไดอิเล็กตริก

K_1 = ค่าคงที่

ในทำนองเดียวกัน ความสามารถในการสังเคราะห์ก๊าซโอโซนจะเป็นสัดส่วนโดยตรงกับค่าความถี่และแรงดันกำลังสอง แต่จะแปรผกผันกับความหนาของไดอิเล็กตริก ดังสมการที่ 6.2

$$\text{Yield} = k_2 (feV)^2 / d \quad \dots\dots\dots(6.2)$$

เมื่อ

f = ค่าความถี่

e = ค่าคงที่ไดอิเล็กตริก

d = ความหนาของไดอิเล็กตริก

k_2 = ค่าคงที่

จากความสัมพันธ์ดังกล่าวพบว่า ปัญหาในการออกแบบเครื่องสังเคราะห์ก๊าซโอโซนคือต้องพยายามทำให้ผนังไดอิเล็กตริกบางที่สุดเท่าที่จะทำได้ และต้องสามารถทนแรงดันได้สูง ในขณะเดียวกันเพื่อให้ได้ก๊าซโอโซนปริมาณมากๆ จะต้องเพิ่มแรงดันไฟฟ้าให้สูงด้วย เพราะยิ่งแรงดันไฟฟ้ามีค่าสูงยิ่งทำให้ความสามารถในกาสังเคราะห์สูงตามไปด้วย แต่ถ้าแรงดันสูง สารไดอิเล็กตริกที่ใช้จะเสียหายได้ง่ายขึ้น ในปัจจุบันนิยมเพิ่มปริมาณก๊าซโอโซนที่สังเคราะห์โดยเพิ่มความถี่ของกระแสที่ใช้ เพิ่มคุณภาพของสารไดอิเล็กตริกให้ดีขึ้น และให้สามารถระบายความร้อนออกจากเซลล์สังเคราะห์ได้ดียิ่งขึ้น ซึ่งมีผลทำให้ปริมาณก๊าซโอโซนที่สังเคราะห์ได้มีปริมาณเพิ่มขึ้นด้วย

เอกสารนี้เป็นเอกสารที่สงวนไว้สำหรับการใช้งานเพื่อการศึกษาเท่านั้น ไม่อนุญาตให้นำไปใช้ประโยชน์ด้านการค้า ไม่ว่ากรณีใดๆ ทั้งสิ้น อีกทั้งห้ามมิให้ดัดแปลงเนื้อหา และต้องอ้างอิงถึงเจ้าของเอกสารทุกครั้งที่มีการนำไปใช้

บทที่ 7

หลักการทางานและผลการทดลอง

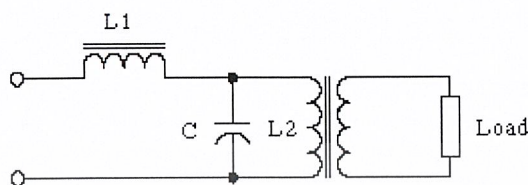
7.1 หลักการทางาน

วงจรแหล่งจ่ายไฟแบบสวิตชิ่งที่สามารถปรับแรงดันเอาต์พุตได้ มีหลักการทางาน โดยเริ่มต้นจะรับแรงดันไฟสลับ 220 โวลต์ ความถี่ 50 เฮิร์ต มาทำการเร็กตีไฟต์ จะทำให้ได้แรงไฟตรงค่าประมาณ 310 โวลต์ ผ่านไปยัง C ที่ทำหน้าที่ปรับระดับแรงดันให้เรียบ และยังทำหน้าที่แบ่งแรงดันอีกด้วยเนื่องจากค่า C มีค่าเท่ากัน ตัวต้านทานที่ต่อขนานกับ C จะทำหน้าที่แบ่งแรงดันทางด้านอินพุตให้เหลือครึ่งหนึ่งคือประมาณ 155 โวลต์ เพื่อตกร่วมมอสเฟต โดยที่มอสเฟตจะสลับกันทางานทีละตัวตามลักษณะของวงจรฮาร์ฟบริดจ์ และในช่วงที่มอสเฟตทางานจะถูกควบคุมโดยพัลส์ที่ได้จากไอซี TL494

ไอซี TL494 จะเป็นตัวควบคุมการทางาน โดยจะผลิตสัญญาณพัลส์ไปควบคุมให้มอสเฟตในวงจรคอนเวอร์เตอร์สลับกันนำกระแส โดยที่ไอซี TL 494 จะเป็นวงจร PWM ที่ผลิตความถี่ออกมา 8 และ 11 ซึ่งจะมีเฟสต่างกัน 180 องศา โดยเราสามารถปรับความถี่ที่ผลิตจาก R ที่ขา 6 และ C ที่ขา 5 และสัญญาณที่ผลิตออกมาจะต้องทำการเผื่อค่าของ DEAD TIME เพื่อเวลาส่วนนี้ไว้เพราะคุณสมบัติของมอสเฟตในเรื่องการหน่วงสัญญาณ ถ้าเราไม่เผื่อไว้อาจจะทำให้มอสเฟตเสียหายได้ เราสามารถกำหนดค่า DEAD TIME ได้ที่ขา 4 สัญญาณเอาต์พุตที่ขา 8 และขา 11 ของไอซี TL 494 จะถูกส่งไปยังไอซีที่ทำหน้าที่ขับมอสเฟต โดยมอสเฟตที่ถูกขับจะต่อกันในลักษณะคอมพลิเมนต์ารี ซึ่งจะทำหน้าที่เป็นสวิตช์นั่นเอง จากนั้นสัญญาณจะถูกส่งไปยังหม้อแปลงเพื่อคัปปลิ่งสัญญาณส่งต่อไปยังมอสเฟต โดยสัญญาณจากหม้อแปลงจะมีหน้าที่ไปขับเพาเวอร์มอสเฟต ที่ขาเกต การที่จะให้มอสเฟตทางานสลับกันทีละตัวก็สามารถทำได้โดยการพันหม้อแปลงคัปปลิ่งจำนวน 2 ขดซึ่งแต่ละขดจะต้องพันให้เฟสต่างกัน 180 องศา

ส่วนทางด้านเอาต์พุตจะต้องวงจรเรโซแนนซ์ที่ขาของมอสเฟตที่ถูกควบคุมการสวิตชิ่งที่ขาเกตมาแล้วจะทำให้แรงดันส่วนนี้เป็นสัญญาณรูปสี่เหลี่ยม ในการนำวงจรเรโซแนนซ์มาต่อก็คือเพื่อต้องการปรับเปลี่ยนให้เป็นสัญญาณรูปซายน์ โดยวงจรเรโซแนนซ์จะเป็นลักษณะของวงจรแบนด์พาส ถ้าความถี่ที่รับเข้ามาไม่ใช่ว่าความถี่เดียวกันกับความถี่เรโซแนนซ์ที่เราตั้งไว้จะทำให้แรงดันมีขนาดลดลง แต่ถ้าเราตั้งความถี่ที่ควบคุมวงจรเป็นความถี่เดียวกับความถี่เรโซแนนซ์ก็จะแรงดันสูงสุด จากการที่เราได้สัญญาณที่ผ่านวงจรเรโซแนนซ์แล้วซึ่งเป็นสัญญาณรูปซายน์จะถูกส่งผ่านมาโดยหม้อแปลง L2 ตามรูปที่ 7.1 ซึ่งเป็นรูปแสดงวงจรเรโซแนนซ์ภาคเอาต์พุต และถ้าเราต้องการแรงดันให้มีขนาดเพิ่มหรือลดเราสามารถพันจำนวนหม้อแปลงให้มีขนาดมากหรือน้อยตามต้องการ

เนื่องจากสัญญาณที่ผ่านหม้อแปลงจะเป็นสัญญาณชานซ์ เราสามารถนำไปใช้งานได้ แต่ถ้าต้องการไฟกระแสตรงก็สามารถทำได้โดยการนำสัญญาณไปผ่านเรกติไฟต์



รูปที่ 7.1 วงจรเรโซแนนซ์ภาคเอาต์พุต

7.2 หลักการออกแบบ

7.2.1 วงจรคอนเวอร์เตอร์

วงจรคอนเวอร์เตอร์ที่ใช้เป็นแบบฮาร์ฟบริดจ์คอนเวอร์เตอร์ การทำงานของวงจรกำหนดจากค่าตัวเก็บประจุ C1 และ C2 ซึ่งจะกำหนดให้มีค่าเท่ากันต่ออนุกรมกันอยู่ทางด้านอินพุต แรงดันตกคร่อม C1 และ C2 จึงมีค่าเท่ากับครึ่งหนึ่งของแรงดันอินพุต เพาเวอร์มอสเฟต จะสลับกันทำงานตัวละครึ่งคาบเวลาจากพัลส์ที่ได้จากวงจรควบคุม ซึ่งจะทำให้ได้แรงดันไฟสูง ความถี่สูงตามต้องการเพื่อส่งไปยังภาคเอาต์พุตเรโซแนนซ์ต่อไป

7.2.2 วงจรสร้างและควบคุมความกว้างพัลส์

ไอซี TL 494 ทำหน้าที่หลักในการสร้างพัลส์ไปควบคุมคอนเวอร์เตอร์ ซึ่งความถี่ควบคุมที่ออกจากขา 6 สามารถกำหนดคาบเวลาการทำงานของพัลส์ได้จากค่า R_T และ C_T คาบเวลาการทำงานที่ออกจากขา 5 และขา 6 ของไอซี TL 494 กำหนดได้จากสมการที่ 7.1

$$T = (R_T C_T) / 1.1 \quad \dots\dots\dots(7.1)$$

การกำหนดค่าเพื่อเวลา (DEAD TIME) ของ ไอซี TL 494 สามารถให้ผู้ใช้งานกำหนด ค่าเพื่อเวลาของวงจรได้เองด้วยการต่อแรงดันระหว่าง 0 – 3.3 โวลต์ ที่ขา 4 ของไอซี TL 494

7.2.3 วงจรเอาต์พุตเรโซแนนซ์

วงจรเอาต์พุตเรโซแนนซ์ที่ใช้ในโครงงานนี้เป็นการต่อ LC แบบผสมกันดังรูป 7.1 ซึ่งการต่อแบบนี้จะส่งผลให้สามารถควบคุมแรงดันเอาต์พุตได้จากความถี่ที่ป้อนให้กับส่วนของวงจรเอาต์พุตเรโซแนนซ์ ซึ่งความถี่ที่พอจะทำให้ได้แรงดันเอาต์พุตสูงสุด เราสามารถคำนวณความถี่ที่ออฟนั้จากสมการดังที่ 7.2

เอกสารนี้เป็นเอกสารที่สงวนไว้สำหรับการใช้งานเพื่อการศึกษาเท่านั้น ไม่อนุญาตให้นำไปใช้ประโยชน์ด้านการค้า ไม่ว่ากรณีใดๆ ทั้งสิ้น อีกทั้งห้ามมิให้ดัดแปลงเนื้อหา และต้องอ้างอิงถึงเจ้าของเอกสารทุกครั้งที่มีการนำไปใช้

$$\omega = \sqrt{\frac{L_1 + L_2}{L_1 L_2 C_1}} \quad \dots\dots\dots(7.2)$$

โดยสมการที่ 7.2 สามารถพิสูจน์ที่มาได้ดังนี้

พิจารณารูปที่ 7.1 เฉพาะฝั่งไพรมารี โดยเอาต์พุตจะตกคร่อม L_2 ใส่อินพุตให้วงจร แล้วแปลงพารามิเตอร์ทุกตัวให้อยู่ใน S – domain จากนั้นทำการหาทรานเฟอร์ฟังก์ชันจะได้สมการดังนี้

$$\begin{aligned} \frac{Vo(s)}{Vi(s)} &= \frac{\left(\frac{1}{SC} // SL_2\right)}{\left(\frac{1}{SC} // SL_2\right) + SL_1} \\ &= \frac{\left(\frac{SL_2}{SC}\right)}{\left(\frac{1}{SC} + SL_2\right)} / \left(\frac{SL_2}{SC} + SL_1\right) \\ &= \frac{\frac{L_2}{C}}{L_1 L_2 S^2 + \frac{S(L_1 + L_2)}{SC}} \\ &= \frac{1}{S^2 + \frac{L_1 + L_2}{L_1 L_2 C}} \end{aligned} \quad \dots\dots\dots(7.3)$$

จากสมการรูปแบบของวงจร BPF 2nd

$$\frac{Vo(s)}{Vi(s)} = \frac{K}{S^2 + \omega_0^2} \quad \dots\dots\dots(7.4)$$

เปรียบเทียบสมการที่ 7.3 และ 7.4 จะได้ว่า

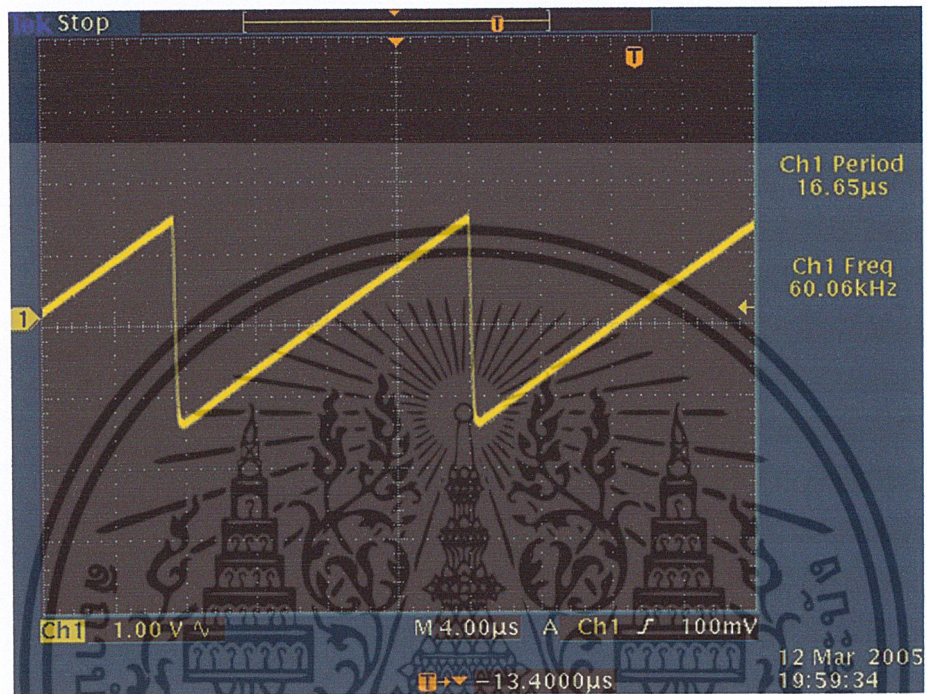
$$\omega_0^2 = \frac{L_1 + L_2}{L_1 L_2 C}$$

ซึ่งก็คือสมการที่ 7.2 นั่นเอง

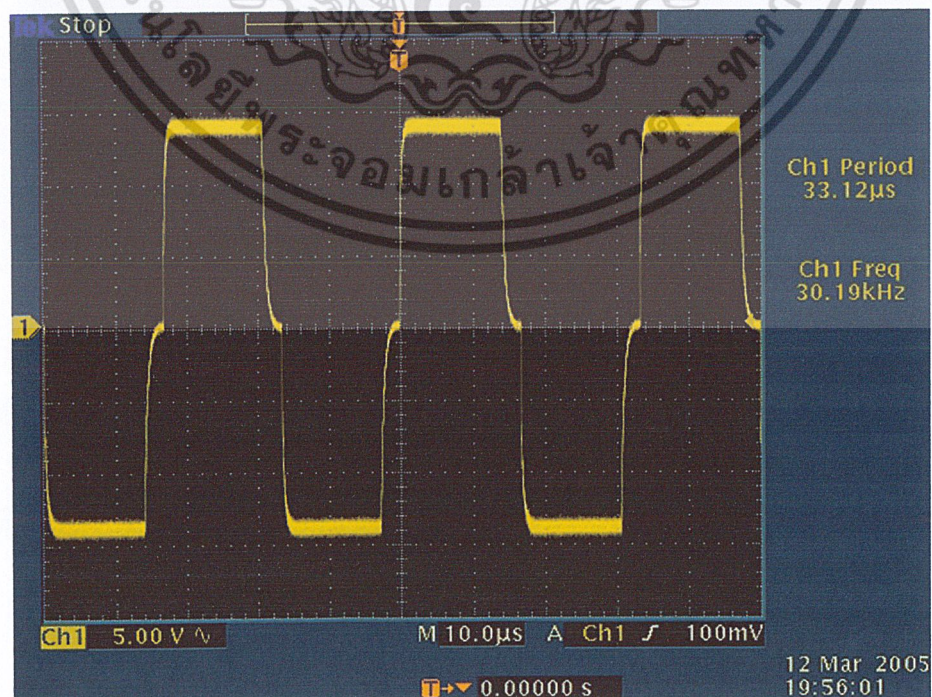
เอกสารนี้เป็นเอกสารที่สงวนไว้สำหรับการใช้งานเพื่อการศึกษาเท่านั้น ไม่อนุญาตให้นำไปใช้ประโยชน์ด้านการค้า
ไม่ว่ากรณีใดๆ ทั้งสิ้น อีกทั้งห้ามมิให้ดัดแปลงเนื้อหา และต้องอ้างอิงถึงเจ้าของเอกสารทุกครั้งที่มีการนำไปใช้

7.3 ผลการทดลอง

7.3.1 วัดสัญญาณที่ขา 5 ของ IC TL494

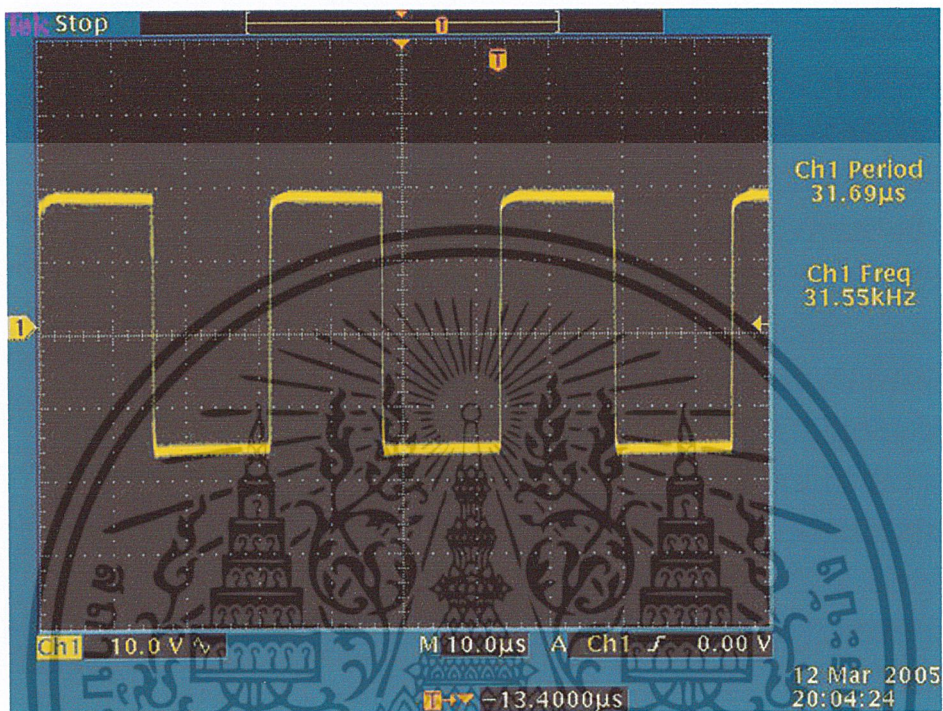


7.3.2 ทำการวัดสัญญาณคร่อมระหว่างขา 8 และขา 11 ของ IC TL494



เอกสารนี้เป็นเอกสารที่สงวนไว้สำหรับการใช้งานเพื่อการศึกษาเท่านั้น ไม่อนุญาตให้นำไปใช้ประโยชน์ด้านการค้า ไม่ว่าจะกรณีใดๆ ทั้งสิ้น อีกทั้งห้ามมิให้ดัดแปลงเนื้อหา และต้องอ้างอิงถึงเจ้าของเอกสารทุกครั้งที่มีการนำไปใช้

7.3.3 วัดสัญญาณที่ Output ของคอนเวอร์เตอร์



7.3.4 ผลการทดลองโดยทดสอบกับโหลดความต้านทาน

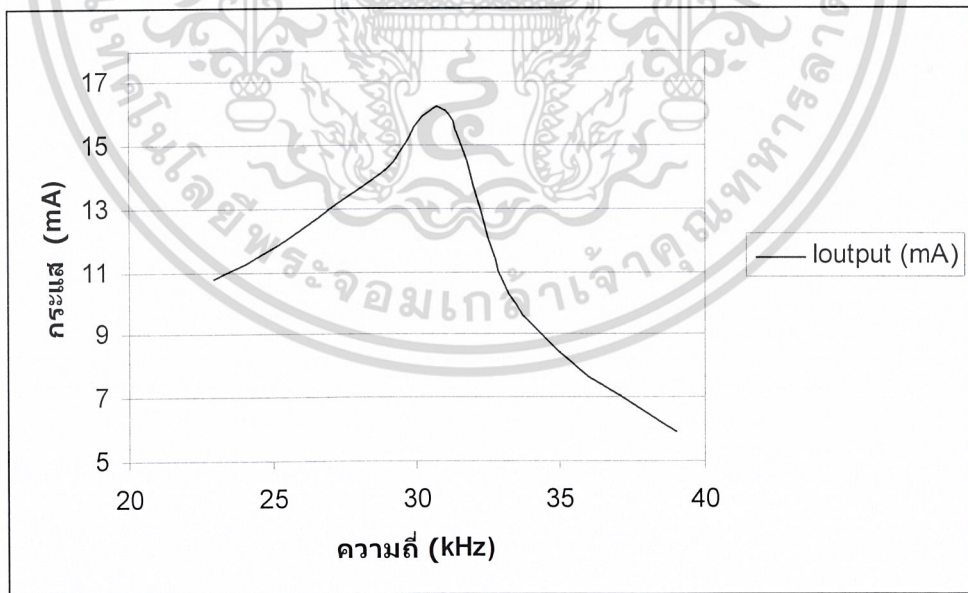
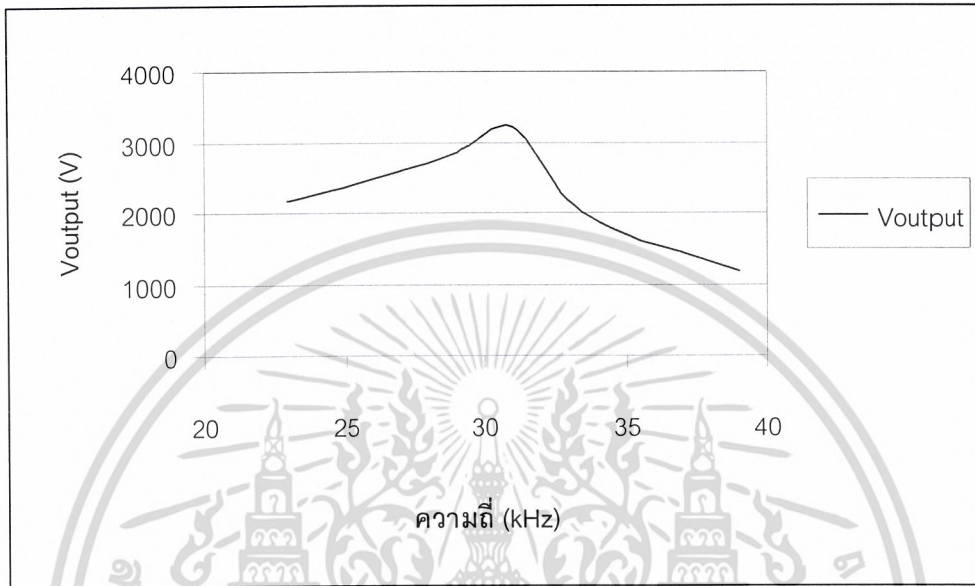
ตารางที่ 7.1 ตารางผลการทดลองเมื่อใช้หม้อแปลงแกนเดี่ยว กับ โหลดความต้านทาน 200 k Ω

ความถี่ (KHz)	Voutput (V)	Ioutput (mA)	Poutput (W)
39	1178.00	5.89	6.94
37	1423.00	7.11	10.12
35	1689.00	8.45	14.27
33	2156.00	10.78	23.24
31	3224.23	16.12	51.97
29	2846.21	14.23	40.50
27	2601.00	13.00	33.81
25	2357.00	11.76	27.72
23	2156.00	10.78	23.24

เอกสารนี้เป็นเอกสารที่สงวนไว้สำหรับการใช้งานเพื่อการศึกษาเท่านั้น ไม่อนุญาตให้นำไปใช้ประโยชน์ด้านการค้า
ไม่ว่ากรณีใดๆ ทั้งสิ้น อีกทั้งห้ามมิให้ดัดแปลงเนื้อหา และต้องอ้างอิงถึงเจ้าของเอกสารทุกครั้งที่มีการนำไปใช้

กราฟแสดงค่าของเอาต์พุตเมื่อปรับเปลี่ยนความถี่ขงะทดสอบกับโหลดความต้านทาน

200 k Ω

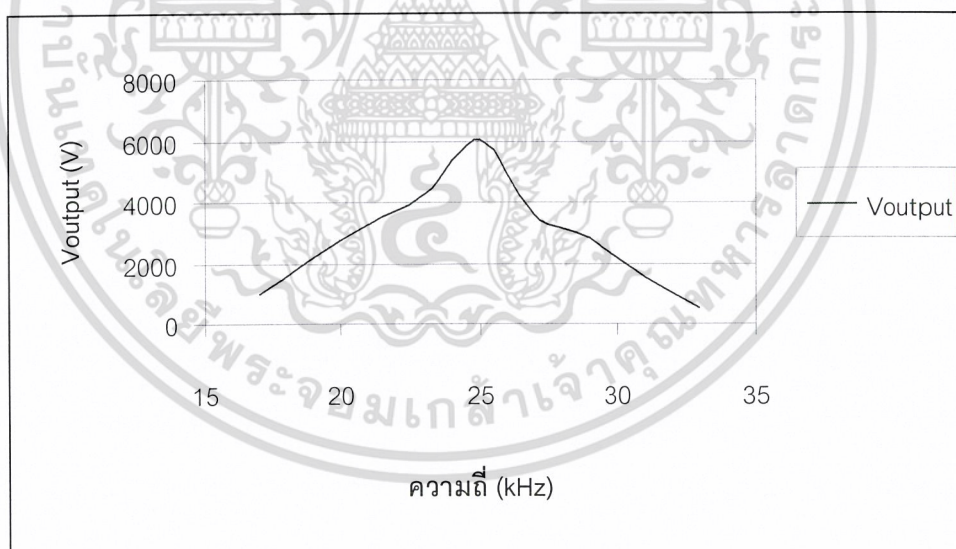


เอกสารนี้เป็นเอกสารที่สงวนไว้สำหรับการใช้งานเพื่อการศึกษาเท่านั้น ไม่อนุญาตให้นำไปใช้ประโยชน์ด้านการค้า
ไม่ว่ากรณีใดๆ ทั้งสิ้น อีกทั้งห้ามมิให้ดัดแปลงเนื้อหา และต้องอ้างอิงถึงเจ้าของเอกสารทุกครั้งที่มีการนำไปใช้

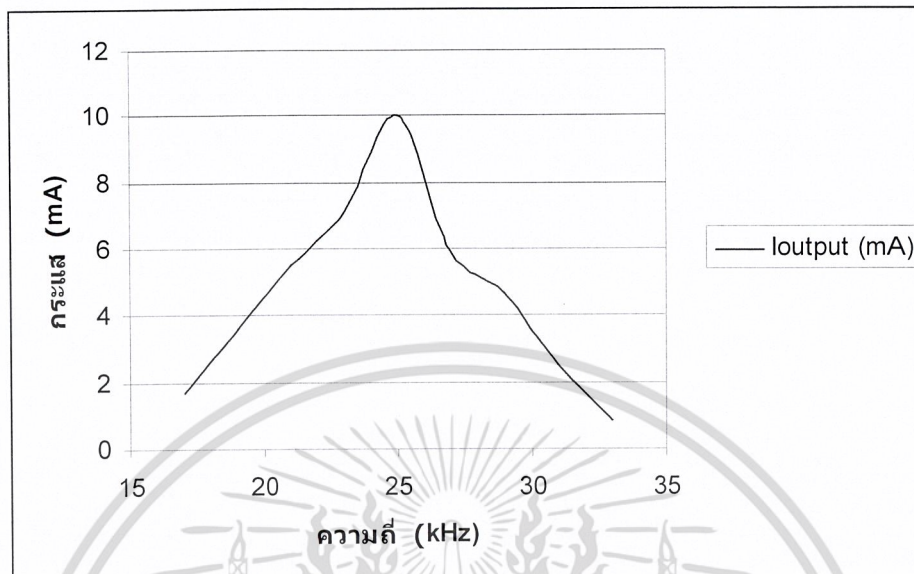
ตารางที่ 7.2 ตารางผลการทดลองเมื่อใช้หม้อแปลงแกนเดี่ยวย่ออนุกรม 2 ตัว กับ โหลดความต้านทาน 600 k Ω

ความถี่ (KHz)	Voutput (V)	Ioutput (mA)	Poutput (W)
33	500	0.83	0.41
31	1500	2.50	3.75
29	2800	4.67	13.08
27	3580	5.97	21.37
25	6014	10.02	61.52
23	4250	7.08	30.09
21	3300	5.50	18.15
19	2150	3.60	7.74
17	1000	1.67	1.67

กราฟแสดงค่าของเอาต์พุตเมื่อปรับเปลี่ยนความถี่ขณะทดสอบกับ โหลดความต้านทาน 600 k Ω



เอกสารนี้เป็นเอกสารที่สงวนไว้สำหรับการใช้งานเพื่อการศึกษาเท่านั้น ไม่อนุญาตให้นำไปใช้ประโยชน์ด้านการค้า
ไม่ว่ากรณีใดๆ ทั้งสิ้น อีกทั้งห้ามมิให้ดัดแปลงเนื้อหา และต้องอ้างอิงถึงเจ้าของเอกสารทุกครั้งที่มีการนำไปใช้



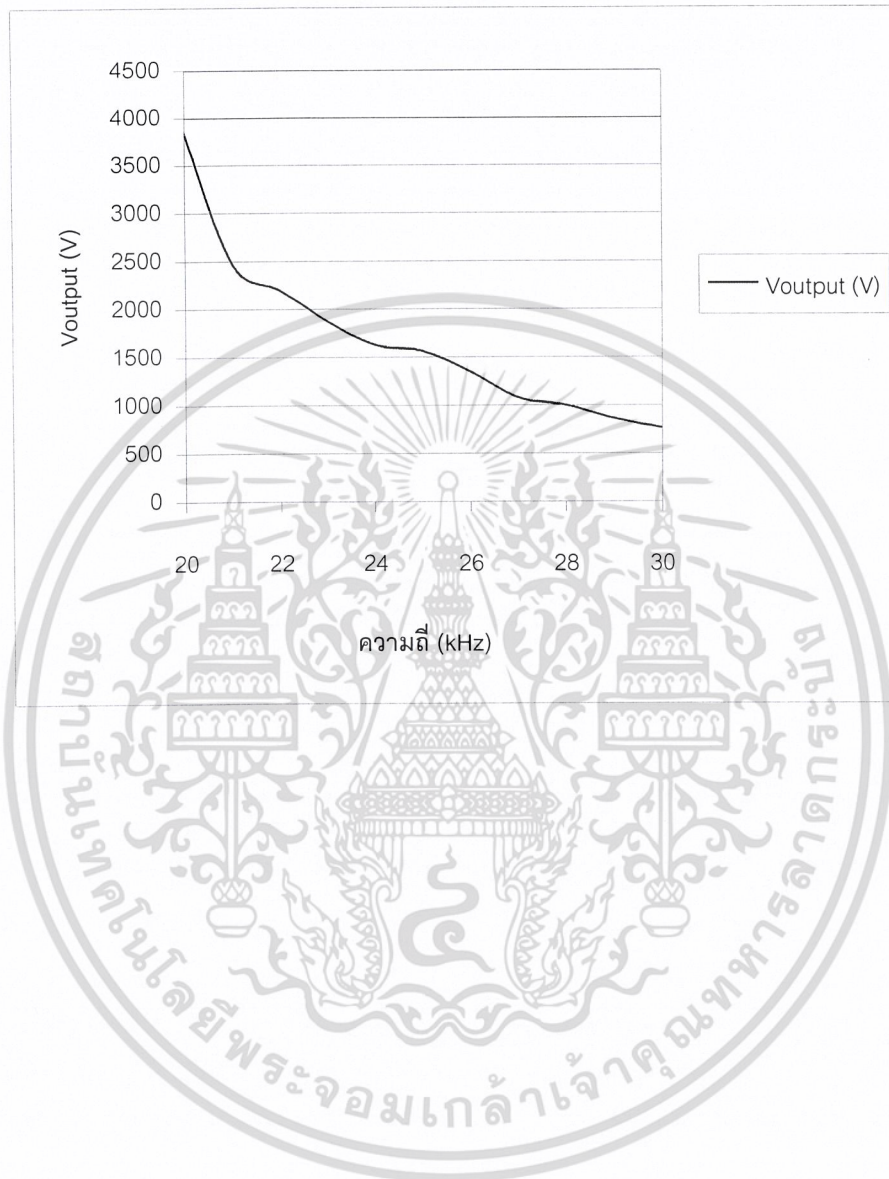
7.3.5 ทดสอบวงจรโดยใช้โหลดที่เป็นหลอดไอโซน

ตารางที่ 7.3 แสดงผลการทดลองแหล่งจ่ายไฟฟ้าแรงดันสูงแบบสวิตซ์กับ โหลดที่เป็นหลอดไอโซน

ความถี่ (KHz)	Voutput (V)	Ioutput (mA)	Poutput (W)
30	766.8	26.67	20.45
29	864.0	31.11	26.88
28	1002.8	37.04	37.14
27	1080.0	44.44	48.00
26	1350.0	47.40	64.00
25	1566.0	57.78	90.48
24	1630.8	65.19	106.31
23	1879.2	74.07	139.19
22	2192.4	81.48	178.64
21	2462.4	93.33	229.81
20	3834.0	251.85	965.59

เอกสารนี้เป็นเอกสารที่สงวนไว้สำหรับการใช้งานเพื่อการศึกษาเท่านั้น ไม่อนุญาตให้นำไปใช้ประโยชน์ด้านการค้า
ไม่ว่ากรณีใดๆ ทั้งสิ้น อีกทั้งห้ามมิให้ดัดแปลงเนื้อหา และต้องอ้างอิงถึงเจ้าของเอกสารทุกครั้งที่มีการนำไปใช้

กราฟแสดงค่าของเอาต์พุตเมื่อปรับเปลี่ยนความถี่ทดสอบกับหลอดไอโซน



เอกสารนี้เป็นเอกสารที่สงวนไว้สำหรับการใช้งานเพื่อการศึกษาเท่านั้น ไม่อนุญาตให้นำไปใช้ประโยชน์ด้านการค้า
ไม่ว่ากรณีใดๆ ทั้งสิ้น อีกทั้งห้ามมิให้ดัดแปลงเนื้อหา และต้องอ้างอิงถึงเจ้าของเอกสารทุกครั้งที่มีการนำไปใช้

บทที่ 8

บทสรุป

8.1 สรุปและวิจารณ์ผลการทดลอง

ในการทดสอบวงจรได้แบ่งลักษณะของการทดสอบโดยพิจารณาการต่อหม้อแปลงที่ขดทุติยภูมิของวงจรภาคเอาต์พุตเรโซแนนซ์เป็น 2 ลักษณะ คือ ทดลองใช้หม้อแปลงตัวเดียว และใช้หม้อแปลงซึ่งมีขนาดเท่ากับหม้อแปลงในการทดลองครั้งแรก 2 ตัว มาต่ออนุกรมกัน โดยใช้โพลดในการทดสอบแบ่งได้เป็น 2 ส่วน คือ ใช้โพลดที่เป็นความต้านทาน และโพลดเป็นหลอดไอโซน

ในการทดสอบหม้อแปลงตัวเดียวกับโพลดที่เป็นความต้านทาน เมื่อปรับเปลี่ยนค่าของความถี่แล้ว จะได้ค่าแรงดันที่มากที่สุดประมาณ 3224 โวลต์ ที่ความถี่ประมาณ 31 kHz

ในการทดสอบหม้อแปลง 2 ตัว ต่ออนุกรมกรมกันกับโพลดที่เป็นความต้านทาน เมื่อปรับเปลี่ยนค่าของความถี่แล้ว จะได้ค่าแรงดันที่มากที่สุดประมาณ 6014 โวลต์ ที่ความถี่ประมาณ 25 kHz

ในการทดสอบกับหลอดกำเนิดไอโซน โดยใช้หม้อแปลงต่ออนุกรมกัน 2 ตัว จะมีผลทำให้ค่าความถี่เรโซแนนซ์ของระบบมีค่าเปลี่ยนไปจากค่าเดิม โดยเปลี่ยนจากตอนทดสอบโดยโพลดความต้านทานซึ่งมีค่า 25 kHz ไปเป็น 20 kHz โดยค่า ความถี่ 20 kHz จะทำให้หลอดไอโซนทำงานได้

จากผลการทดลองจะสังเกตเห็นได้ว่าความเข้มแสง (สีม่วง) ของหลอดไอโซนมีความเข้มมากที่ค่าเข้าใกล้ความถี่เรโซแนนซ์ และมีคลื่นของก๊าซไอโซนสูงมากและเช่นเดียวกันความเข้มแสง (สีม่วง) จากหลอดไอโซนมีความเข้มจางลงเมื่อความถี่ออกห่างจากค่าความถี่เรโซแนนซ์

โครงการนี้สามารถที่จะนำไปประยุกต์ใช้งานกับงานอื่นๆ ที่ต้องการแหล่งจ่ายไฟฟ้าแรงดันสูงได้

8.2 ปัญหาที่เกิดขึ้น

1. เนื่องจากค่าแรงดันไฟฟ้าที่ใช้เป็นค่าแรงดันไฟฟ้ากระแสสลับแรงดันสูงจึงต้องทำการทดลองด้วยความระมัดระวัง

2. เนื่องจากก๊าซไอโซนมีกลิ่นฉุน และเป็นอันตรายต่อมนุษย์ ในการทดลองควรทำการทดลองในบริเวณที่อากาศถ่ายเทได้สะดวก

3. การทดสอบวงจรทำได้ค่อนข้างยาก เนื่องจากความพร้อมของอุปกรณ์และค่าของพารามิเตอร์ที่ต้องการวัดเป็นค่าที่ค่อนข้างสูง

หนังสืออ้างอิง

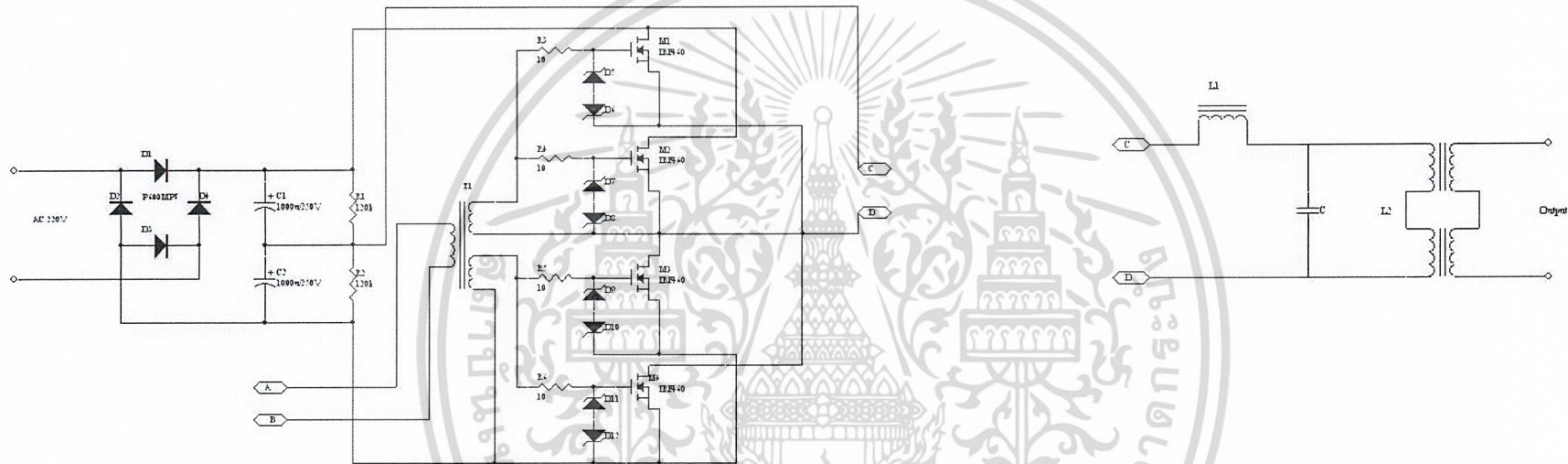
- 1.วีรเชษฐ์ ชันเงิน และ วุฒิพล ชาราธิรเศรษฐ์, “อิเล็กทรอนิกส์กำลัง” ,คณะวิศวกรรมศาสตร์ สถาบันเทคโนโลยีพระจอมเกล้าเจ้าคุณทหารลาดกระบัง, 2547.
- 2.สุวัฒน์ คั่น, “เทคนิคและการออกแบบ สวิตซ์ิงเพาเวอร์ซัพพลาย”,ฝ่ายวิจัยและพัฒนา, เอนเทล ไทย, 2538.
- 3.Muhammad H. Rashid, “Power eletronics circuit, device and application (Third Edition)”, Pearson Education,Inc., 2004.



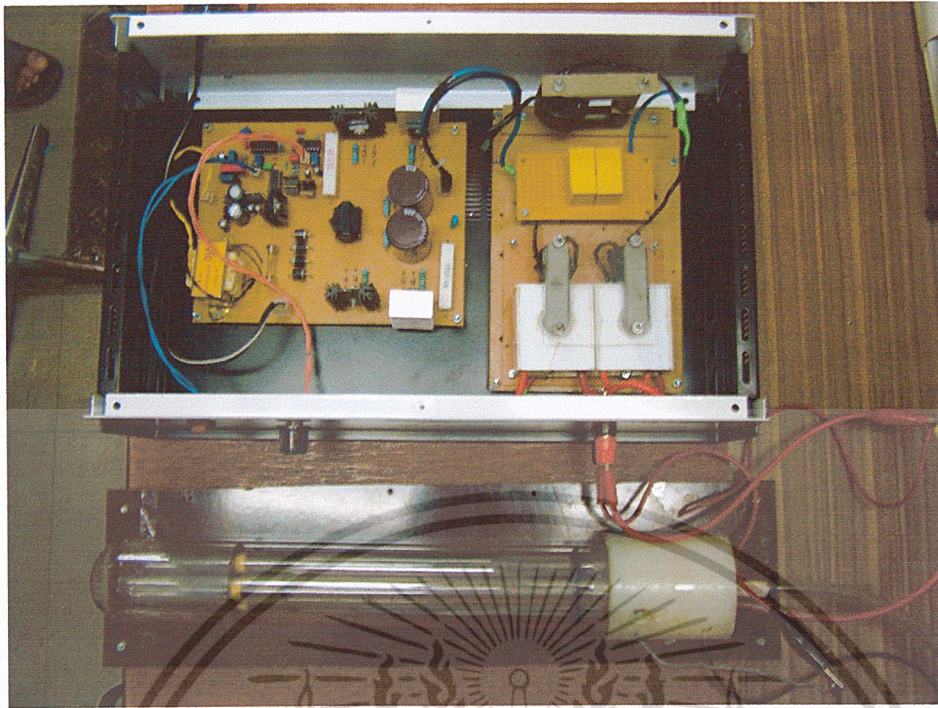
เอกสารนี้เป็นเอกสารที่สงวนไว้สำหรับการใช้งานเพื่อการศึกษาเท่านั้น ไม่อนุญาตให้นำไปใช้ประโยชน์ด้านการค้า
ไม่ว่ากรณีใดๆ ทั้งสิ้น อีกทั้งห้ามมิให้ดัดแปลงเนื้อหา และต้องอ้างอิงถึงเจ้าของเอกสารทุกครั้งที่มีการนำไปใช้



เอกสารนี้เป็นเอกสารที่สงวนไว้สำหรับการใช้งานเพื่อการศึกษาเท่านั้น ไม่อนุญาตให้นำไปใช้ประโยชน์ด้านการค้า
ไม่ว่ากรณีใดๆ ทั้งสิ้น อีกทั้งห้ามมิให้ดัดแปลงเนื้อหา และต้องอ้างอิงถึงเจ้าของเอกสารทุกครั้งที่มีการนำไปใช้



รูปวงจรภาคคอนเวอร์เตอร์และวงจรภาคเอาต์พุตเรโซแนนซ์



รูปแสดงวงจร Switching power supply และหลอด ไอ โชน



รูปแสดงหลอด ไอ โชนทำงาน

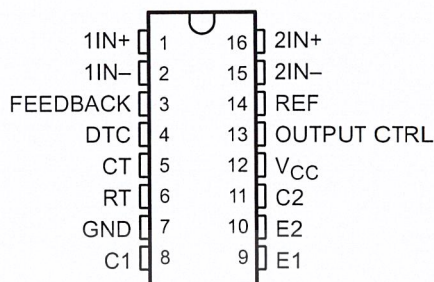
เอกสารนี้เป็นเอกสารที่สงวนไว้สำหรับการใช้งานเพื่อการศึกษาเท่านั้น ไม่อนุญาตให้นำไปใช้ประโยชน์ด้านการค้า
ไม่ว่ากรณีใดๆ ทั้งสิ้น อีกทั้งห้ามมิให้ดัดแปลงเนื้อหา และต้องอ้างอิงถึงเจ้าของเอกสารทุกครั้งที่มีการนำไปใช้

TL494 PULSE-WIDTH-MODULATION CONTROL CIRCUITS

SLVS074D – JANUARY 1983 – REVISED MAY 2002

- Complete PWM Power-Control Circuitry
- Uncommitted Outputs for 200-mA Sink or Source Current
- Output Control Selects Single-Ended or Push-Pull Operation
- Internal Circuitry Prohibits Double Pulse at Either Output
- Variable Dead Time Provides Control Over Total Range
- Internal Regulator Provides a Stable 5-V Reference Supply With 5% Tolerance
- Circuit Architecture Allows Easy Synchronization

D, DB, N, NS, OR PW PACKAGE
(TOP VIEW)



description

The TL494 incorporates all the functions required in the construction of a pulse-width-modulation (PWM) control circuit on a single chip. Designed primarily for power-supply control, this device offers the flexibility to tailor the power-supply control circuitry to a specific application.

The TL494 contains two error amplifiers, an on-chip adjustable oscillator, a dead-time control (DTC) comparator, a pulse-steering control flip-flop, a 5-V, 5%-precision regulator, and output-control circuits.

The error amplifiers exhibit a common-mode voltage range from -0.3 V to $V_{CC} - 2\text{ V}$. The dead-time control comparator has a fixed offset that provides approximately 5% dead time. The on-chip oscillator can be bypassed by terminating RT to the reference output and providing a sawtooth input to CT, or it can drive the common circuits in synchronous multiple-rail power supplies.

The uncommitted output transistors provide either common-emitter or emitter-follower output capability. The TL494 provides for push-pull or single-ended output operation, which can be selected through the output-control function. The architecture of this device prohibits the possibility of either output being pulsed twice during push-pull operation.

The TL494C is characterized for operation from 0°C to 70°C . The TL494I is characterized for operation from -40°C to 85°C .

AVAILABLE OPTIONS

T _A	PACKAGED DEVICES				
	SMALL OUTLINE (D)	PLASTIC DIP (N)	SMALL OUTLINE (NS)	SHRINK SMALL OUTLINE (DB)	THIN SHRINK SMALL OUTLINE (PW)
0°C to 70°C	TL494CD	TL494CN	TL494CNS	TL494CDB	TL494CPW
-40°C to 85°C	TL494ID	TL494IN	—	—	—

The D, DB, NS, and PW packages are available taped and reeled. Add the suffix R to device type (e.g., TL494CDR).



Please be aware that an important notice concerning availability, standard warranty, and use in critical applications of Texas Instruments semiconductor products and disclaimers thereto appears at the end of this data sheet.

PRODUCTION DATA information is current as of publication date. Products conform to specifications per the terms of Texas Instruments standard warranty. Production processing does not necessarily include testing of all parameters.

Copyright © 2002, Texas Instruments Incorporated

**TEXAS
INSTRUMENTS**

POST OFFICE BOX 655303 • DALLAS, TEXAS 75265

เอกสารนี้เป็นเอกสารที่สงวนไว้สำหรับการใช้งานเพื่อการศึกษาเท่านั้น ไม่นิยมนำไปใช้ประโยชน์ด้านการค้า
ไม่ว่ากรณีใดๆ ทั้งสิ้น อีกทั้งห้ามมิให้ดัดแปลงเนื้อหา และต้องอ้างอิงถึงเจ้าของเอกสารทุกครั้งที่มีการนำไปใช้

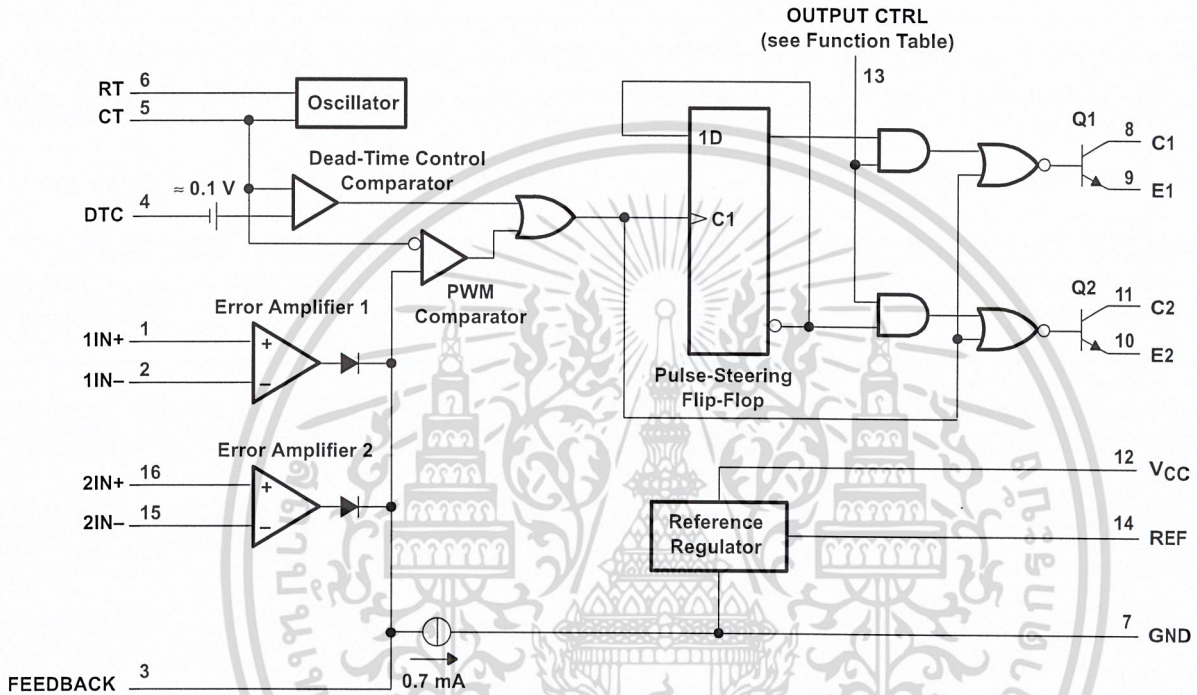
TL494 PULSE-WIDTH-MODULATION CONTROL CIRCUITS

SLVS074D – JANUARY 1983 – REVISED MAY 2002

FUNCTION TABLE

INPUT TO OUTPUT CTRL	OUTPUT FUNCTION
$V_I = \text{GND}$	Single-ended or parallel output
$V_I = V_{\text{ref}}$	Normal push-pull operation

functional block diagram



POST OFFICE BOX 655303 • DALLAS, TEXAS 75265

TL494

PULSE-WIDTH-MODULATION CONTROL CIRCUITS

SLVS074D – JANUARY 1983 – REVISED MAY 2002

absolute maximum ratings over operating free-air temperature range (unless otherwise noted)†

Supply voltage, V_{CC} (see Note 1)	41 V
Amplifier input voltage, V_I	$V_{CC} + 0.3$ V
Collector output voltage, V_O	41 V
Collector output current, I_O	250 mA
Package thermal impedance, θ_{JA} (see Note 2 and 3):	
D package	73°C/W
DB package	82°C/W
N package	67°C/W
NS package	64°C/W
PW package	108°C/W
Lead temperature 1,6 mm (1/16 inch) from case for 10 seconds	260°C
Storage temperature range, T_{stg}	–65°C to 150°C

† Stresses beyond those listed under "absolute maximum ratings" may cause permanent damage to the device. These are stress ratings only, and functional operation of the device at these or any other conditions beyond those indicated under "recommended operating conditions" is not implied. Exposure to absolute-maximum-rated conditions for extended periods may affect device reliability.

- NOTES:
1. All voltage values are with respect to the network ground terminal.
 2. Maximum power dissipation is a function of $T_J(\max)$, θ_{JA} , and T_A . The maximum allowable power dissipation at any allowable ambient temperature is $P_D = (T_J(\max) - T_A)/\theta_{JA}$. Operating at the absolute maximum T_J of 150°C can affect reliability.
 3. The package thermal impedance is calculated in accordance with JESD 51-7.

recommended operating conditions

		MIN	MAX	UNIT	
V_{CC}	Supply voltage	7	40	V	
V_I	Amplifier input voltage	–0.3	$V_{CC} - 2$	V	
V_O	Collector output voltage		40	V	
	Collector output current (each transistor)		200	mA	
	Current into feedback terminal		0.3	mA	
f_{osc}	Oscillator frequency	1	300	kHz	
C_T	Timing capacitor	0.47	10000	nF	
R_T	Timing resistor	1.8	500	k Ω	
T_A	Operating free-air temperature	TL494C	0	70	°C
		TL494I	–40	85	



POST OFFICE BOX 655303 • DALLAS, TEXAS 75265

เอกสารนี้เป็นเอกสารที่สงวนไว้สำหรับการใช้งานเพื่อการศึกษาเท่านั้น มิอนุญาตให้นำไปใช้ประโยชน์ด้านการค้า 3

ไม่ว่ากรณีใดๆ ทั้งสิ้น อีกทั้งห้ามมิให้ดัดแปลงเนื้อหา และต้องอ้างอิงถึงเจ้าของเอกสารทุกครั้งที่มีการนำไปใช้

TL494

PULSE-WIDTH-MODULATION CONTROL CIRCUITS

SLVS074D – JANUARY 1983 – REVISED MAY 2002

electrical characteristics over recommended operating free-air temperature range, $V_{CC} = 15\text{ V}$, $f = 10\text{ kHz}$ (unless otherwise noted)

reference section

PARAMETER	TEST CONDITIONS†	TL494C, TL494I			UNIT
		MIN	TYP‡	MAX	
Output voltage (REF)	$I_O = 1\text{ mA}$	4.75	5	5.25	V
Input regulation	$V_{CC} = 7\text{ V to }40\text{ V}$		2	25	mV
Output regulation	$I_O = 1\text{ mA to }10\text{ mA}$		1	15	mV
Output voltage change with temperature	$\Delta T_A = \text{MIN to MAX}$		2	10	mV/V
Short-circuit output current§	REF = 0 V		25		mA

† For conditions shown as MIN or MAX, use the appropriate value specified under recommended operating conditions.

‡ All typical values, except for parameter changes with temperature, are at $T_A = 25^\circ\text{C}$.

§ Duration of the short circuit should not exceed one second.

oscillator section, $C_T = 0.01\ \mu\text{F}$, $R_T = 12\ \text{k}\Omega$ (see Figure 1)

PARAMETER	TEST CONDITIONS†	TL494, TL494I			UNIT
		MIN	TYP‡	MAX	
Frequency			10		kHz
Standard deviation of frequency¶	All values of V_{CC} , C_T , R_T , and T_A constant		100		Hz/kHz
Frequency change with voltage	$V_{CC} = 7\text{ V to }40\text{ V}$, $T_A = 25^\circ\text{C}$		1		Hz/kHz
Frequency change with temperature#	$\Delta T_A = \text{MIN to MAX}$			10	Hz/kHz

† For conditions shown as MIN or MAX, use the appropriate value specified under recommended operating conditions.

‡ All typical values, except for parameter changes with temperature, are at $T_A = 25^\circ\text{C}$.

¶ Standard deviation is a measure of the statistical distribution about the mean as derived from the formula:

$$\sigma = \sqrt{\frac{\sum_{n=1}^N (x_n - \bar{X})^2}{N - 1}}$$

Temperature coefficient of timing capacitor and timing resistor are not taken into account.

error-amplifier section (see Figure 2)

PARAMETER	TEST CONDITIONS	TL494, TL494I			UNIT
		MIN	TYP‡	MAX	
Input offset voltage	$V_O (\text{FEEDBACK}) = 2.5\text{ V}$		2	10	mV
Input offset current	$V_O (\text{FEEDBACK}) = 2.5\text{ V}$		25	250	nA
Input bias current	$V_O (\text{FEEDBACK}) = 2.5\text{ V}$		0.2	1	μA
Common-mode input voltage range	$V_{CC} = 7\text{ V to }40\text{ V}$	-0.3 to $V_{CC}-2$			V
Open-loop voltage amplification	$\Delta V_O = 3\text{ V}$, $R_L = 2\ \text{k}\Omega$, $V_O = 0.5\text{ V to }3.5\text{ V}$	70	95		dB
Unity-gain bandwidth	$V_O = 0.5\text{ V to }3.5\text{ V}$, $R_L = 2\ \text{k}\Omega$		800		kHz
Common-mode rejection ratio	$\Delta V_O = 40\text{ V}$, $T_A = 25^\circ\text{C}$	65	80		dB
Output sink current (FEEDBACK)	$V_{ID} = -15\text{ mV to }-5\text{ V}$, $V (\text{FEEDBACK}) = 0.7\text{ V}$	0.3	0.7		mA
Output source current (FEEDBACK)	$V_{ID} = 15\text{ mV to }5\text{ V}$, $V (\text{FEEDBACK}) = 3.5\text{ V}$	-2			mA

‡ All typical values, except for parameter changes with temperature, are at $T_A = 25^\circ\text{C}$.



POST OFFICE BOX 655303 • DALLAS, TEXAS 75265

TL494 PULSE-WIDTH-MODULATION CONTROL CIRCUITS

SLVS074D – JANUARY 1983 – REVISED MAY 2002

electrical characteristics over recommended operating free-air temperature range, $V_{CC} = 15\text{ V}$, $f = 10\text{ kHz}$ (unless otherwise noted)

output section

PARAMETER		TEST CONDITIONS	MIN	TYP†	MAX	UNIT
Collector off-state current		$V_{CE} = 40\text{ V}$, $V_{CC} = 40\text{ V}$		2	100	μA
Emitter off-state current		$V_{CC} = V_C = 40\text{ V}$, $V_E = 0$			-100	μA
Collector-emitter saturation voltage	Common emitter	$V_E = 0$, $I_C = 200\text{ mA}$		1.1	1.3	V
	Emitter follower	$V_{O(C1\text{ or }C2)} = 15\text{ V}$, $I_E = -200\text{ mA}$		1.5	2.5	
Output control input current		$V_I = V_{ref}$			3.5	mA

† All typical values except for temperature coefficient are at $T_A = 25^\circ\text{C}$.

dead-time control section (see Figure 1)

PARAMETER	TEST CONDITIONS	MIN	TYP†	MAX	UNIT
Input bias current (DEAD-TIME CTRL)	$V_I = 0\text{ to }5.25\text{ V}$		-2	-10	μA
Maximum duty cycle, each output	V_I (DEAD-TIME CTRL) = 0, $C_T = 0.01\ \mu\text{F}$, $R_T = 12\ \text{k}\Omega$		45%		
Input threshold voltage (DEAD-TIME CTRL)	Zero duty cycle		3	3.3	V
	Maximum duty cycle		0		

† All typical values except for temperature coefficient are at $T_A = 25^\circ\text{C}$.

PWM comparator section (see Figure 1)

PARAMETER	TEST CONDITIONS	MIN	TYP†	MAX	UNIT
Input threshold voltage (FEEDBACK)	Zero duty cycle		4	4.5	V
Input sink current (FEEDBACK)	V (FEEDBACK) = 0.7 V	0.3	0.7		mA

† All typical values except for temperature coefficient are at $T_A = 25^\circ\text{C}$.

total device

PARAMETER	TEST CONDITIONS		MIN	TYP†	MAX	UNIT
Standby supply current	$R_T = V_{ref}$, All other inputs and outputs open	$V_{CC} = 15\text{ V}$		6	10	mA
		$V_{CC} = 40\text{ V}$		9	15	
Average supply current	V_I (DEAD-TIME CTRL) = 2 V,	See Figure 1		7.5		mA

† All typical values except for temperature coefficient are at $T_A = 25^\circ\text{C}$.

switching characteristics, $T_A = 25^\circ\text{C}$

PARAMETER	TEST CONDITIONS		MIN	TYP†	MAX	UNIT
Rise time	Common-emitter configuration,	See Figure 3		100	200	ns
Fall time				25	100	
Rise time	Emitter-follower configuration,	See Figure 4		100	200	ns
Fall time				40	100	

† All typical values except for temperature coefficient are at $T_A = 25^\circ\text{C}$.



POST OFFICE BOX 655303 • DALLAS, TEXAS 75265

เอกสารนี้เป็นเอกสารที่สงวนไว้สำหรับการใช้งานเพื่อการศึกษาเท่านั้น ไม่นิยมนำไปใช้ประโยชน์ด้านการค้า
ไม่ว่ากรณีใดๆ ทั้งสิ้น อีกทั้งห้ามมิให้ดัดแปลงเนื้อหา และต้องอ้างอิงถึงเจ้าของเอกสารทุกครั้งที่มีการนำไปใช้

TL494 PULSE-WIDTH-MODULATION CONTROL CIRCUITS

SLVS074D – JANUARY 1983 – REVISED MAY 2002

PARAMETER MEASUREMENT INFORMATION

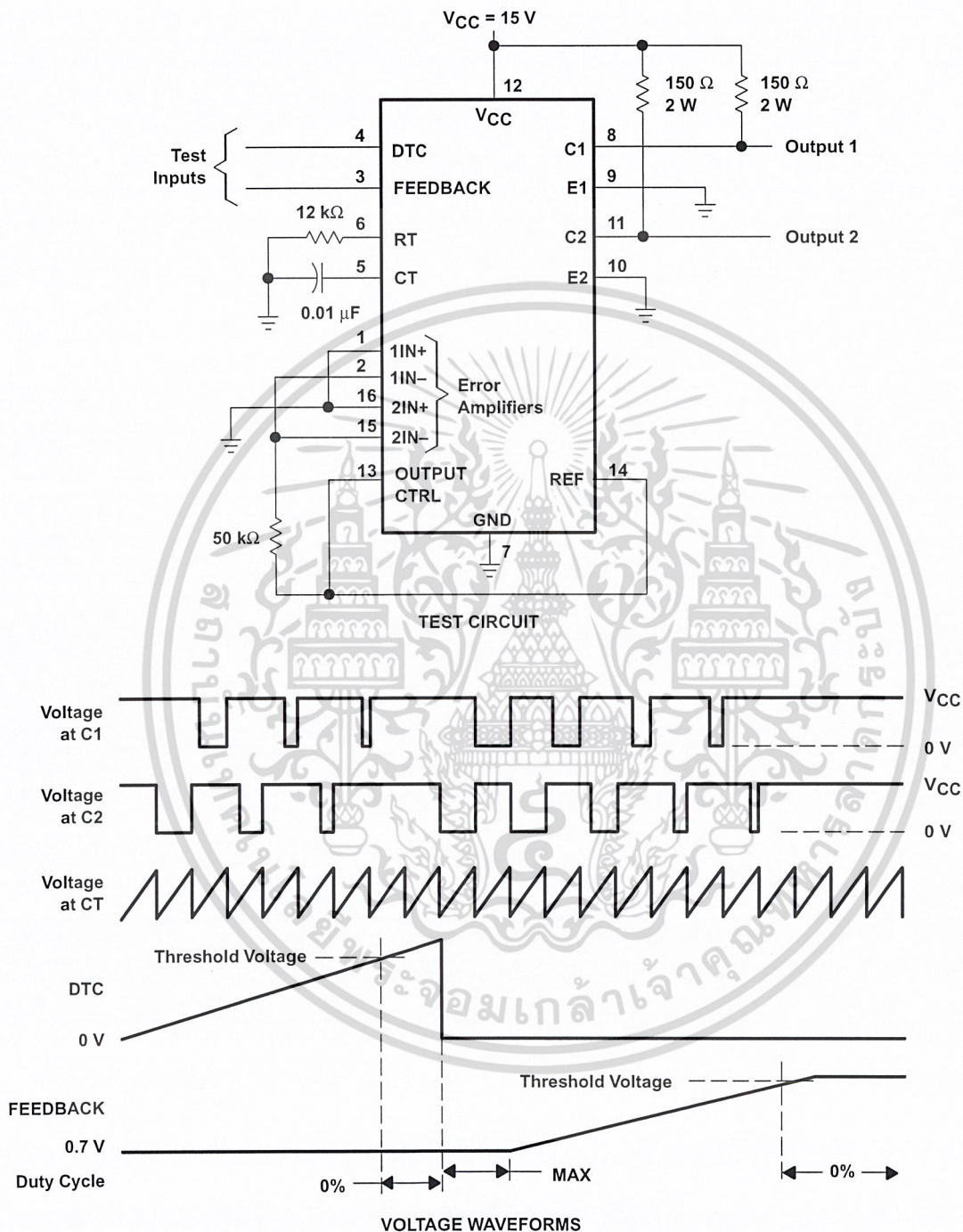


Figure 1. Operational Test Circuit and Waveforms



POST OFFICE BOX 655303 • DALLAS, TEXAS 75265

PARAMETER MEASUREMENT INFORMATION

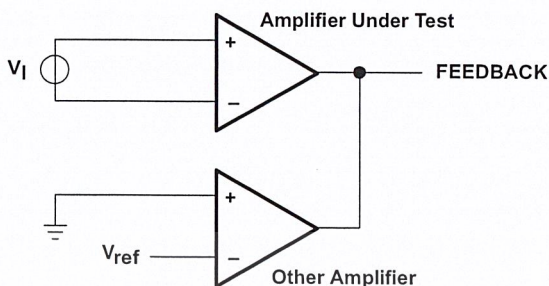
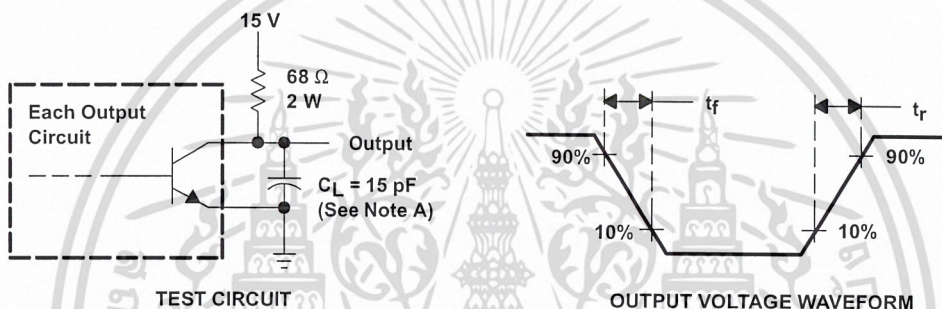
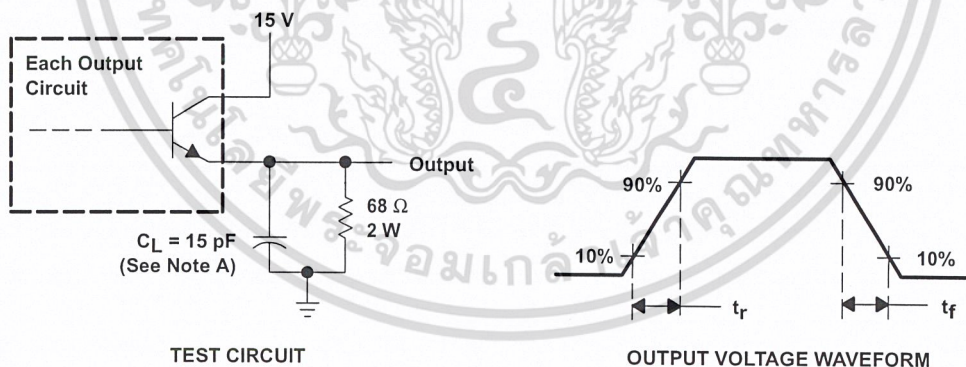


Figure 2. Amplifier Characteristics



NOTE A: C_L includes probe and jig capacitance.

Figure 3. Common-Emitter Configuration



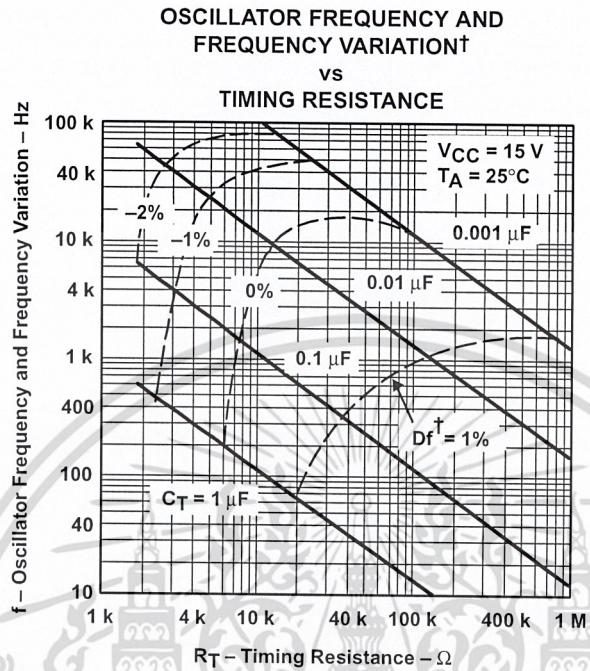
NOTE A: C_L includes probe and jig capacitance.

Figure 4. Emitter-Follower Configuration

TL494
PULSE-WIDTH-MODULATION CONTROL CIRCUITS

SLVS074D – JANUARY 1983 – REVISED MAY 2002

TYPICAL CHARACTERISTICS



† Frequency variation (Δf) is the change in oscillator frequency that occurs over the full temperature range.

Figure 5

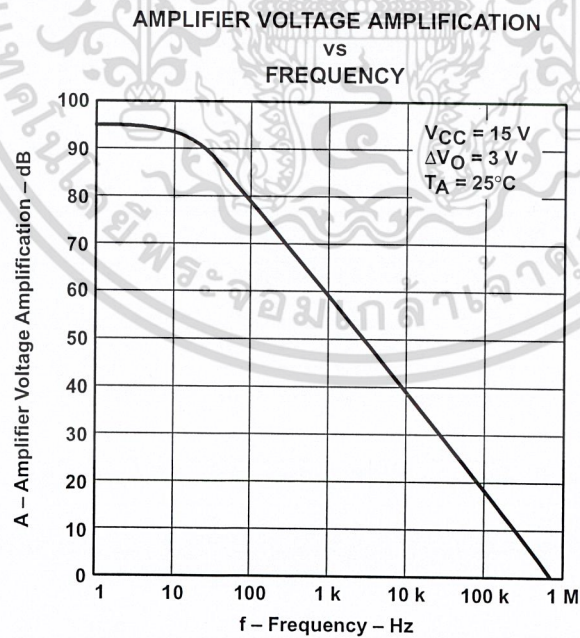


Figure 6



POST OFFICE BOX 655303 • DALLAS, TEXAS 75265

IMPORTANT NOTICE

Texas Instruments Incorporated and its subsidiaries (TI) reserve the right to make corrections, modifications, enhancements, improvements, and other changes to its products and services at any time and to discontinue any product or service without notice. Customers should obtain the latest relevant information before placing orders and should verify that such information is current and complete. All products are sold subject to TI's terms and conditions of sale supplied at the time of order acknowledgment.

TI warrants performance of its hardware products to the specifications applicable at the time of sale in accordance with TI's standard warranty. Testing and other quality control techniques are used to the extent TI deems necessary to support this warranty. Except where mandated by government requirements, testing of all parameters of each product is not necessarily performed.

TI assumes no liability for applications assistance or customer product design. Customers are responsible for their products and applications using TI components. To minimize the risks associated with customer products and applications, customers should provide adequate design and operating safeguards.

TI does not warrant or represent that any license, either express or implied, is granted under any TI patent right, copyright, mask work right, or other TI intellectual property right relating to any combination, machine, or process in which TI products or services are used. Information published by TI regarding third-party products or services does not constitute a license from TI to use such products or services or a warranty or endorsement thereof. Use of such information may require a license from a third party under the patents or other intellectual property of the third party, or a license from TI under the patents or other intellectual property of TI.

Reproduction of information in TI data books or data sheets is permissible only if reproduction is without alteration and is accompanied by all associated warranties, conditions, limitations, and notices. Reproduction of this information with alteration is an unfair and deceptive business practice. TI is not responsible or liable for such altered documentation.

Resale of TI products or services with statements different from or beyond the parameters stated by TI for that product or service voids all express and any implied warranties for the associated TI product or service and is an unfair and deceptive business practice. TI is not responsible or liable for any such statements.

Mailing Address:

Texas Instruments
Post Office Box 655303
Dallas, Texas 75265

Copyright © 2002, Texas Instruments Incorporated

เอกสารนี้เป็นเอกสารที่สงวนไว้สำหรับการใช้งานเพื่อการศึกษาเท่านั้น ไม่อนุญาตให้นำไปใช้ประโยชน์ด้านการค้า
ไม่ว่ากรณีใดๆ ทั้งสิ้น อีกทั้งห้ามมิให้ดัดแปลงเนื้อหา และต้องอ้างอิงถึงเจ้าของเอกสารทุกครั้งที่มีการนำไปใช้

PowerMOS transistors

Avalanche energy rated

IRFP460

THERMAL RESISTANCES

SYMBOL	PARAMETER	CONDITIONS	MIN.	TYP.	MAX.	UNIT
$R_{th\ j-mb}$	Thermal resistance junction to mounting base		-	-	0.5	K/W
$R_{th\ j-a}$	Thermal resistance junction to ambient	SOT429 package, in free air	-	45	-	K/W

ELECTRICAL CHARACTERISTICS

$T_j = 25\text{ °C}$ unless otherwise specified

SYMBOL	PARAMETER	CONDITIONS	MIN.	TYP.	MAX.	UNIT
$V_{(BR)DSS}$	Drain-source breakdown voltage	$V_{GS} = 0\text{ V}; I_D = 0.25\text{ mA}$	500	-	-	V
$\frac{\Delta V_{(BR)DSS}}{\Delta T_j}$	Drain-source breakdown voltage temperature coefficient	$V_{DS} = V_{GS}; I_D = 0.25\text{ mA}$	-	0.1	-	%/K
$R_{DS(ON)}$	Drain-source on resistance	$V_{GS} = 10\text{ V}; I_D = 10\text{ A}$	-	0.2	0.27	Ω
$V_{GS(TO)}$	Gate threshold voltage	$V_{DS} = V_{GS}; I_D = 0.25\text{ mA}$	2.0	3.0	4.0	V
g_{fs}	Forward transconductance	$V_{DS} = 30\text{ V}; I_D = 10\text{ A}$	13	18	-	S
I_{DSS}	Drain-source leakage current	$V_{DS} = 500\text{ V}; V_{GS} = 0\text{ V}$	-	2	50	μA
I_{GSS}	Gate-source leakage current	$V_{DS} = 400\text{ V}; V_{GS} = 0\text{ V}; T_j = 125\text{ °C}$ $V_{GS} = \pm 30\text{ V}; V_{DS} = 0\text{ V}$	-	100	1000	μA
$Q_{g(tot)}$	Total gate charge	$I_D = 20\text{ A}; V_{DD} = 400\text{ V}; V_{GS} = 10\text{ V}$	-	147	190	nC
Q_{gs}	Gate-source charge		-	12	18	nC
Q_{gd}	Gate-drain (Miller) charge		-	78	100	nC
$t_{d(on)}$	Turn-on delay time	$V_{DD} = 250\text{ V}; R_D = 12\ \Omega;$	-	23	-	ns
t_r	Turn-on rise time	$R_G = 3.9\ \Omega$	-	72	-	ns
$t_{d(off)}$	Turn-off delay time		-	150	-	ns
t_f	Turn-off fall time		-	75	-	ns
L_d	Internal drain inductance	Measured from tab to centre of die	-	3.5	-	nH
L_d	Internal drain inductance	Measured from drain lead to centre of die	-	4.5	-	nH
L_s	Internal source inductance	Measured from source lead to source bond pad	-	7.5	-	nH
C_{iss}	Input capacitance	$V_{GS} = 0\text{ V}; V_{DS} = 25\text{ V}; f = 1\text{ MHz}$	-	3000	-	pF
C_{oss}	Output capacitance		-	480	-	pF
C_{rss}	Feedback capacitance		-	270	-	pF

SOURCE-DRAIN DIODE RATINGS AND CHARACTERISTICS

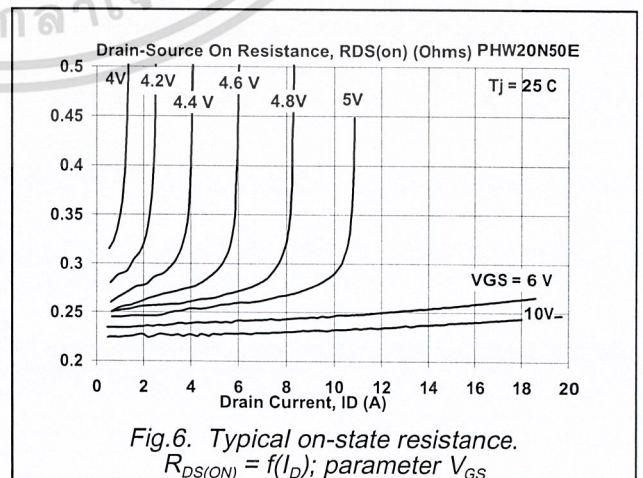
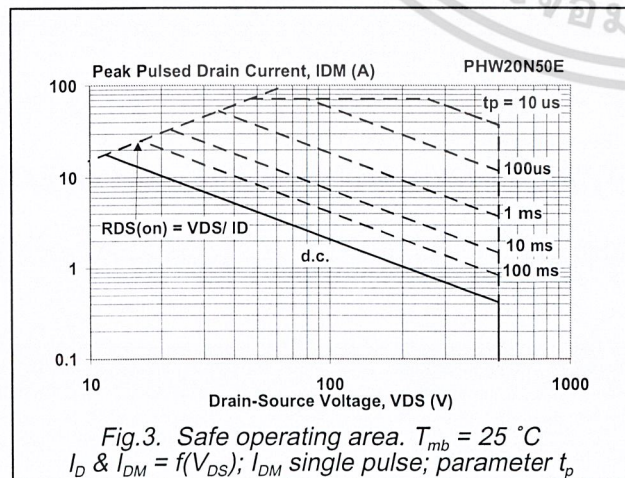
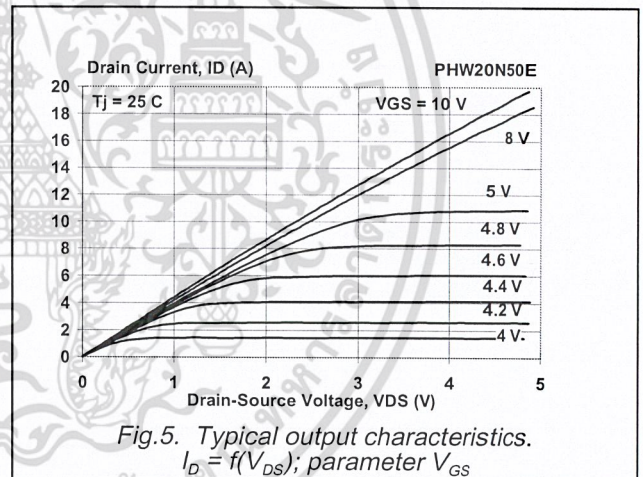
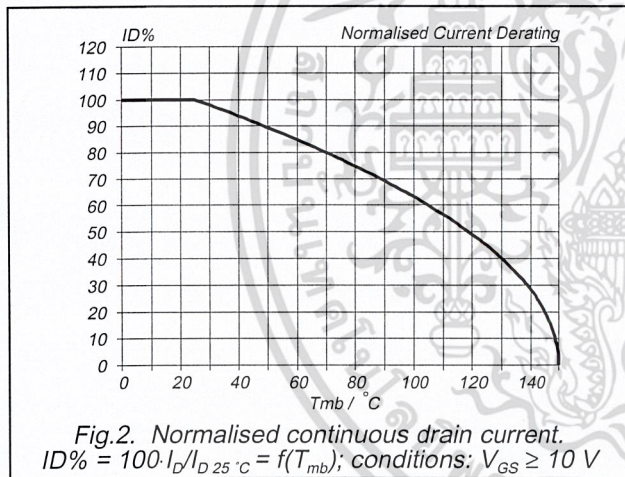
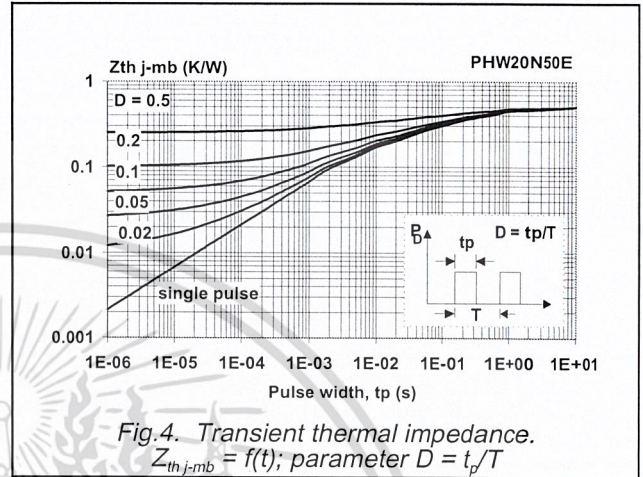
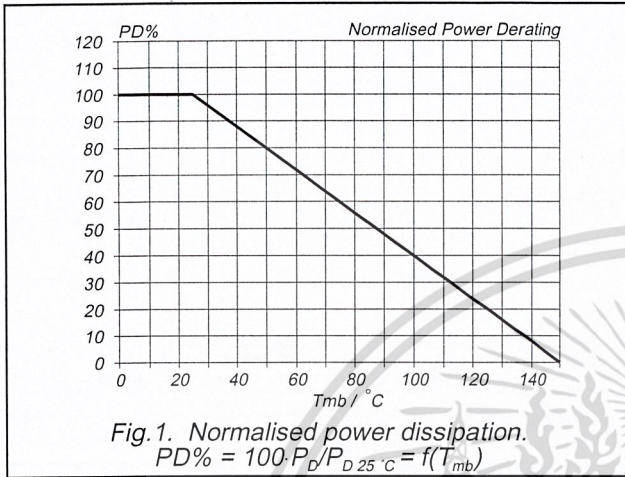
$T_j = 25\text{ °C}$ unless otherwise specified

SYMBOL	PARAMETER	CONDITIONS	MIN.	TYP.	MAX.	UNIT
I_S	Continuous source current (body diode)	$T_{mb} = 25\text{ °C}$	-	-	20	A
I_{SM}	Pulsed source current (body diode)	$T_{mb} = 25\text{ °C}$	-	-	80	A
V_{SD}	Diode forward voltage	$I_S = 20\text{ A}; V_{GS} = 0\text{ V}$	-	-	1.5	V
t_{rr}	Reverse recovery time	$I_S = 20\text{ A}; V_{GS} = 0\text{ V}; di/dt = 100\text{ A}/\mu\text{s}$	-	900	-	ns
Q_{rr}	Reverse recovery charge		-	15	-	μC

เอกสารนี้เป็นเอกสารที่สงวนไว้สำหรับการใช้งานเพื่อการศึกษาเท่านั้น ไม่อนุญาตให้นำไปใช้ประโยชน์ด้านการค้า

PowerMOS transistors
Avalanche energy rated

IRFP460



PowerMOS transistors
Avalanche energy rated

IRFP460

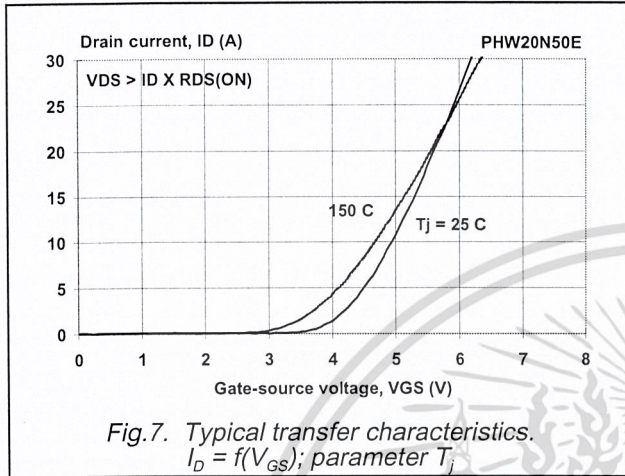


Fig. 7. Typical transfer characteristics.
 $I_D = f(V_{GS})$; parameter T_j

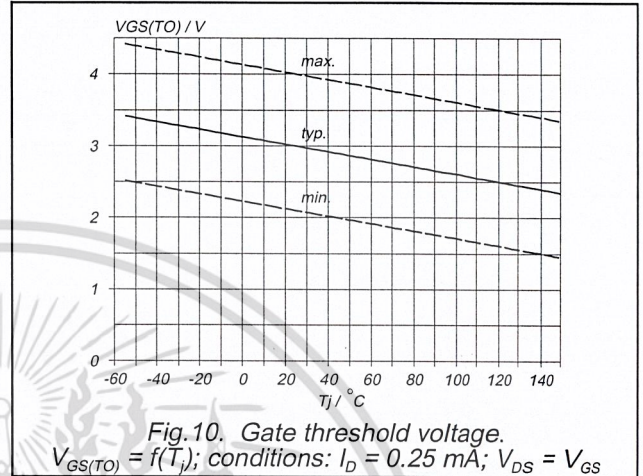


Fig. 10. Gate threshold voltage.
 $V_{GS(TO)} = f(T_j)$; conditions: $I_D = 0.25 \text{ mA}$; $V_{DS} = V_{GS}$

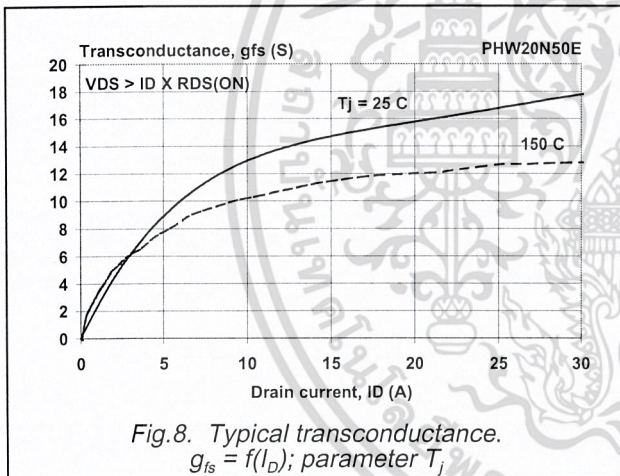


Fig. 8. Typical transconductance.
 $g_{fs} = f(I_D)$; parameter T_j

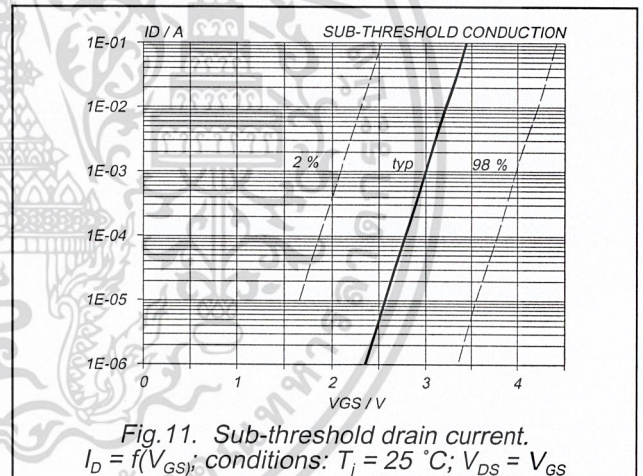


Fig. 11. Sub-threshold drain current.
 $I_D = f(V_{GS})$; conditions: $T_j = 25 \text{ °C}$; $V_{DS} = V_{GS}$

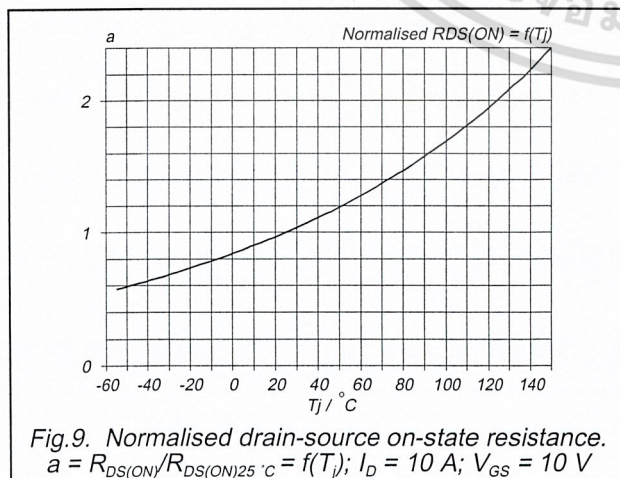


Fig. 9. Normalised drain-source on-state resistance.
 $a = R_{DS(ON)} / R_{DS(ON)25 \text{ °C}} = f(T_j)$; $I_D = 10 \text{ A}$; $V_{GS} = 10 \text{ V}$

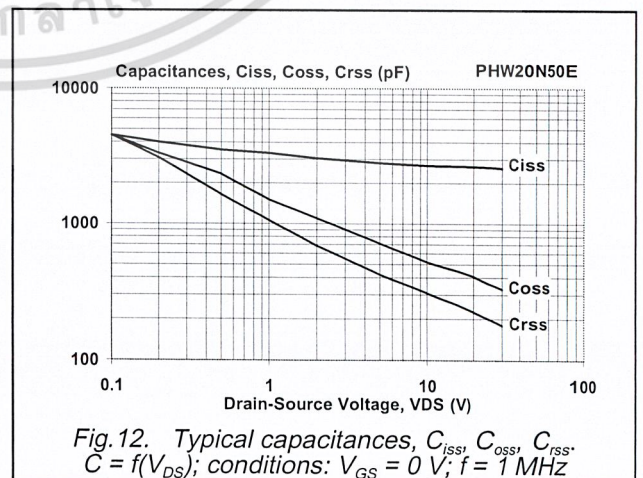


Fig. 12. Typical capacitances, C_{iss} , C_{oss} , C_{rss} .
 $C = f(V_{DS})$; conditions: $V_{GS} = 0 \text{ V}$; $f = 1 \text{ MHz}$

เอกสารนี้เป็นเอกสารที่สงวนไว้สำหรับการใช้งานเพื่อการศึกษาเท่านั้น ไม่อนุญาตให้นำไปใช้ประโยชน์ด้านการค้า

PowerMOS transistors
Avalanche energy rated

IRFP460

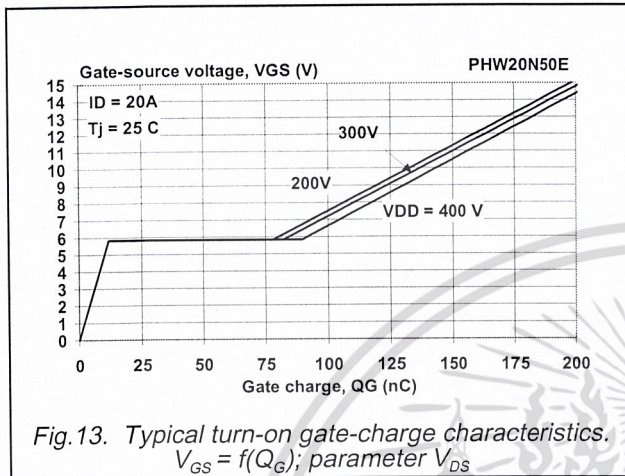


Fig. 13. Typical turn-on gate-charge characteristics.
 $V_{GS} = f(Q_G)$; parameter V_{DS}

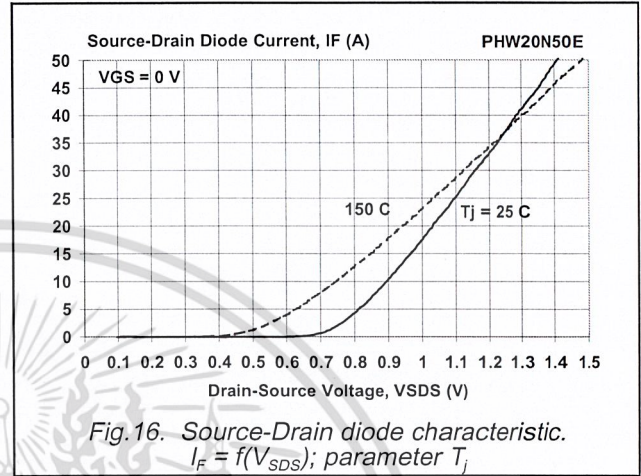


Fig. 16. Source-Drain diode characteristic.
 $I_F = f(V_{SDS})$; parameter T_j

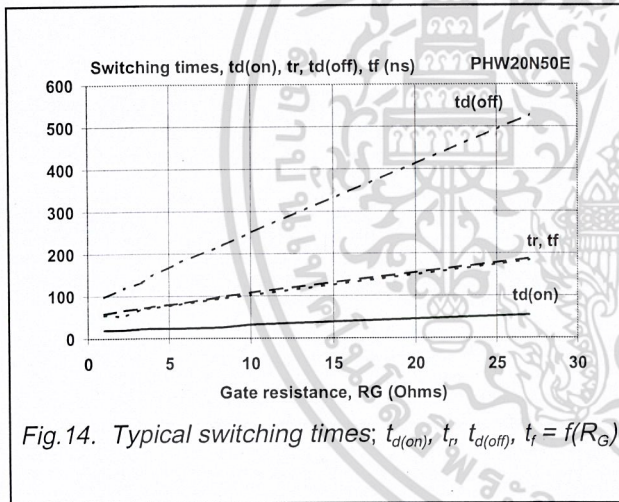


Fig. 14. Typical switching times; $t_{d(on)}$, t_r , $t_{d(off)}$, $t_f = f(R_G)$

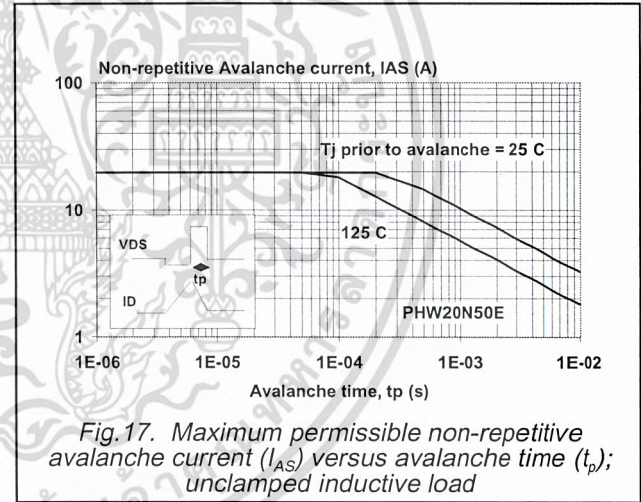


Fig. 17. Maximum permissible non-repetitive avalanche current (I_{AS}) versus avalanche time (t_p); unclamped inductive load

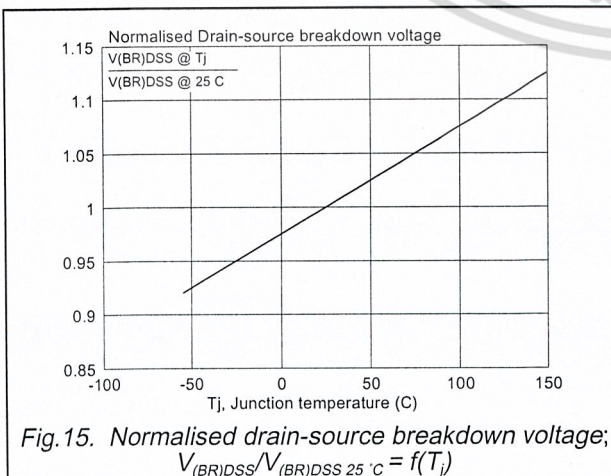


Fig. 15. Normalised drain-source breakdown voltage;
 $V_{(BR)DSS} / V_{(BR)DSS 25^\circ C} = f(T_j)$

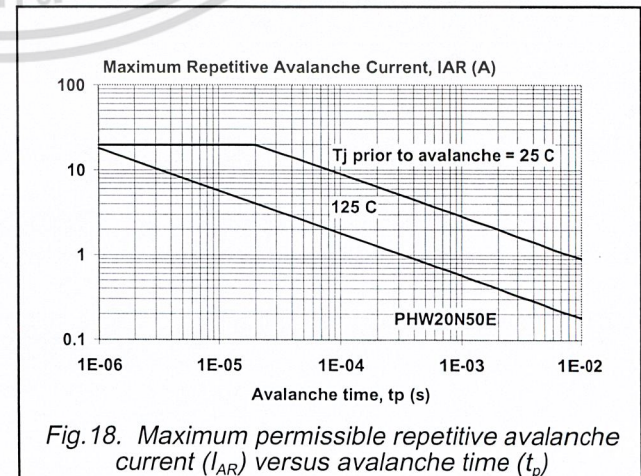


Fig. 18. Maximum permissible repetitive avalanche current (I_{AR}) versus avalanche time (t_p)

PowerMOS transistors
Avalanche energy rated

IRFP460

MECHANICAL DATA

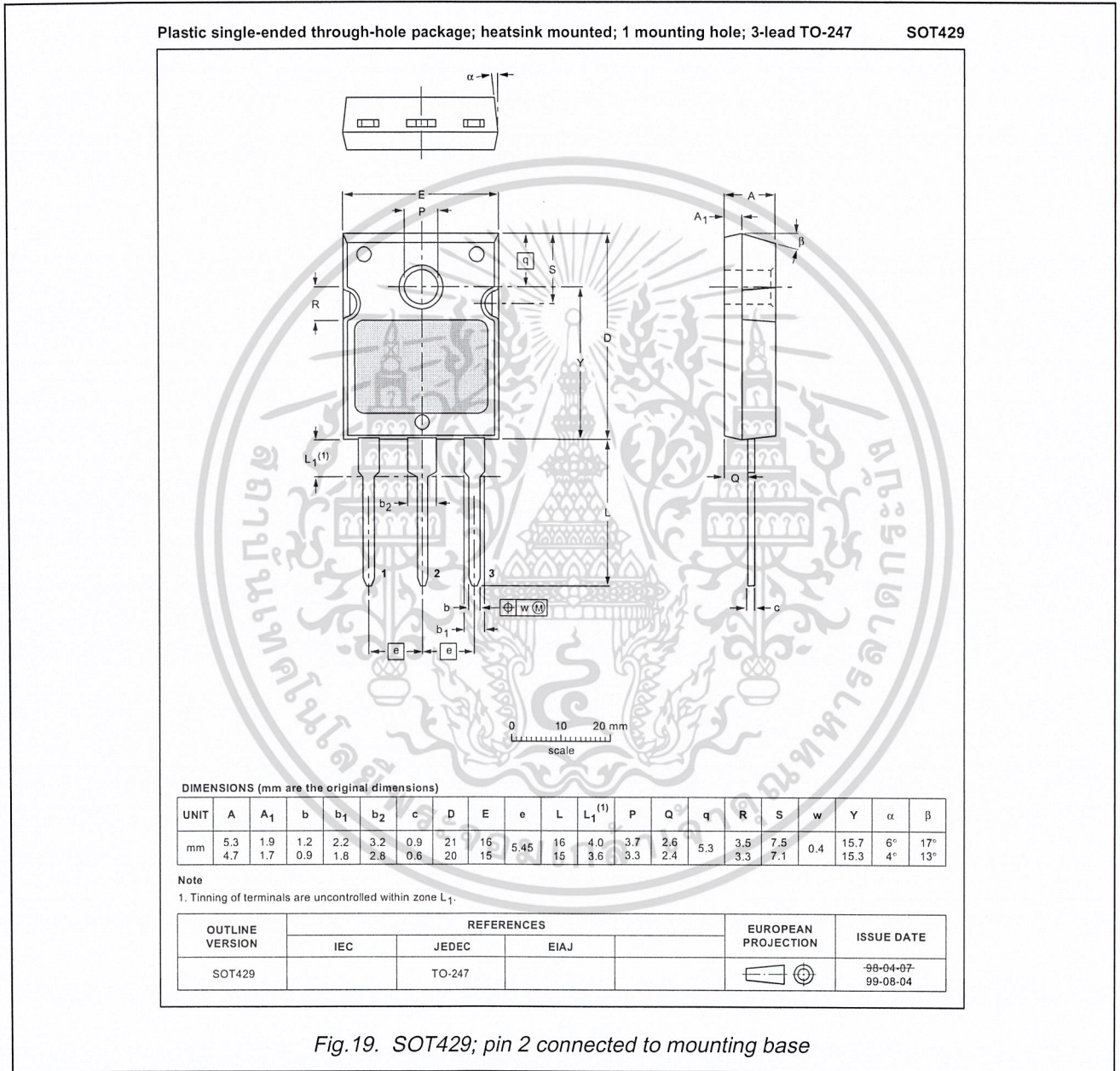


Fig.19. SOT429; pin 2 connected to mounting base

Notes

1. Observe the general handling precautions for electrostatic-discharge sensitive devices (ESDs) to prevent damage to MOS gate oxide.
2. Refer to mounting instructions for SOT429 envelope.
3. Epoxy meets UL94 V0 at 1/8".

PowerMOS transistors Avalanche energy rated

IRFP460

DEFINITIONS

Data sheet status	
Objective specification	This data sheet contains target or goal specifications for product development.
Preliminary specification	This data sheet contains preliminary data; supplementary data may be published later.
Product specification	This data sheet contains final product specifications.
Limiting values	
Limiting values are given in accordance with the Absolute Maximum Rating System (IEC 134). Stress above one or more of the limiting values may cause permanent damage to the device. These are stress ratings only and operation of the device at these or at any other conditions above those given in the Characteristics sections of this specification is not implied. Exposure to limiting values for extended periods may affect device reliability.	
Application information	
Where application information is given, it is advisory and does not form part of the specification.	
© Philips Electronics N.V. 1999	
All rights are reserved. Reproduction in whole or in part is prohibited without the prior written consent of the copyright owner.	
The information presented in this document does not form part of any quotation or contract, it is believed to be accurate and reliable and may be changed without notice. No liability will be accepted by the publisher for any consequence of its use. Publication thereof does not convey nor imply any license under patent or other industrial or intellectual property rights.	

LIFE SUPPORT APPLICATIONS

These products are not designed for use in life support appliances, devices or systems where malfunction of these products can be reasonably expected to result in personal injury. Philips customers using or selling these products for use in such applications do so at their own risk and agree to fully indemnify Philips for any damages resulting from such improper use or sale.

เอกสารนี้เป็นเอกสารที่สงวนไว้สำหรับการใช้งานเพื่อการศึกษาเท่านั้น ไม่อนุญาตให้นำไปใช้ประโยชน์ด้านการค้า